

CUPRINS

1. IDENTIFICAREA SISTEMELOR FOLOSIND PACHETUL DE PROGRAME <i>MATLAB</i> . OBIECTE ȘI PROCEDURI UTILIZATE DE SUBPACHETUL <i>SYSTEM IDENTIFICATION TOOLBOX</i>	5
2. SIMULAREA COMPORTĂRII SISTEMELOR LINIARE DE ORDINUL I ȘI ORDINUL II FOLOSIND PACHETUL DE PROGRAME <i>MATLAB</i>	17
3. ALGORITMI DE TIPUL FFT (<i>FAST FOURIER TRANSFORM</i>). CALCULUL FUNCȚIILOR DE CONVOLUȚIE ȘI COVARIANȚĂ FOLOSIND FFT.....	27
4. INDICATORI STATISTICI AI MĂSURĂRILOR. FUNCȚII <i>MATLAB</i> PENTRU CALCULE STATISTICE.....	35
5. FILTRAREA DATELOR EXPERIMENTALE AFECTATE DE ZGOMOTE.....	45
6. ESTIMATORI M. ESTIMATORI DE PARAMETRI ROBUȘTI.....	56
7. INTERPOLAREA ȘI APROXIMAREA DATELOR.....	63
8. IDENTIFICAREA SISTEMELOR FOLOSIND METODA CELOR MAI MICI PĂTRATE. ALGORITMI DE CALCUL.....	70
9. IDENTIFICAREA EXPERIMENTALĂ A SISTEMELOR DE ORDINUL I ȘI ORDINUL II.....	76
10. METODE DE SUBSPAȚIU ÎN IDENTIFICAREA SISTEMELOR.....	84
11. TEHNICI DE IDENTIFICARE DINAMICĂ A PROCESELOR. NOȚIUNI DE BAZĂ PRIVIND IDENTIFICAREA MODELELOR DINAMICE ALE PROCESELOR.....	89
12. IDENTIFICAREA EXPERIMENTALĂ A UNUI SISTEM ALCĂTUIT DIN DOUĂ VASE ÎN CASCADĂ.....	101
13. IDENTIFICARE DINAMICĂ PENTRU CONDUCEREA UNUI SISTEM DE REGLARE A PRESIUNII.....	111

LUCRAREA 1

IDENTIFICAREA SISTEMELOR FOLOSIND PACHETUL DE PROGRAME *MATLAB*. OBIECTE ȘI PROCEDURI UTILIZATE DE SUBPACHETUL *SYSTEM IDENTIFICATION* *TOOLBOX*

1. OBIECTIVELE LUCRĂRII

Familiarizarea cu facilitățile și procedurile de identificare oferite de subpachetul *System Identification Toolbox* din pachetul de programe **MATLAB**. În etapa acoperită de lucrarea prezentă se explorează obiectele principale din subpachet asociate cu sistemele dinamice în reprezentări variate și procedurile **ar**, **arx**, **armax**.

2. BREVIAR TEORETIC

Procedura de identificare experimentală a unui sistem se realizează în contextul unei lipse totale a informației privitoare la forma modelului matematic, având la dispoziție sistemul a cărei dinamică trebuie modelată. Sistemul este tratat ca „*black box*”, pentru care modelul se va sintetiza din informațiile de tip I/E.

System Identification Toolbox – *SIT* – se referă la problema construirii modelelor matematice ale sistemelor dinamice bazate pe date experimentale. *SIT* este alcătuit dintr-o colecție de tehnici de bază, bine înțelese și verificate în aplicații practice.

Identificarea modelelor folosind datele experimentale presupune decizia factorului uman implicat în căutarea modelelor, ca și prelucrarea acestor date în scopul furnizării bazei acestor decizii. De regulă, trebuie să fie parcurse mai multe bucle, revizuind deciziile anterioare. În acest context, softul interactiv reprezintă modalitatea logică de abordare practică a identificării sistemelor, fiind totodată și un mijloc elegant de a „compacta” noțiunile teoretice extensive, făcându-le accesibile utilizatorului.

MATLAB este un mediu excelent pentru asemenea calcule interactive, date fiind conceptul său de workspace, facilitățile grafice și modul de lucru cu datele. *SIT* este o colecție de fișiere tip *.m* care implementează cele mai uzuale tehnici parametrice/neparametrice disponibile. Este, de asemenea, dedicat pentru utilizator, nu numai din punct de vedere al calculului, ci și al evaluării modelelor. Pentru automatiști, *SIT* este de foarte mare utilitate în problema identificării sistemelor.

SIT se afla în directorul **ident.off** al directorului principal **MATLAB**, fișierul demonstrativ putând fi accesat cu comanda **iddemo**.

O listă completă a funcțiilor pe care subpașchetul de identificare le conține se poate vizualiza, după o prealabilă invocare a platformei **MATLAB**, prin comanda

help toolbox/ident

care are ca efect afișarea listei respective cu numele funcțiilor pe categorii, însoțite de scurte explicații în limba engleză.

Detaliile asupra funcțiilor și funcționării acestor programe se obțin prin comanda *help* urmată de numele programului/funcției, *type*, urmată de numele programului respectiv, sau *dbtype* urmată de numele programului și de o pereche de întregi separații de „:” care indică linia de început și linia de sfârșit a părții din program afișate pe monitor.

2.1. Obiecte din subpașchetul *System Identification Toolbox*

Prima secțiune din lucrare are ca scop familiarizarea cu funcțiile **MATLAB** care creează obiecte asociate cu sisteme dinamice diverse în variatele forme în care acestea se pot prezenta.

Se verifică pe rând și apoi în relația lor logică funcțiile din subpachetul *System Identification Toolbox* și din alte subpachete cu care programele de identificare au legătură.

Funcția *tf* cu două argumente se studiază după cum urmează

```

num=[1 2];           % se inițializează coeficienții numărătorului
funcției de
                    transfer.
den=[1 2 5];        % se inițializează coeficienții numitorului funcției
de
                    transfer.
sis=tf(num,den)     % se generează un obiect de tipul tf care conține
                    informația structurală și parametrică a
sistemului
                    dinamic modelat prin funcția de transfer
afișată.

```

Răspunsul la comanda ultimă (fără caracterul „;” la final) este:

transfer function:

$$\frac{s + 2}{s^2 + 2s + 5}$$

Se poate crea astfel un obiect a cărui structură se poate citi prin comanda *get(sis)*, cu rezultatul în mare parte ușor de interpretat:

```

num = {[0 1 2]}
den  = {[1 2 5]}
Variable = 's'
Ts = 0

Td = 0
InputName = {' '}
OutputName = {' '}

```

```
Notes = {}  
UserData = []
```

Aceasta este convenabilă în lucrul cu sisteme dinamice, cu structuri și parametrizări diverse. De exemplu, prin comanda *save nume fișier sis* se poate depune în memorie în fișierul *nume fișier.mat* informația din *sis* care poate fi oricând recuperată prin comanda *load nume fișier sis*.

În plus, prin apelurile simple la alte funcții, cum sunt *impulse (sis)* sau *step(sis)* se pot obține răspunsurile sistemului la intrările tipice - impulsul unitar și treapta unitară.

Recuperarea „pe bucăți” a informației din obiectul cu numele *sis*, de tipul *tf* se obține prin comenzile $[a,b] = tfdata(sis)$ sau $[a,b] = tfdata(sis, 'v')$ cu rezultatul depunerii în *a* și *b* a numărătorului și numitorului funcției de transfer inclusă în *sis*, în varianta a doua sub forma vectorială explicită.

Modificarea unei părți a unui obiect *tf* se poate face prin intermediul comenzilor de genul *set (sis, 'numeproprietate', valoare)*.

Un obiect din categoria *tf* poate servi ca argument multor altor funcții cum sunt *bode*, *freqest*, *nyquist*, *ltview*, *nichols* etc. și se recomandă încercarea lor și urmărirea efectelor.

Aceeași funcție *tf* poate crea obiecte asemănătoare, dar care se referă la sisteme discrete în timp. Pentru aceasta se include obligatoriu un al treilea argument care reprezintă intervalul de eșantionare:

```
sisd = tf(num,den,0.1);
```

Prin invocarea numelui rezultatului *sisd* se obține conținutul obiectului, adică forma funcției de transfer și intervalul de discretizare. Variabila care apare în scrierea simbolică a funcției de transfer este *z*.

Dacă este vorba de modele continue în timp sau discrete în timp, există posibilitatea ca funcția să fie scrisă în alte variabile cum ar fi *p* pentru reprezentări continue, z^{-1} sau *q* pentru reprezentări discrete.

Un alt gen de obiect de un tip diferit, tipul *ss*, se referă la modelele ecuație-de-stare-ecuație-de-observare. Secvența care urmează duce la crearea unui obiect de acest tip.

```
a = [-2 1;1 -3];
b = [1 1]';
c = [1 0;0 1];
d = [0 0]';
sistem=ss (a,b,c,d);
```

Ultima comandă, fără caracterul suprimat al afișării ”;” expune pe monitor cele patru matrici care intervin în forma modelului

$$\begin{aligned} \frac{dx}{dt} &= Ax(t)+Bu(t) \\ y(t) &= Cx(t)+Du(t) \end{aligned} \quad (1.1)$$

care ia în considerare evoluția stării sistemului în forma continuă sau în forma discretă

$$\begin{aligned} x(t+\Delta t) &= Ax(t)+Bu(t) \\ y(t) &= Cx(t)+Du(t) \end{aligned} \quad (1.2)$$

dacă, din nou, se mai adaugă funcției *ss* încă un argument care este intervalul de eșantionare. Se intelege că în varianta din urmă timpul nu poate fi decât multiplu întreg al intervalului Δt .

Cu un obiect de acest tip, cum este obiectul *sistem*, se pot evalua răspunsurile sistemului la intrări variate, cu aceleași comenzi utilizate și cu obiectul *sis*, de un alt tip, de tipul *tf*.

Matricile se pot recupera pe rând și separat prin comenzi de genul

```
a1 = sistem.a;
```

Foarte populară printre automatiști este descrierea unui sistem prin zerourile, polii și amplificarea/amplificările lui. Pentru aceasta, *System*

Identification Toolbox include o funcție *zpk* destinată creării de obiecte de un tip diferit de cele descrise sumar mai devreme.

Sintaxa acestei funcții este $sys=zpk(z,p,k)$ sau $sys=zpk(z,p,k,t)$ din nou după cum este vorba de reprezentări continue sau discrete în timp.

Dacă sistemul este de tipul *o intrare-o ieșire (SISO- Single Input-Single Output)*, atunci zerourile și polii se introduc ca vectori (vectorul vid \square uneori!), iar amplificarea ca un scalar.

Dacă sistemul este de tip *MIMO (Multiple Inputs-multiple Outputs)*, cu mai multe intrări și mai multe ieșiri, atunci argumentele z și p sunt matrici celulare cu câte o celulă de vectori $z[i, j], p[i, j]$ pentru fiecare intrare (j)-ieșire (i), iar k este o matrice rectangulară care conține amplificările, de asemenea pentru fiecare canal intrare-ieșire.

Exemplu

Comanda

```
sist=zpk {[1];[2 3]}, {-1:[0 -1]},[-5;1]}
```

este pentru crearea obiectului /sistemului *sist* cu o intrare și două ieșiri

$$\begin{bmatrix} -5/(s+1) & \\ [(s-2) (s-3)/s(s+1)] & \end{bmatrix}$$

Deoarece în situații diferite pot fi necesare modele ale sistemelor în forme diferite, există un număr de funcții care permit transformarea modelelor de un anumit tip în modele de un alt tip.

Astfel:

- Cu comenzile *ss2tf* și *tf2ss* cu argumente potrivite se pot converti modelele de tip ecuație-de-stare – ecuație-de-observare în modele de tip funcție de transfer și invers.

- Cu comenzile $zp2tf$ și $tf2zp$ cu argumente potrivite se pot converti modelele de tip poli-zerouri și invers.
- Cu comenzile $ss2zp$ și $zp2ss$ cu argumente potrivite se pot converti modelele de tip ecuație-de-stare – ecuație-de-observare în modele de tip poli-zerouri și invers.
- Comenzile $c2d$ și $d2c$ permit trecerea de la modele/sisteme continue în timp la modele/sisteme discrete în timp.

Desigur, aici nu se pot da toate detaliile referitoare la funcțiile din *System Identification Toolbox*.. Prin comenzile specifice *help* se pot observa și studia mai în amănunt funcțiile invocate. Exemple simple tratate cu funcțiile subpachetului sunt, de asemenea, recomandate.

O altă formă în care se stochează și se manevrează structuri și parametri de modele este *forma/obiectul theta*.

O comandă *help theta* dezvăluie structura acestui obiect care este o matrice. O matrice *theta* conține informații de structură, parametrii (estimați) pe structura dată și acuratețea lor (de asemenea estimată).

Pentru modelele structurilor cu ieșiri multiple și cu evidențierea spațiului stărilor există reprezentarea *thss*, analogă în bună măsură cu modul de reprezentare *theta*.

Comanda *help thss* lămurește proprietățile matricilor *thss* și diferențele dintre cele două reprezentări din aceeași familie. Nu sunt de ignorat elementele de datare calendaristică și orară conținute în aceste reprezentări, utile în identificarea în sens strict a unor rezultate stocate în aceste forme.

Matricile *theta* au în vedere structura de model intrare-ieșire polinomială foarte generală:

$$A(q)y(t) = [B(q) / F(q)] u(t-nk) + [C(q) / D(q)] e(t) \quad (1.3)$$

cu A , B , C , D și F polinoame în operatorul de întârziere q , de ordinul n_a , n_b , n_c , n_d , d_f , respectiv.

Matricile *theta* sunt create de comenzile *poly2th*, *pem*, *iv*, *iv4*, *arx*, *armax*, *oe*, *bj*, *ar*, *ivar*. Ele pot fi transformate în alte reprezentări cu comenzile *trf*, *zp*, *th2poly*, *th2th*, *th2ss* și *th2par*.

Matricile *thss* sunt structuri care definesc în general modele liniare în spațiul stărilor.

Sunt folosite de comenzile/funcțiile *pem*, *th2arx*, *th2par*, *th2ss*, *idsim*, *present*, *thinit*, *fixpar*, *unfixpar*, *th2th*, sunt create prin comenzile *ms2th*, *mf2th*, *arx*, *iv4*, *arx2th* și pot fi modificate prin comenzile *pem*, *thinit*, *fixpar* și *unfixpar*.

Detalierea conținutului matricilor *theta* se poate obține cu ajutorul funcției/comenzii *present*.

Apelul la comanda *help* urmată de un nume din listă clarifică acțiunea fiecărei funcții din cele menționate.

2.2. Proceduri din subpachetul *System Identification Toolbox*

Forma generală a modelelor intrare-ieșire pentru sistemele cu ieșire unică este

$$A(q)y(t) = \sum_{i=1}^n \frac{B_i(q)}{F_i(q)} u_i(t - n_k) + \frac{C(q)}{D(q)} e(t) \quad (1.4)$$

cu u_i intrarea numărului i din cele n_u intrări, cu y ieșirea, cu A , B_i , C , D și F_i polinoame în operatorul de deplasare q^{-1} (sau z^{-1}).

Structura generală este definită prin întârzierile n_{ki} și prin ordinele polinoamelor implicate care coincid cu numărul de poli și de zerouri ale modelului dinamic de la intrări la ieșire și ale modelului perturbațiilor de la e la y .

Câteva cazuri speciale, particulare, ale modelului de mai sus sunt următoarele:

$$\text{ARX:} \quad A(q)y(t) = B(q) u(t - n_k) + e(t)$$

$$\text{ARMAX:} \quad A(q)y(t) = B(q) u(t - n_k) + C(q) e(t)$$

$$OE: \quad y(t) = \frac{B(q)}{F(q)} u(t-n_k) + e(t) \quad (1.5)$$

$$BJ: \quad y(t) = \frac{B(q)}{F(q)} u(t-n_k) + \frac{C(q)}{D(q)} e(t) \quad (\text{Box-Jenkins})$$

Procedura **arx** este utilizată pentru identificarea sistemelor de tip ARX. Calculele se fac pe baza unor date (y,u) observate experimental.

Secvența care urmează execută un exemplu de identificare pe date „experimentale” generate prin simularea unui sistem dinamic de formă cunoscută.

```
clear
sisc=tf {[1 -1],[1 2 5]} % se creează un sistem continuu în timp
step (sisc) % se reprezintă grafic răspunsul la treaptă
unitară
sisd=c2d (sisc,0.01) % se convertește sistemul la timp discret
hold on % pe același grafică
step (sisd) % se reprezintă răspunsul la treaptă unitară
[y,t]= step (sisd); % se evaluează răspunsul la treaptă unitară
u1=sign ( randn (size (t) ) ); % se creează o intrare binar- aleatoare
[y1,t]=lsim (sisd, u1, t); % se evaluează răspunsul prin simulare
z=[y1 u1]; % se creează matricea cu coloanele y1,u1
thd=arx (z, [2 2 1]) % se aplică procedura de identificare pe z,
pe structura cunoscută [na,nb,nk]=[2 2 1]
e=pe(z,thd); % se calculează erorile de reprezentare
figure % pe un grafic nou
h2=gcf; % cu handler-ul h2
set(h2,'Position',[150 90 560 420]); % după poziționarea graficului
plot(t,e) % se reprezintă erorile de modelare
y1=y1+0.0001*randn(size(t)); % se alterează ieșirile observate
z1=[y1 u1]; % se creează noua matrice z sub numele de
z1
thd1=arx(z1,[2 2 1]) % se aplică din nou procedura de identificare
e1=pe(z1,thd1); % se calculează erorile de reprezentare
title ('Erori de modelare')
ylabel ('Date curate')
xlabel ('Timp (s) ')
subplot(2,1,2)
```

```

plot(t,e1)           % se reprezintă erorile de modelare
ylabel ('Date cu erori')
xlabel ('Timp (s) ')

```

Procedura **armax** este utilizată pentru identificarea sistemelor de tipul **ARMAX**. O simplă înlocuire în secvența de mai sus a apelului la funcția **arx** prin apelul la funcția **armax**, înlocuire însoțită de modificarea argumentului relativ la structură, $[2 \ 2 \ 0 \ 1]$ în loc de $[2 \ 2 \ 1]$, face secvența utilizabilă pentru ilustrarea identificării unui sistem **ARMAX**.

Procedura **oe** este utilizată pentru identificarea sistemelor modelate prin relații de tipul **OE**. Și de data aceasta, o simplă înlocuire în secvența de mai sus a apelului la funcția **arx** prin apelul la funcția **oe** face secvența utilizabilă identificării unui sistem **OE**. Deși semnificația componentelor vectorului de structură se modifică, acesta poate rămâne neschimbat: $[2 \ 2 \ 1]$.

Pentru modele de tipul **BJ** (*Box-Jenkins*) este utilizată procedura **bj**. Și de această dată, în secvența de mai sus a apelului la funcția **arx** prin apelul la funcția **bj** face secvența utilizabilă pentru ilustrarea identificării unui sistem **BJ**. Vectorul de structură se modifică din $[2 \ 2 \ 1]$ în $[2 \ 0 \ 0 \ 2 \ 1]$.

Invocarea comenzii **help** urmată de numele funcției particulare utilizate lămurește semnificația vectorului de structură pentru fiecare caz în parte.

În secvența **MATLAB** de mai sus apare și funcția/comanda **pe**. Această comandă, în varianta de apelare

$$e = pe(z, th);$$

produce diferențele (erorile) dintre datele experimentale **z** și modelul **th** dat în forma **theta**. O invocare cu o lista mai completă de restituiri

$$[e, v, w, a, b, c, d, f] = pe(z, th)$$

generează nu numai erorile de modelare ci și alte informații asupra modelului. În a , b , c , d și f sunt depuse polinoamele care apar în forma generală a modelului, iar în ceilalți doi vectori cantitățile

$$w = (b/f) u \text{ și}$$

$$v = a [y - w].$$

O comandă/ funcție care poate face tot ce pot face funcțiile referite mai devreme este funcția *pem*, cu următoarele posibilitati de apelare:

th=pem (z, thstruc);
th=pem (z, thstruc, index);

și cu alte posibilități sondabile prin comanda *help pem*. În aproape toate cazurile, *thstruc* este o matrice cu structura modelului și cu o parametrizare, fie ea și provizorie, în genul celor generate de funcția *poly2th*. Se poate însă apela funcția *pem* și cu *thstrc* în formă vectorială, simplă

[na nb nc nd nf nk].

Forma de apelare fără *index* face operația de identificare cu inițializarea liberă sau inspirată de parametrii din matricea *thstruc*, dacă aceasta este completă.

Forma cu argumentul *index* face aceeași operație, dar numai pentru parametrii din linia specificată prin acel *index*. Se înțelege că, în acest din urmă caz, matricea *thstruc* trebuie să fie completă.

În ambele cazuri, introducerea unui ultim argument de tip șir cu valoarea *'trace'* produce afișarea pe monitor a etapelor calculului de estimare.

3. MODUL DE LUCRU

- Dacă nu este deja creat, se creează un director/folder de lucru.
- Se activează platforma **MATLAB** și se introduce comanda

Cd (calea spre directorul/folderul de lucru)

- Se apelează funcțiile care creează sisteme cu obiecte de toate tipurile, continue sau discrete în timp. Se memorează sistemele și apoi se recuperează, după o comandă intermediară *clear* (care eliberează memoria din spațiul **MATLAB** de lucru curent). Se verifică conținutul spațiului de lucru curent cu comenzile *who* și/sau *whos*.
- Din imaginație sau din lucrările anterioare se creează modele de tipuri variate ale unor sisteme dinamice. Se aplică sistemelor intrarea *impulse* sau intrarea *step*, prin comenzile adecvate descrise sumar mai sus, și se urmăresc răspunsurile sistemelor.
- Se explorează conversiile posibile între diferite forme de modele și între diferite forme sintetice de stocare a caracteristicilor lor.
- Se extrag caracteristicile numerice ale răspunsurilor - lista de valori ale ieșirilor și vectorul momentelor la care răspunsurile sunt observate.
- Se creează un *script* după modelul dat în secțiunea **Breviar teoretic**. Scriptul va fi executat repetat cu schimbările semnalate în acea secțiune.
- Se explorează identificarea în condiții de zgomot variate. Exemplul dat introduce un zgomot cu abaterea medie pătratică de **0,0001**, coeficientul numeric din linia

$$y1=y1+0.0001*randn(size(t));$$

- Se modifică structura propusă și se repetă operația de estimare de parametri.
- Din imaginație sau din lucrări anterioare se creează sisteme dinamice și modele de structuri diverse. Se introduc în *script* și se face succesiv identificarea lor.
- Se supun observării critice în identificare și legătura lor cu structurile alternative propuse și cu acuratețea datelor.

LUCRAREA 2

SIMULAREA COMPORTĂRII SISTEMELOR LINIARE DE ORDINUL I ȘI ORDINUL II FOLOSIND PACHETUL DE PROGRAME *MATLAB*

1. OBIECTIVELE LUCRĂRII

Studiul comportării sistemelor liniare de ordinul I și ordinul II la intrări uzuale (treaptă, rampă, sinusoidă, aleatoare).

2. BREVIAR TEORETIC

Funcția de transfer a sistemului de ordinul I simulat este:

$$H(s) = \frac{k}{Ts + 1}, \quad (2.1)$$

iar funcția de transfer a sistemului de ordinul II :

$$H(s) = \frac{k\omega_n^2(\tau s + 1)}{s^2 + 2\zeta\omega_n s + \omega_n^2} \quad (2.2)$$

cu notațiile uzuale: k pentru factorul de amplificare, ω_n pentru pulsația naturală, ζ pentru factorul de amortizare . Cazul $\tau=0$ este deplin reprezentativ, dar și cazurile cu gradul în s al numărătorului egal cu unitatea sunt de luat în considerare.

Pentru a realiza o simulare cât mai sugestivă a unui sistem este necesar a fi precizate câteva elemente cum sunt:

- Orizontul de timp pe care se realizează simularea;
- Numărul de puncte în care se cere a fi evaluat răspunsul sistemului;
- Intervalul de timp între două momente succesive, care coincide uzual cu un interval de eșantionare.

Toate aceste elemente depind de particularitățile sistemului (tip, constantele sistemului) precum și de tipul semnalului aplicat la intrarea sistemului.

Sistem de ordinul I

O alegere posibilă a constantelor este $k=2$, $T=5$ s .

Secvența MATLAB

```
num=2;           % introducerea numărătorului
den=[5 1];      % și a numitorului funcției H(s)
step(num,den);  % simularea și reprezentarea grafică a
                răspunsului
```

corespunde cazului în care programul **MATLAB** alege automat, după reguli proprii, elementele de timp. Pentru a putea aduce la vedere aceste elemente ultima instrucțiune se execută sub forma:

```
[y,x,t]=step(num,den); % alegerea elementelor temporale și
                        simularea.
```

In continuare

```
plot(t,y);      % reprezentarea grafică a răspunsului
length(t);     % afișarea lungimii vectorului t
t(2)-t(1);     % afișarea intervalului dintre două evaluări
t(length(t));  % afișarea orizontului de timp
```

Forma obișnuită a vectorului momentelor t este $t=0:p:t_{max}$, cu p distanța dintre două puncte succesive și cu t_{max} orizontul de timp pe care se face simularea .

Se deduce ușor că numărul de elemente ale vectorului t este de $(t_{max}/p)+1$. Timpul pe care se observă simularea pentru un sistem de ordinul I se ia de obicei de apx. patru ori coeficientul T din expresia funcției de transfer, pentru a cuprinde și o zonă din regimul aproape staționar.

Iată o secvență **MATLAB** cu alegerea interactivă a vectorului temporal:

```
t=0:0.5:25;      % inițializarea vectorului t
y=step(num,den,t); % calcule de simulare
plot(t,y);      % reprezentarea grafică a răspunsului
```

Intrarea sistemului poate fi și de alte tipuri diferite de forma treaptă. În toate aceste cazuri se utilizează funcția **MATLAB** *lsim*.

Următoarea secvență simulează sistemul și răspunsul lui la un semnal rampă:

```
t=0:0.5:25;      % inițializarea vectorului t
u=t;             % realizarea semnalului rampă
y=lsim(num,den,u,t); % calcule de simulare
plot(t,[y u']); % reprezentarea grafică a intrării și a
răspunsului
```

Dacă intrarea este sinusoidală, este necesar a se alege pasul de eșantionare mai mic de un sfert din perioada sinusoidii.

Secvența următoare de instrucțiuni simulează răspunsul sistemului de ordinul I la intrarea sinusoidală.

```
a=1;           % amplitudinea sinusoidii
per=3;         % perioada semnalului sinusoidal
w=2*pi/per;   % pulsația (frecvența unghiulară)
t=0:per/16:5*per; % inițializarea vectorului temporal

u=a*sin(w*t); % evaluarea eșantioanelor intrării
y=lsim(num,den,u,t); % calculul de simulare
plot(t,[y u']); % reprezentarea grafică a intrării și a
răspunsului
```

Răspunsul tinde la o sinusoidă după ce depășește regimul tranzitoriu.

Pentru o intrare aleatoare, secvența **MATLAB** corespunzătoare este prezentată în continuare:


```

dt=1;           % intervalul de eșantionare
tm=25;         % orizontul de timp pe care se face simularea
t=0:dt:tm;     % vectorul temporal
for i=1:length(t)
    u(i)=-1+rand(1); % realizarea intrării aleatoare
end;
y=lsim(num,den,u,t); % calculul de simulare
plot(t,[y u']);     % reprezentarea grafică a intrării și
răspunsului

```

Sistem de ordinul II

Se propune mai întâi scrierea funcțiilor **MATLAB** pentru sistemele de ordinul II următoare:

```

function zvar(k,wn,nrz)
% zvar(k,wn,nrz)
% Calculează răspunsul la intrarea treaptă unitară al unei familii
% de sisteme de ordinul II cu amplificarea k și pulsația naturală wn,
% la un factor de amortizare variabil între 0 și 1, nrz>1 este numărul
% de valori pentru factorul zeta sau numărul graficelor-răspuns
obținute
% Exemplu de apelare a funcției: zvar(1,1,10)
num=k*wn^2;
den=[1 0 wn^2]; % valoarea din den(2) se completează mai
tarziu
tmax=20/wn;     % se stabilește durata simulării
t=0:0.1:tmax;
z=zeros(length(t),nrz); %matricea pentru răspuns
if nrz>1
    dz=1/(nrz-1); % increment pentru zeta
    zeta=-dz;     % se inițializează zeta
    for i=1:nrz
        zeta=zeta+dz;
        x(i)=zeta;
        den(2)=2*zeta*wn;
        z(:,i)=step(num,den,t);
    end
    mesh(t,x,z')
    xlabel('Timp')

```

```

ylabel('Factor de amortizare','Position',[-1,0.3,0])
zlabel('Iesire')
title('Raspunsul la intrare treapta unitara pentru factor de
amortizare variabil')
end

```

```

function zfix(k,wn,zeta)
% zfix(k,wn,zeta)
% Calculează răspunsul la intrare treapta unitară al unui sistem
% de ordinul II cu amplificarea k, pulsația naturală wn, și factorul
% de amortizare zeta cu reprezentare grafică
% Exemplu de apelare a funcției: zfix(1,1,0.2)
num=k*wn^2;           % coeficienți numărător
den=[1 2*zeta*wn wn^2]; % coeficienți numitor
tmax=20/wn;          % se stabilește durata simulării
t=0:0.1:tmax;        % vectorul timp al eșantionărilor
z=step(num,den,t);    % matricea pentru răspuns
plot(t,z)
xlabel('Timp')
ylabel('Iesire')
sir=num2str(zeta);
sir=strcat('Raspunsul la intrare treapta unitara pentru factorul de
amortizare zeta =',sir);
title('Sir')
hold on
y=[1 1];
x(1)=t(1);
x(2)=tmax;
grid
plot(x,y)
hold off

```

```

function isin(k,wn,zeta)
% isin(k,wn,zeta)
% Calculează răspunsul la intrări sinusoidale al sistemului de ordin
II
% cu amplitudinea k, pulsația naturală wn, și factorul de amortizare
zeta
% cu reprezentarea grafică și corelarea cu diagrama Bode

```

```

% Exemplu de apelare a funcției: isin(1,1,0.4)
wi=[0.5 1.0 1.5]; % factori de modificare a frecvenței la intrare
dt=0.1/wn;
tmax=500*dt;
t= 0:dt:tmax;
num=k*wn^2;
den=[1 2*zeta*wn^2];
clf
for i=1:3
    u=sin(wi(i)*wn*t);
    y(:,i)=lsim(num,den,u,t);
end
figure(1)
for i=1:3
    subplot(3,1,i)
    plot(t,y(:,i))
    axis([0,tmax,-5,5])
    grid on
    if i==3
        xlabel('Timp')
    end
    sir=num2str(wi(i));
    sir=strcat('Iesire la w=',sir,'*wn');
    ylabel(sir)
end
figure(2)
w=logspace(log10(wn)-1,log10(wn)+1);
m=bode(num,den,w);
clf
loglog(w,m)
grid on
xlabel('Pulsatia w')
ylabel('Amplificare')
title('Diagrama Bode')
set(gcf,'Position',[140 100 560 420])

```

Reprezentările grafice obținute ca urmare a rulării secvențelor de program exemplificate mai sus sunt prezentate în figura 2.1 și în figura 2.2.

3. MODUL DE LUCRU

- Se activează platforma **MATLAB** și se introduc succesiv secvențele de program menționate mai devreme.

Cerințe pentru sistemele de ordinul I

- Pentru cazul aplicării semnalului de tip treaptă se modifică lungimea vectorului t de la 20 la cca. 100 puncte, se modifică orizontul de timp menținând numărul de puncte la 101 puncte; se încearcă evaluarea coeficienților k și T pe grafic; se modifică cele două valori și se observă stabilitatea sistemului.
- În fiecare caz se examinează aspectele legate de reprezentarea grafică.
- Pentru intrarea treaptă se încearcă identificarea prin metoda indicială, se fac aprecieri asupra preciziei.
- Pentru intrarea sinusoidală se studiază regimul tranzitoriu și tendința spre regimul staționar.
- Se recomandă studiul atent al funcției de generare a numerelor aleatoare *rand* și al comportării sistemului în cazul utilizării unei intrări aleatoare.

Cerințe pentru sistemele de ordinul II

- Prin apelarea funcției *zvar* se obține o reprezentare în trei dimensiuni pe care se poate observa influența factorului de amortizare asupra formei răspunsului la un salt treaptă unitar, al unui sistem de ordinul II cu poli complex conjugați. Valorile factorului de amortizare sunt în acest caz subunitare și pozitive;
- Prin apelarea repetată a funcției *zfix*, se obțin grafice ale răspunsului unui sistem de ordinul II pentru valori fixe ale factorului de amortizare chiar supraunitare sau negative;
- În fiecare caz se examinează aspectele legate de reprezentarea grafică, aspectele privitoare la stabilitatea sistemului;
- Pe graficele pentru valori fixate ale factorului de amortizare se încearcă identificarea prin metoda indicială, se fac aprecieri asupra preciziei evaluărilor;

- Apelarea funcției *isin* permite observarea comportării unui sistem de ordinul II dacă la intrare se aplică o sinusoidă de amplitudine maximă unitară. Se pot face comparații cu diagrama Bode;
- Se recomandă realizarea unui grafic cu toate răspunsurile pe aceeași diagramă pentru facilitarea comparării amplitudinilor la ieșire în zona staționară (regimul permanent);
- Se fac comparații cu diagrama Bode;
- În vederea altor aplicații, se vor studia funcțiile din biblioteca **MATLAB** utilizate în secvențele de program din lucrare (*grid*, *logspace*, *clf*, *loglog*, *plot* etc.).

Fig.2.1. Reprezentări grafice pentru sistemele de ordinul I

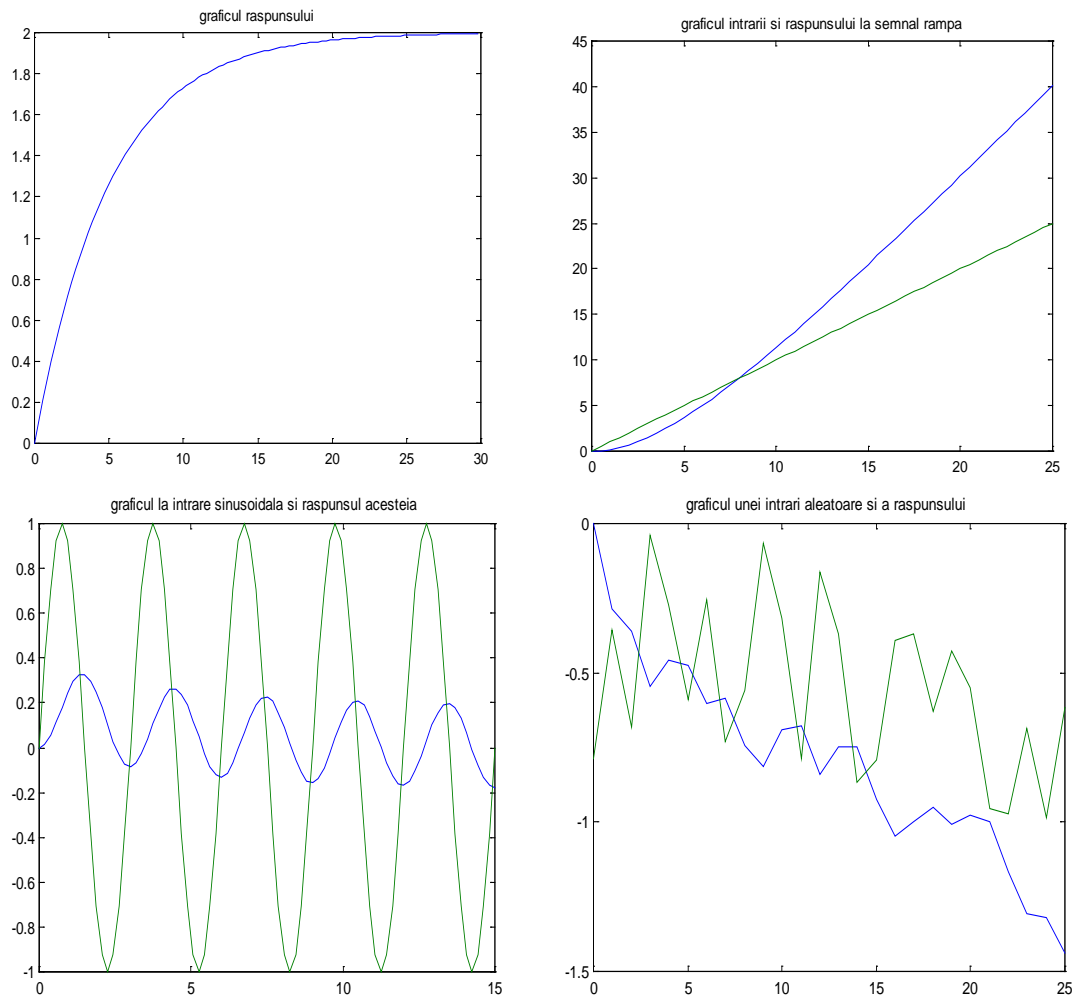
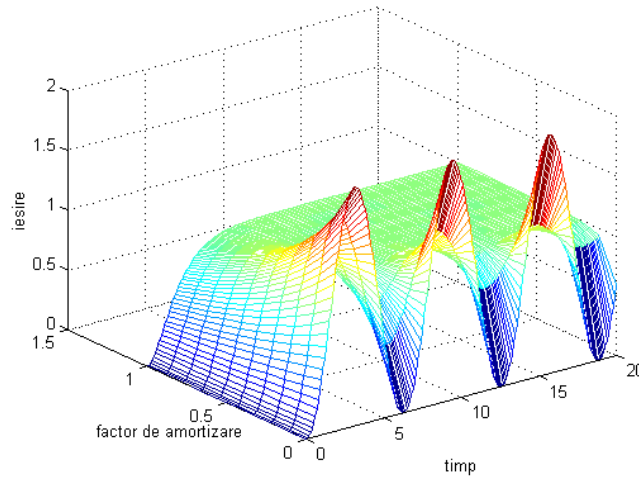
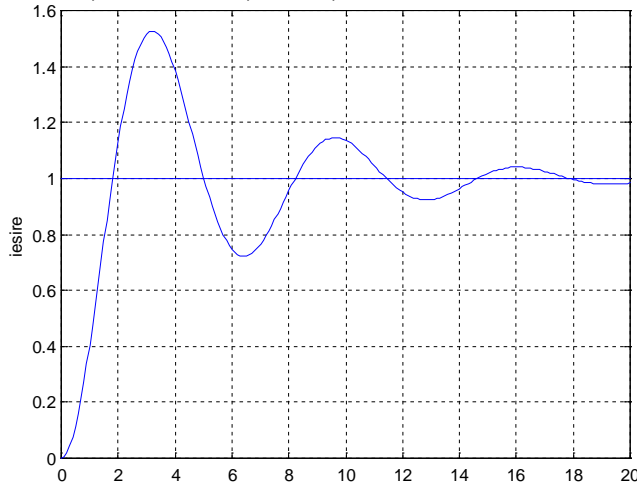


Fig.2.2. Renrezentări grafice nentru sistemele de ordinul II

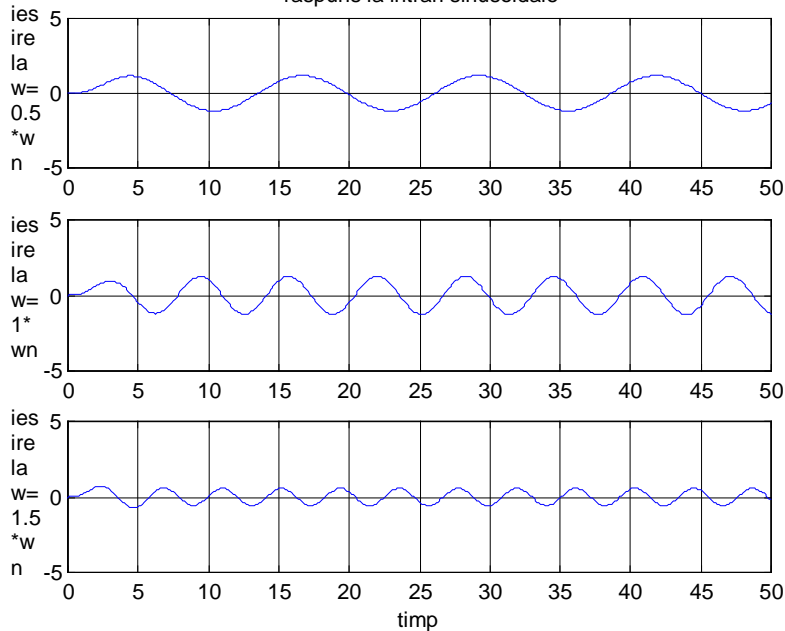
raspsunul la intrare treapta unitara pentru factor de amortizare variabil

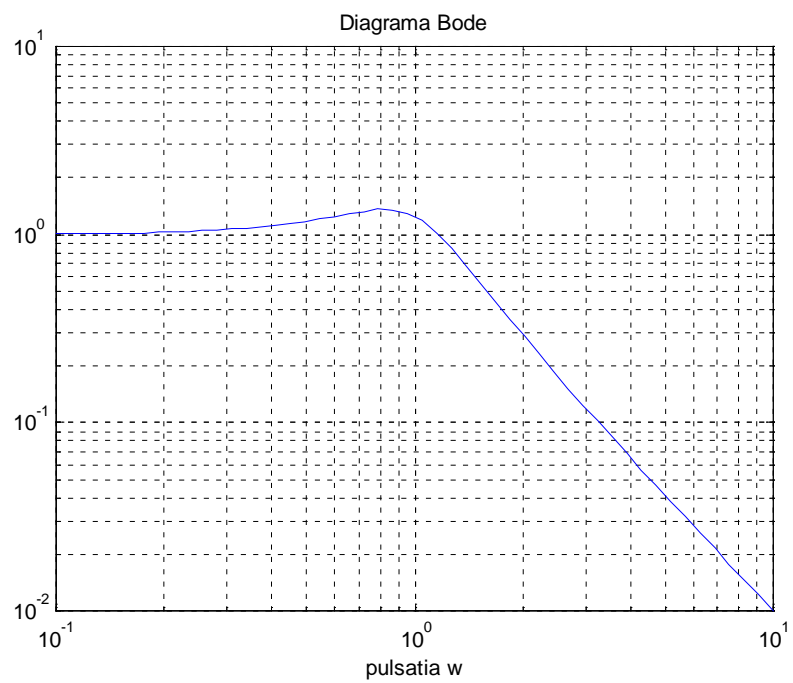


raspsunul la intrare treapta unitara pentru factorul de amortizare zeta=0.2



raspsun la intrari sinusoidale





LUCRAREA 3

ALGORITMI DE TIPUL FFT

(*FAST FOURIER TRANSFORM*).

CALCULUL FUNCȚIILOR DE CONVOLUȚIE ȘI COVARIANȚĂ FOLOSIND FFT

1. OBIECTIVELE LUCRĂRII

Studiul transformatei Fourier folosind algoritmul FFT implementat cu pachetul de programe **MATLAB**. Calculul funcțiilor de convoluție și covarianța folosind FFT.

2. BREVIAR TEORETIC

2.1. Algoritmul FFT

Este esențial, pentru început, să fie subliniat faptul că algoritmul **FFT** pentru calculul transformatei Fourier discrete a unei secvențe este "punctul nodal" al procesării semnalelor digitale. El este aplicat în filtrare, convoluție, calculul răspunsului la frecvență, ca și în aplicații referitoare la estimarea spectrului de putere.

$fft(x)$ este transformata Fourier discretă a vectorului x , calculată cu o transformată Fourier rapidă. Dacă X este o matrice, $fft(X)$ este transformata Fourier rapidă a fiecărei coloane a lui X .

$fft(x,n)$ este transformata Fourier rapidă în n puncte. Dacă lungimea lui x este mai mică decât n , x este completat cu zerouri până la lungimea lui n . Dacă lungimea lui x este mai mare decât n , secvența x este trunchiată. Când X este matrice, lungimea coloanelor este ajustată în același fel.

$ifft(x)$ este transformata Fourier inversă a vectorului x .

Cele două funcții care urmează implementează perechea transformata Fourier – transformata Fourier inversă dată:

$$\begin{aligned} X(k+1) &= \sum_{n=0}^{N-1} x(n+1)W_N^{kn} \\ X(n+1) &= \frac{1}{N} \sum_{k=0}^{N-1} X(k+1)W_N^{-kn}, \end{aligned} \quad (3.1)$$

unde $W_N = e^{-j(2\pi/n)}$ și $N = \text{lungime}(x)$

Exemplu

FFT a unui vector coloană x , de forma

$$x = [4 \ 3 \ 7 \ -9 \ 1 \ 0 \ 0 \ 0]$$

se găsește cu

$$y = \text{fft}(x)$$

și dă drept rezultat

$$\begin{aligned} y &= 6.0000 \\ &11.4853 \quad -2.7574i \\ &-2.0000 \quad -12.0000i \end{aligned}$$

$$h = \frac{\text{fft}(b, h)}{\text{fft}(a, n)} \quad (3.2)$$

2.2. Funcții de convoluție și de corelație

Există o colecție de funcții disponibile pentru convoluție, deconvoluție și pentru calculul estimărilor funcțiilor de corelație, și anume:

- conv** – funcții de convoluție
- deconv** – funcții de deconvoluție
- xcorr** – funcții de transcorelare
- xcov** – funcții de transcovarianță
- corrcoef** – coeficienți de corelație
- cov** – matrice de covarianță

2.2.1. Convoluție și deconvoluție

Propoziția

$$c = \text{conv}(a, b)$$

face convoluția vectorilor a și b.

Suma de convoluție este

$$c(n+1) = \sum_{k=0}^{N-1} a(k+1)b(n-k) \quad (3.3)$$

unde N este lungimea secvenței maxime.

Operația

$$[q, r] = \text{deconv}(b, a)$$

face deconvoluția vectorului a din vectorul b. Rezultatul este întors în vectorul q și restul în vectorul r, astfel încât $b = \text{conv}(q, a) + r$

Dacă a, b sunt vectori cu coeficienți polinomiali, convoluția este echivalentă cu multiplicarea celor două polinoame, iar deconvoluția este o împărțire polinomială.

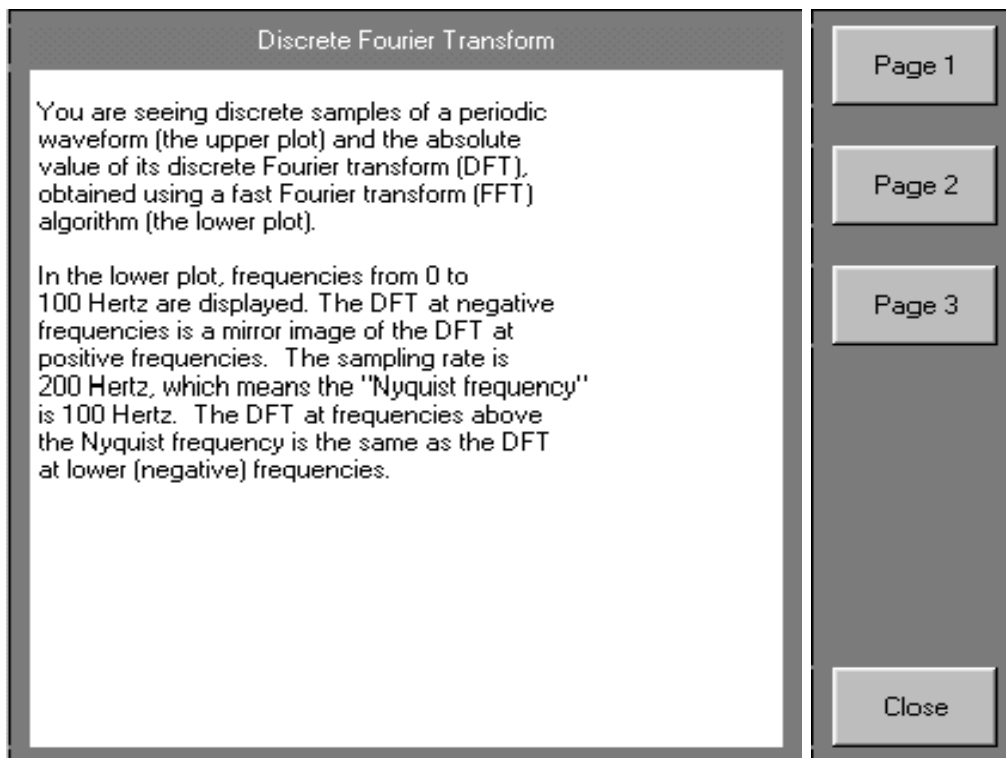
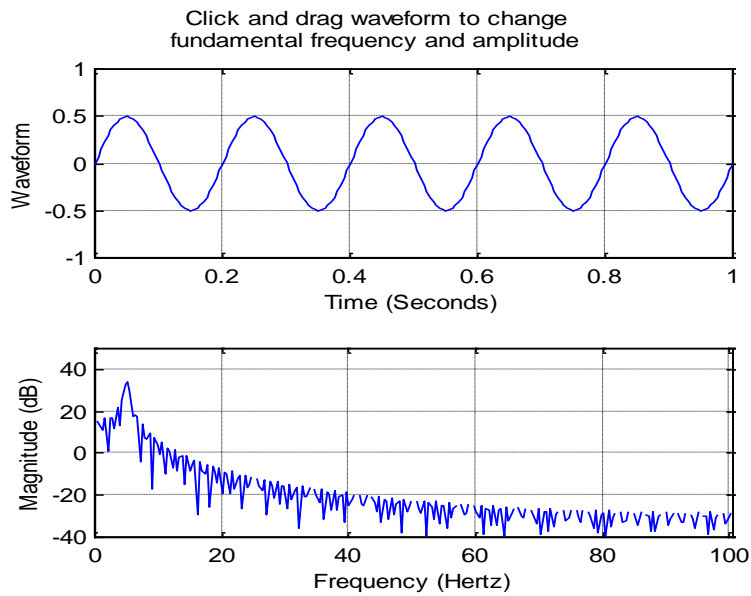


Fig. 3.1. Fereastra de prezentare în MATLAB a transformatei Fourier discretă



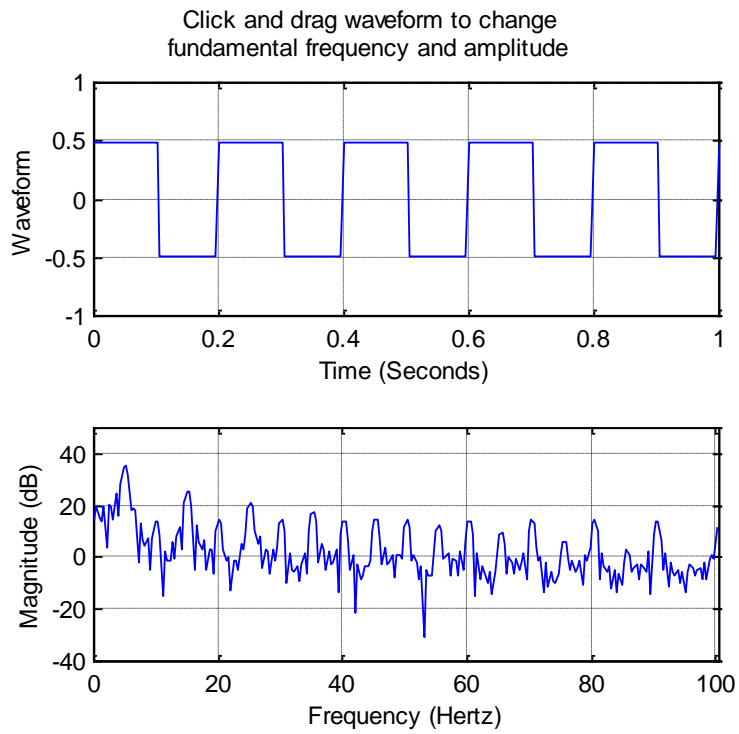
Signal
sine

Window
rectangle

Fundamental
5

Info

Close



Signal
square

Window
rectangle

Fundamental
5

Info

Close

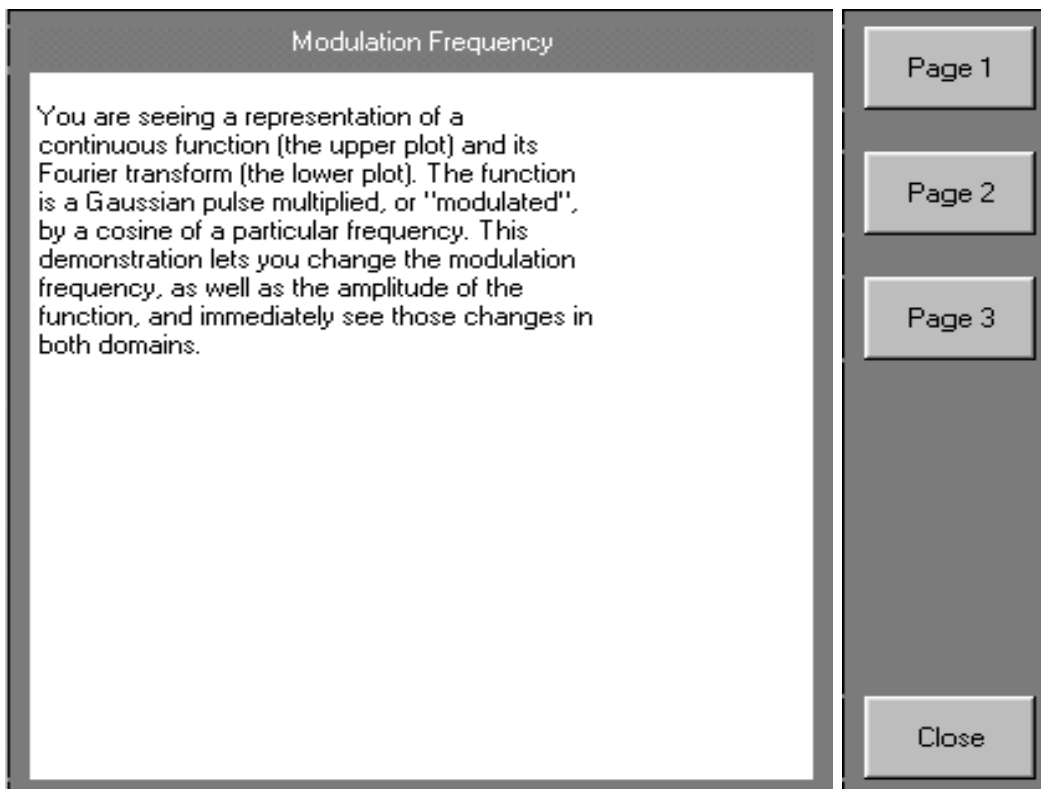
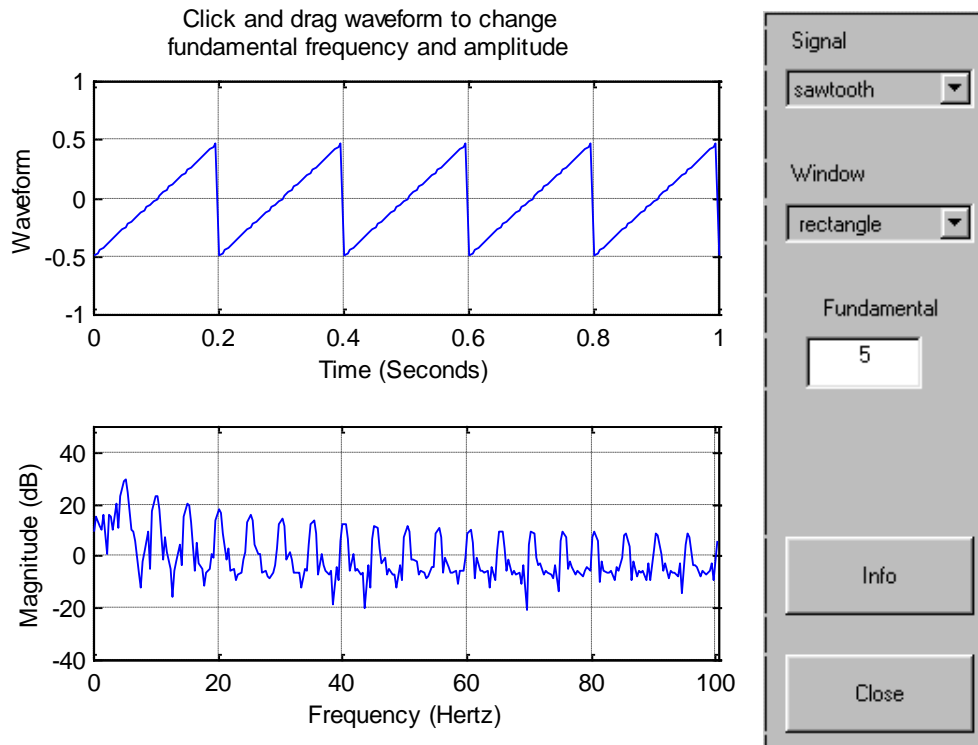
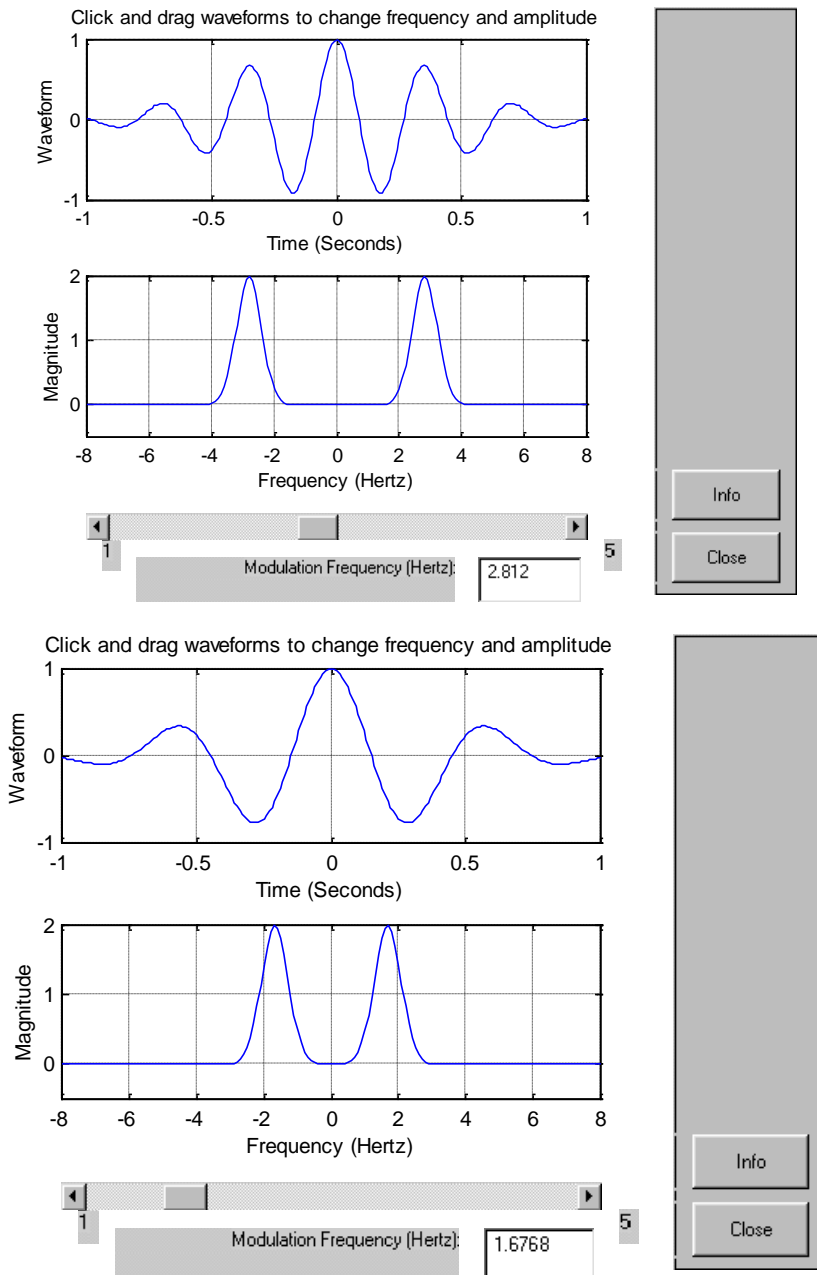


Fig.3.2. Fereastra de prezentare in MATLAB a transformatei Fourier continue



3. MODUL DE LUCRU. PROBLEME PROPUSE

- Calculul FFT a vectorului coloană $v = [9 \ 8 \ 12 \ -4 \ 6 \ 5 \ 5 \ 5]$.
 $fprintf('Transformata Fourier a vectorului:')$
 $v=[9 \ 8 \ 12 \ -4 \ 6 \ 5 \ 5 \ 5]$
 $fprintf('este :')$
 $tfv=fft(v)$

- Calculul FFT a matricei $A=[1\ 2\ 3, 4\ 5\ 6, 7\ 8\ 9]$,

```
fprintf('Transformata Fourier a matricei:')
a=[1 2 3 ; 4 5 6 ;7 8 9]
fprintf('este :')
tfa=fft(a)
```

- Calculul FFT inversă a matricei $B=[6\ 7\ 8\ 9, 4\ 5\ 6\ 8, 1\ 1\ 2\ 3, 4\ 7\ 6\ 7]$.

```
fprintf('Transformata Fourier inversa a matricei:')
b=[6 7 8 9 ;4 5 6 8 ;1 1 2 3 ;4 7 6 7]
fprintf('este :')
itfb=ifft(b)
```

- Cu setul de date obținut dintr-un cosinus eșantionat cu 10 pași pe perioadă: $y=\cos(2\pi k/10)$, interpolați datele cu un pas dublu și verificați valorile obținute.

*Se interpolează datele cu o singură variabilă utilizând metoda FFT (Fast Fourier Transform) cu ajutorul funcției **interpft**.*

- Considerând funcțiile $x=5+6t$, $y=6t$ și $z=5\sin(t)$, se cere calculul coeficienților de corelație R_{xy} și R_{xz} , pentru domeniul $t \in [0,5]$.

```
t=0:1:5;
x=5+6*t;
y=6*t;
z=5*sin(t);
plot(t,x,t,y,t,z);
rxy=corrcoeff(x,y)
rxz=corrcoeff(x,z)
```

- Cu funcțiile de la punctul precedent, dar cu t de forma

$$t=3w^2+3\cos(2\pi w/3),$$

calculați coeficienții de corelație R_{xy} și R_{xz} , pentru $w \in [0,25]$.

- Ce concluzii trageți în urma efectuării punctelor de mai sus unde ați folosit funcția *corrcoef* ?

Ce dependență există între x și y , dar între x și z ? Justificați răspunsul.

- Pentru matricile de la punctele de mai sus, să se afle matricea de covarianță.

*Indicație : se va folosi funcția **cov**.*

- Considerând $A = [5 \ 6 \ 2 \ 1]$ și $B = [4 \ 3 \ 2 \ 1]$ doi vectori care conțin coeficienții a două polinoame să se facă convoluția și deconvoluția acestora.

*Indicație : se va folosi funcțiile **conv** și **deconv**.*

- Folosind funcțiile de transcorelare și de transcovarianță, (**xcorr** și respectiv **xcov**), cu un set de date ales arbitrar, să se interpreteze rezultatele obținute.

LUCRAREA 4

INDICATORI STATISTICI AI MĂSURĂRILOR. FUNCȚII MATLAB PENTRU CALCULE STATISTICE

1. OBIECTIVELE LUCRĂRII

Studiul funcțiilor **MATLAB** pentru calcule statistice. Aplicații.

2. BREVIAR TEORETIC

Funcțiile uzuale **MATLAB** folosite pentru calcule statistice sunt următoarele:

1) *cumsum(x,dim)* – calculează suma cumulată a elementelor vectorului x de dimensiune dim .

Pentru o matrice rezultatul este tot o matrice cu dimensiunile lui x și conține suma cumulată pentru fiecare coloană.

Exemplu

Pentru $X=[1\ 2\ 3; 1\ 2\ 3]$,

cumsum(X,1);

are ca rezultat matricea $[1\ 2\ 3; 2\ 4\ 6]$

iar *cumsum(X,2);*

are ca rezultat vectorul $[1\ 3\ 6; 1\ 3\ 6]$;

2) *cumprod(x,dim)* – calculează produsul cumulat al elementelor vectorului x . Pentru x matrice rezultatul este tot o matrice cu dimensiunile lui x și conține produsul cumulat al fiecărei coloane.

Exemplu

cumprod(x,1)

are ca rezultat matricea [1 2 3; 1 4 9]

cumprod(x,2)

are ca rezultat matricea [1 2 6; 1 2 6].

3) *corrcoef(x)* – calculează o matrice pentru coeficienți de corelație pentru un vector x , în care fiecare linie a matricei este o observație, iar fiecare linie este o variabilă.

corrcoef(x,y), unde x și y sunt vectori coloană este același lucru cu a scrie *corrcoef([x,y])*.

Coeficienții de corelație ai datelor se folosesc pentru a stabili dacă între două seturi de date înregistrate în 2 vectori diferiți există o dependență liniară.

Exemplu

$x=[1\ 2\ 3; 2\ 7\ 5; 3\ 5\ 8]$

$a=[1\ 2\ 3; 4\ 5\ 6; 7\ 8\ 9];$

$r=corrcoef(x)$

are ca rezultat

$r=$

1.0000 0.5960 0.9934

0.5960 1.0000 0.5000

0.9934 0.5000 1.0000

iar

$r=corrcoef(a,x)$

are ca rezultat

$$r = \begin{bmatrix} 1.0000 & 0.7614 \\ 0.7614 & 1.0000 \end{bmatrix}$$

4) **cov(x)** – dacă x este un vector funcția întoarce varianța acestuia. Dacă x este o matrice cu liniile observații și coloanele variabile aceasta funcție va returna o matrice de covarianță

Exemplu

cov(x) pentru matricea de mai sus va returna

$$\begin{bmatrix} 1.0000 & 1.5000 & 2.5000 \\ 1.5000 & 6.3333 & 3.1667 \\ 2.5000 & 3.1667 & 6.3333 \end{bmatrix}$$

5) **diff(x)** – diferența dintre numerele succesive.

Pentru un vector cu elementele $x_1 \dots x_n$ diferența este tot un vector calculat astfel $[x_2 - x_1 \dots x_n - x_{n-1}]$, iar pentru o matrice se face diferența dintre liniile succesive.

Exemplu

$$\begin{aligned} a &= [2 \quad 4 \quad 3 \quad 5 \quad 1 \quad 7]; \\ \text{diff}(a) &= [2 \quad -1 \quad 2 \quad -4 \quad 6] \\ x &= [1 \ 2 \ 3; 2 \ 7 \ 5; 3 \ 5 \ 8]; \\ \text{diff}(x) &= [1 \quad 5 \quad 2; 1 \quad -2 \quad 3] \end{aligned}$$

6) **n=hist(y)** – împarte elementele lui y în 10 intervale egale și returnează numărul de elemente din fiecare interval. Dacă y este o matrice **hist** va lucra în josul coloanelor.

Hist() – fără argumente produce o histogramă, conform exemplurilor prezentate în figura 4.1 și figura 4.2.

Exemplul 1

Secvența de program

$$\begin{aligned} a &= [2 \quad 4 \quad 3 \quad 5 \quad 1 \quad 7] \\ \text{hist}(a) \end{aligned}$$

produce reprezentarea grafică din figura 4.1.

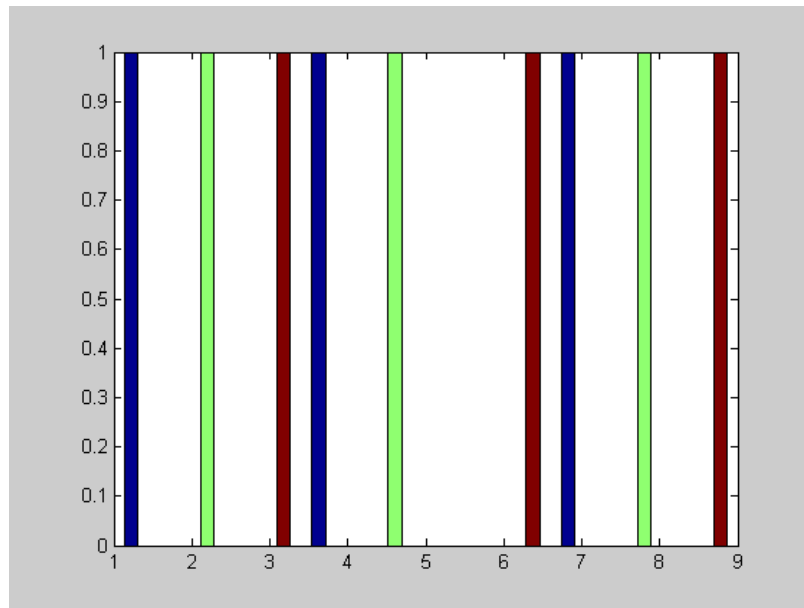


Fig.4.1. Histograma corespunzătoare exemplului 1

Exemplul2

Secvența de program

```
x=[1 2 3; 2 7 5; 3 5 8];
```

```
hist(x).
```

produce histograma din figura 4.2.

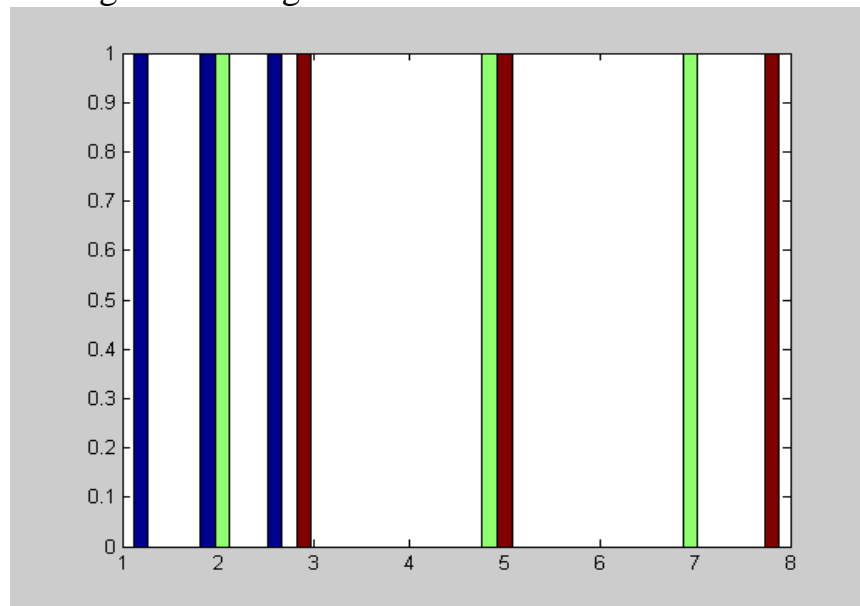


Fig.4.2. Histograma corespunzătoare exemplului 2

7) **max(x)**, **min(x)** – returnează valoare maximă, respectiv minimă a componentelor vectorului x.

Dacă x este matrice returnează într-un vector maximul/minimul de pe fiecare coloană.

Exemplu

$$a = [2 \quad 4 \quad 3 \quad 5 \quad 1 \quad 7];$$

$$\min(a) = 1$$

$$x = [1 \ 2 \ 3; 2 \ 7 \ 5; 3 \ 5 \ 8];$$

$$\max(x) = [3 \ 7 \ 8]$$

8) **mean(x)** – returnează valoarea medie a unui set de date dintr-un vector x. Dacă datele sunt elementele unei matrice, valoarea medie este conținută de un vector care are elementele valorile medii ale fiecărei coloane.

Exemplu

$$a = [2 \quad 4 \quad 3 \quad 5 \quad 1 \quad 7];$$

$$x = [1 \ 2 \ 3; 2 \ 7 \ 5; 3 \ 5 \ 8];$$

$$\text{mean}(a) = 3,667$$

$$\text{mean}(x) = [2.0000 \quad 4.6667 \quad 5.3333]$$

9) **prod(x)** – calculează produsul elementelor unui vector, iar pentru o matrice rezultatul este un vector care are ca elementele produsul de pe fiecare coloană a matricei.

Exemplu

$$a = [2 \quad 4 \quad 3 \quad 5 \quad 1 \quad 7];$$

$$x = [1 \ 2 \ 3; 2 \ 7 \ 5; 3 \ 5 \ 8];$$

$$\text{prod}(a) = 840$$

$$\text{prod}(x) = [6 \quad 70 \quad 120]$$

10) **sort(x)** – sortează elementele unui vector sau matrice în ordine crescătoare (la matrice sortarea se face pe fiecare coloană)

Exemplu

$$a = [2 \quad 4 \quad 3 \quad 5 \quad 1 \quad 7];$$

$$x = [1 \ 2 \ 3; 2 \ 7 \ 5; 3 \ 5 \ 8];$$

$$\begin{aligned} \text{sort}(a) &= [1 \quad 2 \quad 3 \quad 4 \quad 5 \quad 7] \\ \text{sort}(x) &= [1 \quad 2 \quad 3; 2 \quad 5 \quad 5; 3 \quad 7 \quad 8] \end{aligned}$$

11) *std(x)* – calculează abaterea standard.

Exemplu

$$\begin{aligned} a &= [2 \quad 4 \quad 3 \quad 5 \quad 1 \quad 7]; \\ x &= [1 \quad 2 \quad 3; 2 \quad 7 \quad 5; 3 \quad 5 \quad 8]; \\ \text{std}(a) &= 2.1602 \\ \text{std}(x) &= [1.0000 \quad 2.5166 \quad 2.5166] \end{aligned}$$

12) *sum(x)* – calculează suma elementelor unui vector, iar pentru o matrice se obține un vector cu elemente ce au valoarea egală cu suma de pe fiecare coloană.

Exemplu

$$\begin{aligned} a &= [2 \quad 4 \quad 3 \quad 5 \quad 1 \quad 7]; \\ x &= [1 \quad 2 \quad 3; 2 \quad 7 \quad 5; 3 \quad 5 \quad 8]; \\ \text{sum}(a) &= 22 \\ \text{sum}(x) &= [6 \quad 14 \quad 16] \end{aligned}$$

13) *trapz(x)* – calculează integrala folosind metoda trapezelor luând în considerare și spațiile.

Exemplu

$$\begin{aligned} a &= [2 \quad 4 \quad 3 \quad 5 \quad 1 \quad 7]; \\ x &= [1 \quad 2 \quad 3; 2 \quad 7 \quad 5; 3 \quad 5 \quad 8]; \\ \text{trapz}(a) &= 17,5 \\ \text{trapz}(x) &= [4 \quad 10,5 \quad 10,5] \end{aligned}$$

14) *table1(tab,x0)* – returnează un tabel cu interpolările liniare ale liniilor din tabelul *tab*.

Exemplu

$$\begin{aligned} a &= [2 \quad 4 \quad 3; 5 \quad 1 \quad 7]; \\ r &= \text{table1}(a,3) = [3 \quad 4,333] \end{aligned}$$

15) *y=interpft(x,n)* – returnează vectorul *y* cu lungimea *n* obținut prin interpolarea lui *x* prin metoda transformatei Fourier.

Dacă x este o matrice interpolarea se face pe fiecare coloană.

Exemplu

```
a = [2 4 3; 5 1 7];
y = interpft(a,2) = [2 4 3
                    5 1 7]
```

16) polyfit(x,y,n) – aproximează un set de date cu un polinom $P(x)$ de gradul n .

Exemplu

```
a = [2 4 3; 5 1 7];
b = [1 4 2; 1 5 7];
polyfit(a,b,3)
ans = [-0.0109 0.5471 -3.3582 7.192]
```

17) griddata(x,y,z,xi,yi) – interpolează prin metoda distanței inverse valoarea unei funcții de două variabile x, y .

3. MODUL DE LUCRU

3.1. Probleme rezolvate

1. Fie doi vectori $x = [-2 -1 0 2 4]$; $y = [-15 -3 2 3 10]$; Să se aplice o procedura de regresie liniară celor doi vectori și să se reprezinte grafic rezultatul obținut.

Rezolvare

```
x = [-2 -1 0 2 4];
y = [-15 -3 2 3 10];
coef = polyfit(x,y,1);
xn = -2:1:4;
y1 = polyval(coef,xn)
plot(xn,y1,'r');
coef = 3.4828 -2.6897
y1 = -9.6552 -6.1724 -2.6897 0.7931 4.2759 7.7586
      11.2414
```

Reprezentarea grafică a dreptei obținute în urma aplicării procedurii de regresie liniară este cea din figura 4.3.

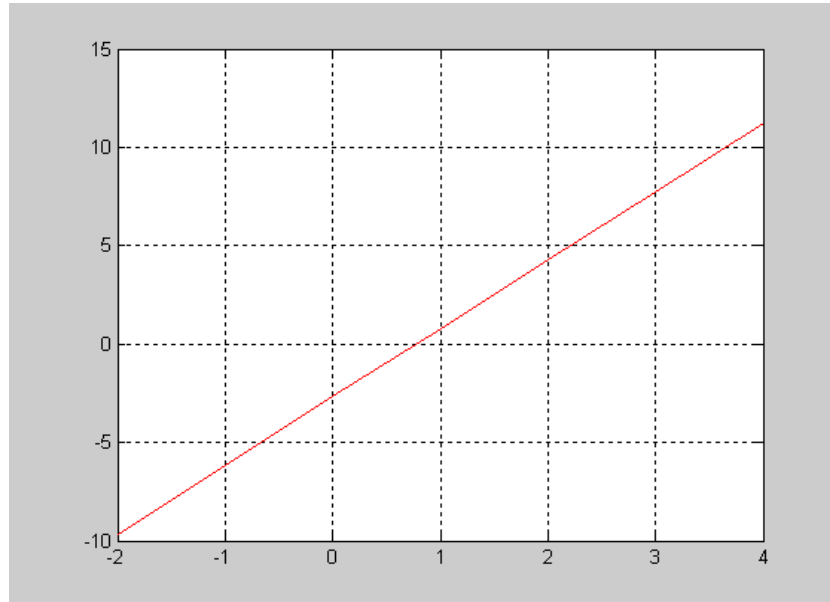


Fig.4.3. Regresie liniară

2. Pentru un servomotor cu poziționar s-au obținut datele experimentale din tabelul următor:

P[bar]	0.2	0.3	0.4	0.5	0.6	0.7	0.8	0.9	1
H[mm]	0	5	12	16	21	27	32	32	32

Să se traseze caracteristica statică a servomotorului cu poziționar .

Rezolvare

```

p=[0.2 0.3 0.4 0.5 0.6 0.7 0.8 0.9 1];
h1=[0 5 12 16 21 27 32 32 32];
table1(p,0.2);
plot(p,h1);
grid on;
ylabel('H[mm]');
xlabel('presiunea [bar]');
title('CARACTERISTICA STATICA A SERVOMOTORULUI
CU POZITIONER');

```

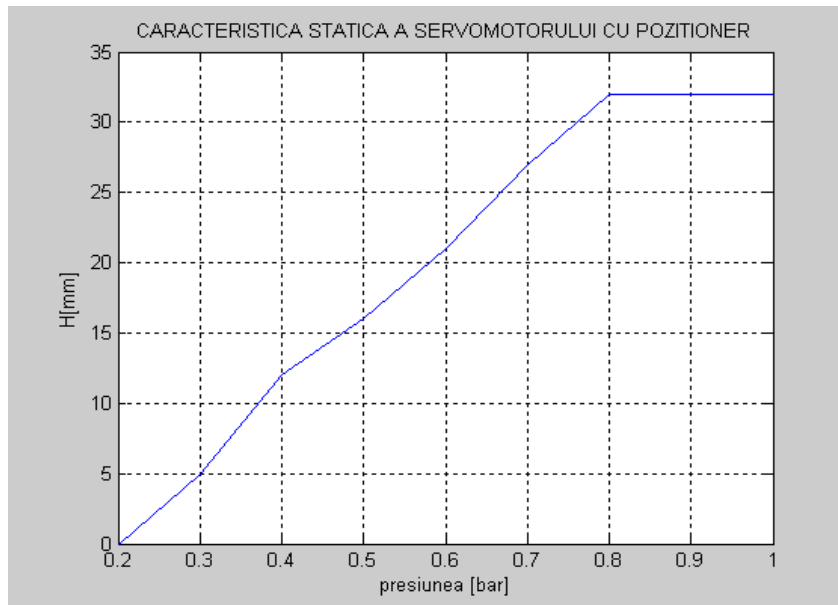


Fig.4.4. Caracteristica statică a servomotorului cu poziționar

3.2. Probleme propuse

1. Să se determine minimul și maximul vectorului V și matricei M , unde :

$$V=[1 \ 3 \ -9 \ 0]$$

$$M=[1 \ 2 \ 3; -4 \ 0 \ 9; 13 \ 7 \ -10]$$

2 Să se sorteze matricele A și B de forma:

$$A=[1 \ -2 \ 3; 5 \ -9 \ 0; -10 \ 3 \ 0]$$

$$B=[7 \ 2 \ -5 \ 4 \ -1; 5 \ 8 \ 1 \ -6 \ -4; 2 \ 0 \ -3 \ 6 \ 9]$$

3. Să se realizeze prin interpolare graficul unei funcții știind că acesta conține punctele $A(1,1)$, $B(2,3)$, $C(2.5,5)$, $D(4,6)$, $E(6,10)$.

4. Fie vectorii

$$x=[-2 \ -1 \ 0 \ 2 \ 4]; y=[-15 \ -3 \ 2 \ 3 \ 10].$$

Să se aplice o procedură de regresie liniară celor doi vectori.

5. Fie matricea A, de forma

$$A = [1 \ 3 \ 2 \ 5; 3 \ 5 \ 7 \ 6; 2 \ 8 \ 5 \ 9; 4 \ 2 \ 1 \ 1].$$

Să se calculeze:

- suma cumulată;
- produsul cumulat;
- produsul și suma elementelor;
- să se sorteze mai întâi după linii și apoi după coloane.

Să se reprezinte grafic histograma corespunzătoare.

LUCRAREA 5

FILTRAREA DATELOR EXPERIMENTALE AFECTATE DE ZGOMOTE

1. OBIECTIVELE LUCRĂRII

Studiul posibilităților de diminuare a zgomotelor care însoțesc datele experimentale recoltate în scopul identificării unui sistem.

2. BREVIAR TEORETIC

Datele experimentale sunt însoțite de cele mai multe ori de zgomote. Figurile 5.1. și 5.2. ilustrează răspunsul normalizat al unui sistem liniar de ordinul I la intrare treaptă unitară neafectat, respectiv afectat de prezența zgomotului.

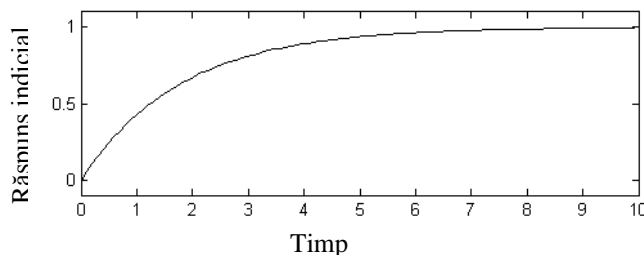


Fig. 5.1. Răspunsul normalizat al unui sistem de ordinul I la intrare treaptă unitară, neafectat de zgomote.

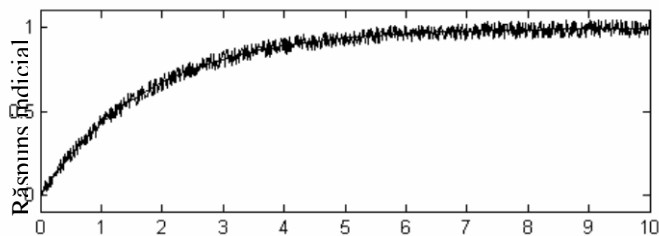


Fig. 5.2. Răspunsul normalizat al unui sistem de ordinul I la intrare treaptă unitară, afectat de zgomote.

Pentru identificarea sistemului prin metoda indicială este necesară evaluarea derivatei într-un moment oarecare, în particular în origine, și apoi intersectarea dreptei tangente la curbă cu dreapta $y=1$. Diferența absciselor punctului în care se evaluează derivata și a celui de intersecție a tangentei cu orizontala regimului staționar este exact constanta de timp τ a sistemului. Evaluări ale derivatelor și a funcției răspuns se cer și pentru alte sisteme de ordine variate. Dacă evaluările pot fi acceptate în cazul datelor puțin (sau deloc) afectate de zgomot, pentru situațiile când zgomotul devine important, evaluările pe calea clasică, în esență o cale grafică, sunt imposibile.

O metodă de a netezi curbele experimentale de genul celor prezentate anterior este filtrarea printr-un filtru *trece-jos*. Este vizibil faptul că fenomenul tranzitoriu este relativ lent, așadar este reprezentat de frecvențele joase ale spectrului, în timp ce fluctuațiile datorate zgomotului sunt fenomene considerabil mai rapide, legate prin urmare de frecvențe mai ridicate din spectru. Pentru semnale analogice se pot utiliza filtre *trece-jos* analogice. Un simplu divizor *RC* cu ieșirea pe capacitate, de exemplu, este un filtru *trece-jos*, fără calități deosebite, dar este un filtru care atenuează cu precădere frecvențele înalte.

Datele recoltate uzual sunt date numerice de tip eșantioane prelevate cu o anumită regularitate ale unor funcții definite pe intervale de timp dense pe axa reală a timpului. Există o varietate de filtre numerice de tipul *trece-jos* care pot fi utilizate pentru diminuarea zgomotului.

Filtrele numerice cele mai simple sunt *filtrele de mediere*. Ieșirea unui astfel de filtru se prezintă ca media aritmetică a unui număr de eșantioane succesive

$$y(t) = \frac{1}{n} \sum_{i=1}^n x(t-i+1) \quad (5.1)$$

Graficele care urmează ilustrează efectul filtrării prin medierea a trei sau a cinci valori consecutive.

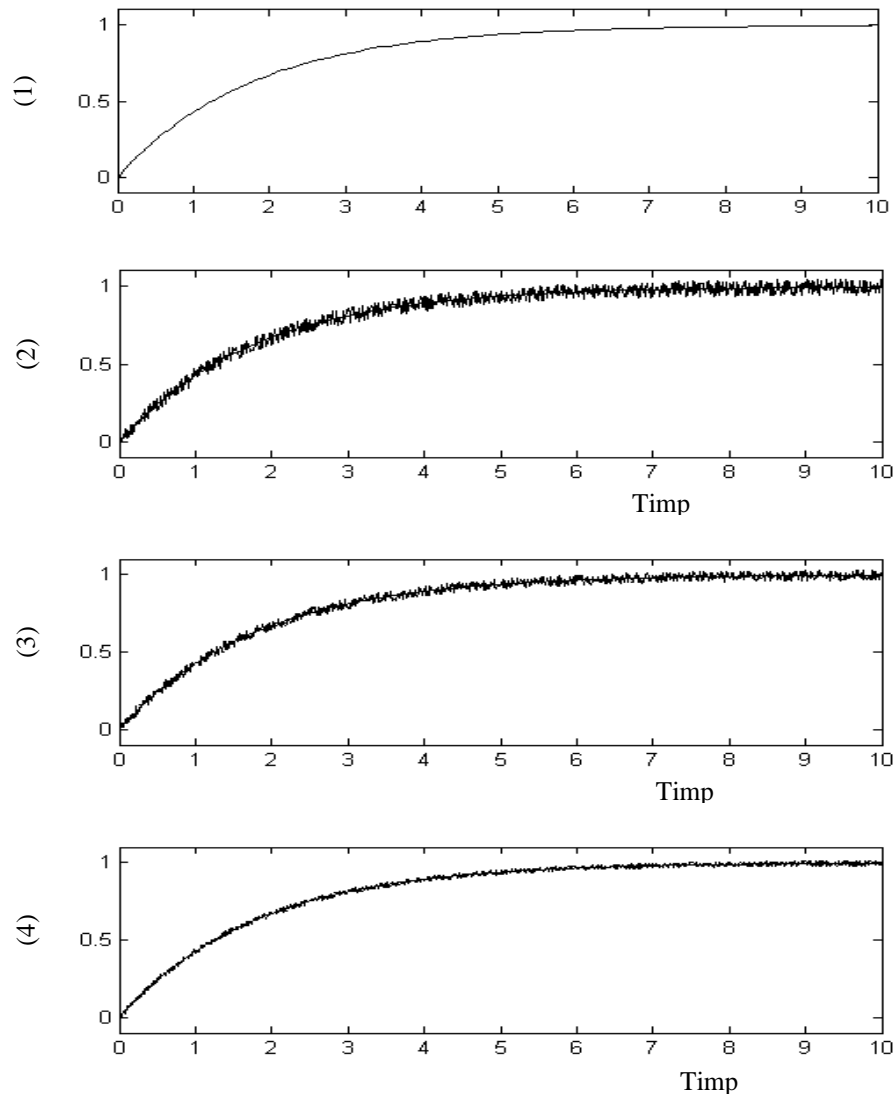


Fig.5. 3. Efectul filtrării prin medierea valorilor consecutive

Se observă evoluția calitativă a datelor pe măsură ce numărul de eșantioane mediate crește: trei pentru figura (3), cinci pentru figura (4). Datele brute, nefiltrate sunt reprezentate în figura (2). Se reia pentru ilustrare și graficul (1) cu răspunsul neafectat de zgomot.

Graficele au fost generate cu secvența **MATLAB** următoare:

% Programul realizează filtrarea unui semnal afectat de zgomot
%Sintaxa de apelare este Filtrare(k,a,m)
%k-coeficientul din functia de transfer
%a-timpul de intarziere al sistemului
%m-numarul de date luate in fiecare medie facuta

Function Filtrare(k,a,m)

```
sis=tf(k,[a,1]);
[y,t]=step(sis);
hold on;
z=rand(size(y));
y1=y+(z-5)*.05;
pause;
plot(t,y1);
for j=1:109-m;
    s=0;
    for I=j:j+m;
        s=s+y1(I);
    end
    y2(j)=1/(m+1)*s;
end
hold off;
pause;
plot(t,y2,'g');
pause;
```

Filtrarea prin mediere nu este singura modalitate de a obține din date afectate de zgomot, date mai puțin marcate de fluctuațiile statistice. Un efect de filtrare *trece-jos* are și *interpolarea răspunsului din eșantioanele sale prin mijlocirea funcției sinc*

$$\text{sinc}(x) = \begin{cases} 1 & x = 0 \\ \frac{\sin(\pi x)}{\pi x} & x \neq 0 \end{cases} \quad (5.2)$$

combinată cu o fereastră finită.

Se cunoaște faptul că un semnal de bandă limitată se poate reconstitui pe baza relației:

$$s(t) = \sum_{n=-\infty}^{+\infty} s\left(\frac{n}{2W}\right) \frac{\sin 2\pi W\left(t - \frac{n}{2W}\right)}{2\pi W\left(t - \frac{n}{2W}\right)} \quad (5.3)$$

dacă frecvența eșantioanelor este cel puțin egală cu dublul frecvenței celei mai mari din spectrul de frecvențe al semnalului. Relația de mai sus, cunoscută și sub numele de *teorema eșantionării*, care conține amintita funcție *sinc*, este nepractică din cauza sumei infinite pe care o conține. Se recurge, de aceea, la un număr finit de eșantioane ceea ce se poate interpreta ca “privirea” eșantioanelor printr-o *fereastră rectangulară*, descrisă de relația

$$w(t) = \begin{cases} 1, & t \in \left(-\frac{\alpha}{2}, \frac{\alpha}{2}\right) \\ 0, & \text{în rest} \end{cases} \quad (5.4)$$

și care este de lărgime finită α , definită în jurul originii dar centrată succesiv pe momente de timp variate, momente în care se urmărește a fi (re)evaluat semnalul $s(t)$ din eșantioanele sale. Relația de interpolare se modifică după cum urmează

$$s(t) = \sum_{n=-\infty}^{+\infty} s\left(\frac{n}{2W}\right) w\left(t - \frac{n}{2W}\right) \frac{\sin 2\pi W\left(t - \frac{n}{2W}\right)}{2\pi W\left(t - \frac{n}{2W}\right)} \quad (5.5)$$

și cu toate că valorile extreme ale indicelui după care se face însumarea au fost menținute aceleași, infinite, însumarea se face de fapt pe un număr finit de eșantioane, cele cuprinse în fereastră. Formula de interpolare cu fereastră dată mai sus se utilizează și pentru semnale de bandă nelimitate (semnalul observat la ieșirea unui sistem când la intrarea lui se aplică o variație treaptă este de această natură) cu pierderi de componente din partea superioară a spectrului. De aici utilul și așteptatul efect de filtrare/diminuare a zgomotelor însoțitoare ale unui semnal.

Utilizarea ferestrei rectangulare este în toate privințele echivalentă cu filtrarea prin mediere dacă eșantioanele sunt ponderate astfel ca suma ponderilor să fie egală cu unitatea. Stabilirea acestor ponderi se face simplu prin normalizarea eșantioanelor unui semnal cuprinse în fereastră.

Fereastră rectangulară nu este singurul tip de fereastră utilizat în calcule de filtrare. Există posibilitatea de a alege între mai multe tipuri de ferestre și de a selecta o deschidere anume pentru fereastră reținută pentru calcule. Sunt date imediat câteva ferestre dintre cele mai utilizate.

Fereastră **Bartlett**

$$Bartlett(x, \tau) = \begin{cases} 1 - \frac{|x|}{\tau} & \text{pentru } |x| < \tau \\ 0 & \text{în rest} \end{cases} \quad (5.6)$$

Fereastră **Blackmann**

$$Blackmann(x, \tau) = \begin{cases} 0.42 + 0.50 \cdot \cos\left(\pi \frac{x}{\tau}\right) + 0.08 \cdot \cos\left(2\pi \frac{x}{\tau}\right) & |x| < \tau \\ 0 & \text{în rest} \end{cases} \quad (5.7)$$

Fereastră **Gauss**

$$Gauss(x, \tau, \sigma) = \begin{cases} 2^{-\left(\frac{x}{\sigma}\right)^2} & |x| < \tau \\ 0 & \text{în rest} \end{cases} \quad (5.8)$$

Ferestrele **Hann** și **Hamming**, foarte asemănătoare, diferite numai prin parametrul α ($\alpha=0.5$, respectiv $\alpha=0.54$)

$$H(x, \tau, \alpha) = \begin{cases} \alpha + (1-\alpha) \cos\left(\pi \frac{x}{\tau}\right) & |x| < \tau \\ 0 & \text{în rest} \end{cases} \quad (5.9)$$

Fereastră **Kaiser** cu parametrul ajustabil α care controlează cât de rapid se apropie de zero laturile ferestrei

$$Kaiser(x, \tau, \alpha) = \begin{cases} \frac{I_0(\alpha \sqrt{1 - (x/\tau)^2})}{I_0(\alpha)} & |x| < \tau \\ 0 & \text{în rest} \end{cases} \quad (5.10)$$

cu $I_0(x)$ funcția Bessel modificată de ordinul zero.

Fereastra **Lanczos**, lobul central al funcției *sinc* extinsă la un interval dat

$$Kaiser(x, \tau, \alpha) = \begin{cases} \frac{\sin\left(\pi \frac{x}{\tau}\right)}{\pi \frac{x}{\tau}} & |x| < \tau \\ 0 & \text{în rest} \end{cases} \quad (5.11)$$

Fereastra **Parzen**, o aproximare cubică pe porțiuni a ferestrei Gauss de întindere doi.

$$Parzen(x, \tau, \alpha) = \begin{cases} (2+x)^3 & -1 \leq x \leq 0 \\ 4-6x^2-3x^3 & 0 \leq x \leq 1 \\ 4-6x^2+3x^3 & 0 \leq x \leq 1 \\ (2-x)^3 & 1 \leq x \leq 2 \\ 0 & \text{în rest} \end{cases} \quad (5.12)$$

Fereastra **Welch**, descrisă de relația (5.13)

$$Welch(x, \tau, \sigma) = \begin{cases} 1 - \left(\frac{x}{\tau}\right)^2 & \text{pentru } |x| < \tau \\ 0 & \text{în rest} \end{cases} \quad (5.13)$$

În figura 5.4. este reprezentat grafic un semnal sinusoidal, iar în figurile 5.5. și 5.6, același semnal sinusoidal filtrat utilizând, respectiv, ferestrele Bartlett și Kaiser.

Graficele au fost generate cu următoarea secvență de program :


```
function grafice(tau,alfa)
t=1;
for x=-tau-1:.1:tau+1;
    y(t)=sin(sin(10*x)/7+cos(9.5*x/2)/10)/2;
    t=t+1;
end
x=-tau-1:.1:tau+1;
figure
qq=polyfit(x,y,3);
pp=polyval(x,qq);
xx=-tau-1:.001:tau+1;
nnv=spline(x,y,xx);
plot(xx,nnv);
title('Semnal sinusoidal
sin(sin(10*x)/7+cos(9.5*x/2)/10)/2');
hold on;
grid;
t=1;
figure;
for x=-tau-1:.1:tau+1;
    if ((x>=-tau)&(x<=tau))
        bartlett(t)=1-abs(x)/tau;
    else
        bartlett(t)=0;
    end
    t=t+1;
end
x=-tau-1:.1:tau+1;
qq=polyfit(x,bartlett,3);
pp=polyval(x,qq);
xx=-tau-1:.001:tau+1;
nnv=spline(x,bartlett,xx);
plot(xx,nnv,'r');
%title('Fereastră Bartlett');
hold on;
t=1;
yt1=y+bartlett;
qq=polyfit(x,yt1,3);
pp=polyval(x,qq);
xx=-tau-1:.001:tau+1;
nnv=spline(x,yt1,xx);
plot(xx,nnv);
title('Filtrarea cu ajutorul ferestrei Bartlett');
grid;
t=1;
figure;
```

```

for x=-tau-1:.1:tau+1;
    if ((x>=-tau)&(x<=tau))
        kaiser(t)=besseli(0,x)*(alfa*(1-
(x/tau)^2)^(1/2)/besseli(0,alfa));
    else
        kaiser(t)=0;
    end
    t=t+1;
end
x=-tau-1:.1:tau+1;
qq=polyfit(x,kaiser,3);
pp=polyval(x,qq);
xx=-tau-1:.001:tau+1;
nnv=spline(x,kaiser,xx);
plot(xx,nnv,'r');
hold on;
%title('Fereastra Kaiser');
t=1;
%figure
yt2=y+kaiser;
qq=polyfit(x,yt2,3);
pp=polyval(x,qq);
xx=-tau-1:.001:tau+1;
nnv=spline(x,yt2,xx);
plot(xx,nnv);
title('Filtrarea cu ajutorul ferestrei Kaiser')
grid;

```

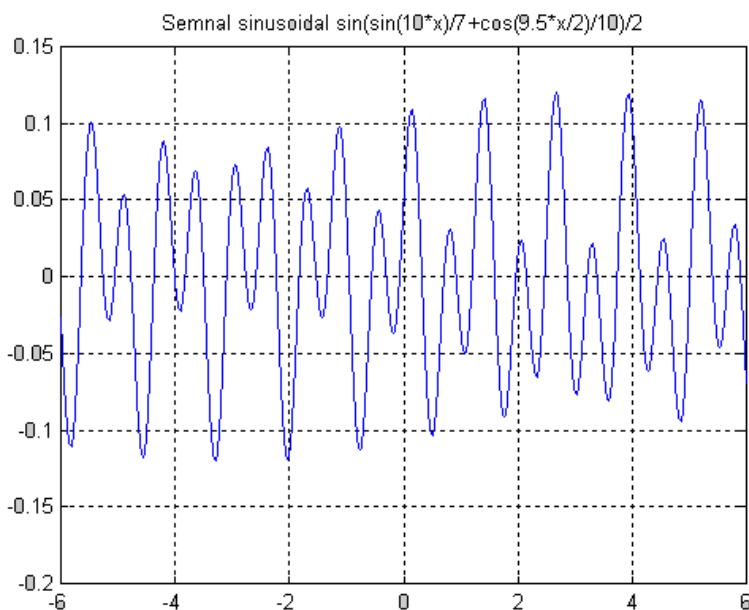


Fig.5.4. Semnal sinusoidal nefiltrat

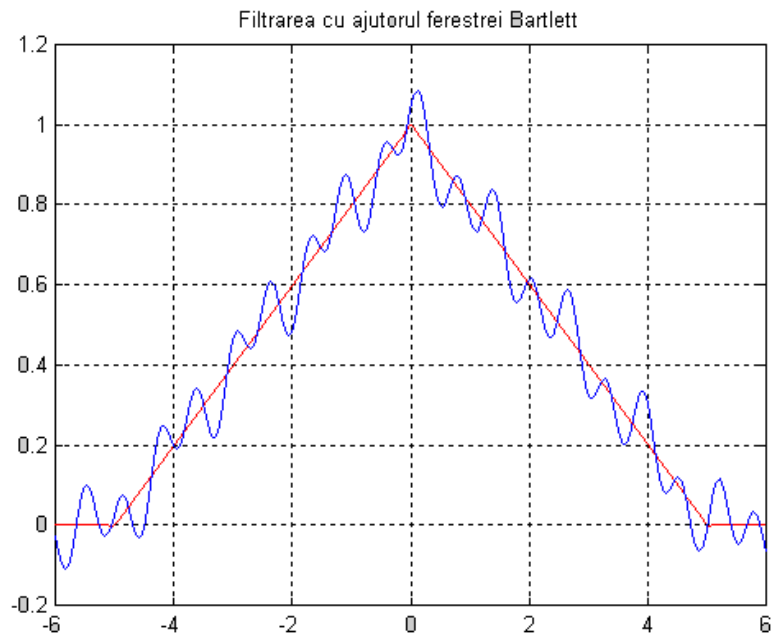


Fig.5.5. Semnal sinusoidal filtrat cu fereastra Bartlett

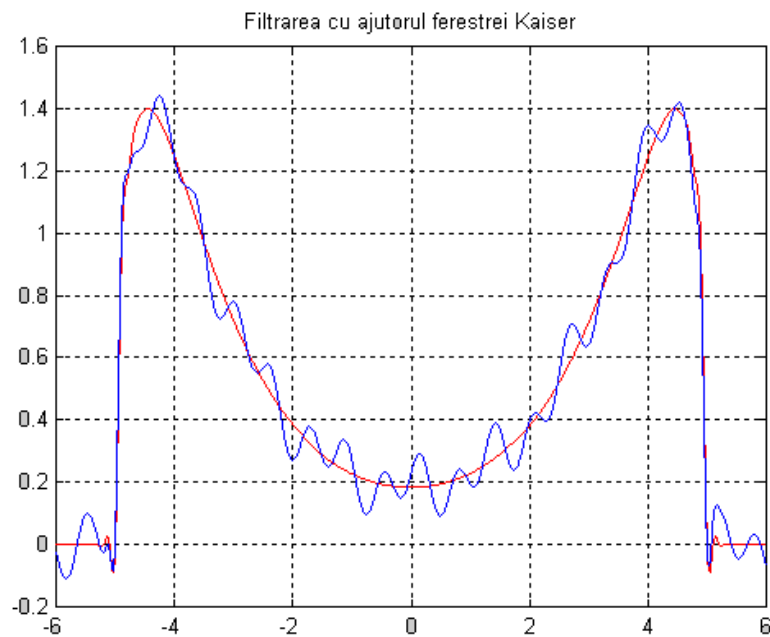


Fig.5.6. Semnal sinusoidal filtrat cu fereastra Kaiser

În identificarea prin metoda indicială se utilizează derivarea curbei răspunsului la intrarea treaptă. Pentru evaluarea derivatei există posibilitatea utilizării funcției cosc , de forma

$$\cos c(x) = \begin{cases} \frac{\cos(\pi x)}{x} - \frac{\sin(\pi x)}{\pi x^2} & \text{pentru } x \neq 0 \\ 0 & \text{pentru } x = 0 \end{cases} \quad (5.14)$$

care este derivata funcției *sinc* menționată mai devreme. Derivarea termen cu termen a sumei din teorema eșantionării produce o sumă de funcții *cosc* cu coeficienți proporționali cu eșantioanele semnalului. Prin utilizarea unor ferestre din cele prezentate mai sus se pot obține estimări ale derivatei semnalului.

3. MODUL DE LUCRU

- Se generează o secvență de eșantioane ale răspunsului indicial al unui alt sistem linear de ordinul I și se observă efectul zgomotului și efectul filtrării *trece-jos* prin mediere.
- Se elaborează programe care definesc funcții capabile să filtreze un semnal prin mijlocirea celorlalte ferestre din cele prezentate în **Breviar teoretic** – Blackmann, Gauss, Hann, Hamming, Parzen, Lanczos. Se observă efectul filtrării *trece-jos* realizate.
- Se elaborează programul de implementare al unui algoritm de calcul al derivatei cu funcția *cosc* și fereastră rectangulară. Se observă efectul de filtrare la evaluarea derivatei pe baza datelor-eșantioane.
- Se evaluează derivata răspunsului cu funcția *cosc* și fereastra rectangulară în condiții variate de zgomot.

LUCRAREA 6

ESTIMATORI M. ESTIMATORI DE PARAMETRI ROBUȘTI

1. OBIECTIVELE LUCRĂRII

Studiul comportării așa-numiților *estimatori M*, estimatori de parametri înrudiți cu binecunoscutul estimator bazat pe metoda celor mai mici pătrate, dar cu robustețe îmbunătățită în prezența erorilor grosiere prezente în date.

2. BREVIAR TEORETIC

O tehnică robustă foarte populară în estimarea de parametri este tehnica așa-numiților *estimatori M*.

Fie r_i rezidualul experimental i , adică diferența dintre observația i și valoarea dată de un model. Metoda standard a celor mai mici pătrate încearcă să minimizeze suma pătratelor acestor reziduale $\sum_i r_i^2$. Încercarea poate fi instabilă dacă în date sunt prezente erorile grosiere (*outliers*). Datele cu erori grosiere pot produce un efect atât de important în minimizarea sumei pătratelor încât parametri estimați să fie grav distorsionați.

Estimatorii M pot reduce efectul erorilor grosiere prin înlocuirea rezidualelor luate la pătrat din expresia clasică a celor mai mici pătrate cu o altă funcție de reziduale, $\sum_i \rho(r_i)$, cu ρ o funcție simetrică (pară) pozitiv definită, cu un minim unic în origine și cu o creștere mai lentă decât pătratul.

În locul rezolvării directe a problemei se implementează o metodă iterativă a celor mai mici pătrate reponderate după algoritmul prezentat în continuare.

Fie $p = [p_1 \dots p_m]^T$ vectorul parametrilor modelului care trebuie estimați din date experimentale. Produsul unui estimator M care utilizează funcția ρ este vectorul p soluție a ecuațiilor

$$\sum_i \psi(r_i) \partial r_i / \partial p_j = 0, \quad \text{pentru } j=1,2,\dots,m \quad (6.1)$$

în care funcția (derivată) $\psi(x) = d\rho(x)/dx$ este numită *funcție de influență*.

Prin definirea *funcției pondere*

$$w(x) = \frac{\psi(x)}{x} \quad (6.2)$$

ecuația de mai sus devine

$$\sum_i w(r_i) r_i \cdot \partial r_i / \partial p_j = 0 \quad \text{pentru } j=1,2,\dots,m \quad (6.3)$$

ceea ce este exact sistemul de ecuații care se obține la rezolvarea problemei iterative a celor mai mici pătrate reponderate

$$\min \sum_i w(r_i^{(k-1)}) r_i^2 \quad (6.4)$$

cu indicele superior atașat iterației curente. Ponderile trebuie evaluate după fiecare iterație pentru a fi utilizate în iterația următoare.

Funcția de influență $\psi(x)$, după cum și numele indică, este o măsură a influenței pe care o observație o are asupra parametrilor estimați. Pentru cele mai mici pătrate, de exemplu, $\rho(x) = x^2/2$ și funcția de influență este $\psi(x) = x$, adică influența unei singure observații, nu importă care, asupra estimației parametrilor crește liniar cu mărimea erorii, ceea ce reprezintă un semn al lipsei de robustețe a metodei.

Un estimator este **robust** dacă influența unei singure observații este insuficientă pentru a produce o deplasare semnificativă în estimații. Un estimator M robust trebuie să satisfacă un număr de condiții:

- Să aibă o funcție de influență mărginită;
- Să asigure unicitatea soluției. Funcția obiectiv prin minimizarea căreia se obține vectorul de parametri p trebuie să fie unimodală (cu un singur extrem) ceea ce matematic corespunde unei convexități a funcției ρ în variabila p ;
- Ori de câte ori derivata a doua $\partial^2 \rho(.) / \partial p^2$ este singulară, funcția obiectiv trebuie să aibă un gradient nenul, $\partial \rho(.) / \partial p \neq 0$, pentru a evita căutarea prin întreg spațiul parametrilor.

Câteva dintre funcțiile uzual utilizate în estimarea de parametri sunt prezentate în Tabelul 6.1. , cu proprietățile:

- Estimatorul L_2 (al celor mai mici pătrate) nu este robust din cauză că funcția de influență nu este mărginită.
- Estimatorul L_1 (valoarea absolută) nu este stabil deoarece funcția $\rho=|x|$ nu este strict convexă și derivata a doua în origine nu este mărginită. O soluție nedeterminată este oricând posibilă. Estimatorul L_1 reduce influența erorilor mari dar acestea au încă influență din cauză că funcția de influență nu are puncte de tăiere.
- Estimatorul L_1-L_2 împrumută de la estimatorul L_1 capacitatea de a reduce influența erorilor mari și de la estimatorul L_2 , proprietatea de a fi convex.
- Funcțiile din L_p (ale celor mai mici puteri) alcătuiesc o familie de funcții. Cu $v=2$ se regăsește estimatorul L_2 , cu $v=1$ cazul se reduce la L_1 . Cu cât v este mai redus cu atât incinta erorilor mari asupra estimațiilor p este mai lipsită de importanță. Se pare că un v moderat asigură un estimator relativ robust, slab perturbat de erorile grosiere. Investigațiile unor cercetători duc la valori ale lui v în apropiere de valoarea 1,2 sunt însă probleme de calcul: rezidualele nule fac calculele dificile pentru $1 < v < 2$.
- Estimatorul "Fair" are pretitudeni derivate pâna la ordinul trei inclusiv și produce soluții unice. Eficiența asimptotică de 95% pe distribuții normale standard este atinsă pentru $c=1.345$.

- Estimatorul bazat pe funcția *Hubber*, o parabolă în apropiere de origine și liniară dincolo de un prag k pentru valoarea absolută a variabilei x , atinge eficiența asimptotică de 95% pentru $k=1,345$.
- Estimatorul este atât de eficient încât este recomandat aproape în toate situațiile. Totuși, uneori apar dificultăți probabil din cauza lipsei de stabilitate în valoare a gradientului legată de discontinuitatea derivatei a doua în punctele $x=\pm k$

$$\frac{d^2\rho(x)}{dx^2} = \begin{cases} 1 & \text{pentru } |x| < k \\ 0 & \text{pentru } |x| > k \end{cases} \quad (6.5)$$

Eficiența asimptotică de 95% pe distribuții normale standard este atinsă pentru $k=1,2107$.

- Funcția *Cauchy* – cunoscută și sub numele de funcția lui *Lorentz* – nu garantează soluția unică în problema estimării. Cu derivata scăzătoare, funcția are tendința de a produce soluții eronate într-o manieră inobservabilă. Constanta reglatoare c se recomandă a avea valoarea 2.3849.
- Celelalte funcții au aceleași probleme ca și funcția *Cauchy*. Graficele indică o descreștere a influenței erorilor mari doar liniară cu mărimea lor. Funcțiile *German-McClure* și *Welsh* sunt o încercare de a reduce și mai mult efectul erorilor grosiere, funcția *Tukey dublu ponderată* eliminând chiar punctele străine (outliers). Eficiența asimptotică a funcției *Tukey dublu ponderată*, la 95% pe distribuția standard normală, se obține cu constanta de acordare $c=4.6851$ iar pentru funcția *Welsh* cu $c=2.9846$.

Pare a fi dificil a alege o funcție ρ pentru uz generalizat fără a introduce o doză de arbitrar. Urmând ideea lui *Rey*, pentru problemele de localizare și de regresie cea mai bună alegere este funcția L_p , care în pofida non-robusteții teoretice, practic se dovedește cvasi-robustă. Sunt însă dificultăți de calcul. Următoarea este funcția *Fair* care produce proceduri de calcul elegant convergente. Urmează apoi funcția lui *Hubber*, în forma originară

IDENTIFICAREA SISTEMELOR – ÎNDRUMAR DE LABORATOR 60
sau în forma modificată. Toate aceste funcții nu elimină complet
influența erorilor grosiere importante.

Tabelul 6.1.

Tip	$\rho(x)$	$\psi(x)$	$w(x)$
L_2	$\frac{x^2}{2}$	x	1
L_1	$ x $	$\frac{\text{Sgn}(x)}{x}$	$\frac{1}{ x }$
$L_2 - L_1$	$2(\sqrt{1 + \frac{x^2}{2}} - 1)$	$\frac{x}{\sqrt{1 + \frac{x^2}{2}}}$	$\frac{1}{\sqrt{1 + \frac{x^2}{2}}}$
L_p	$\frac{ x ^v}{v}$	$\frac{\text{sgn}(x) x ^{v-1}}{x}$	$ x ^{v-2}$
Fair	$c^2[\frac{ x }{c} - \log(1 + \frac{ x }{c})]$	$\frac{x}{1 + \frac{ x }{c}}$	$\frac{1}{1 + \frac{ x }{c}}$
Hubber $ x \leq k$ $ x > k$	$\frac{x^2}{2}$ $k x \quad \frac{k^2}{2}$	x $k\text{sgn}(x)$	
Cauchy	$\frac{c^2}{2} \log 1 + \frac{x^2}{2}$	$\frac{x}{1 + \frac{x^2}{c}}$	$\frac{1}{1 + \frac{x^2}{c}}$
Geman- McClure	$\frac{x^2}{2}$ $1 + x^2$	$\frac{x}{(1 + x^2)^2}$	$\frac{1}{(1 + x^2)^2}$
Welch	$\frac{c^2}{2} \exp \frac{x^2}{c}$	$x \exp \frac{x^2}{c}$	$\exp \frac{x^2}{c}$

Tukey	$\frac{c^2}{6}$ 1 1 $\frac{x}{c}$ ^{2 3}	x 1 $\frac{x}{c}$ ^{2 2}	1 $\frac{x}{c}$ ^{2 2}
	$\frac{c^2}{6}$	0	0

Ultimele patru funcții prezentate nu garantează unicitatea soluției problemei de estimare dar reduce considerabil sau chiar elimină complet influența erorilor grosiere de amplasare. Cum propune *Hubber*, în aceste cazuri se poate începe cu o funcție ρ convexă, se aduce calculul la convergență și apoi se execută câteva iterații cu una din funcțiile non-convexe pentru a elimina efectele erorilor foarte mari.

3. MODUL DE LUCRU

- Dacă nu este deja creat, se creează un director/folder de lucru.
- Se transferă fișierele specifice lucrării prezente, *date luc.mat*, *estimator.m*, *filuc4.m*, de pe dischetă sau din directorul corespunzător din rețea, în directorul de lucru.
- Se activează platforma **MATLAB** și se introduc succesiv secvențele de program menționate mai sus.
- Se reprezintă grafic funcțiile din tabelul cuprins în secțiunea **Breviar teoretic** și se observă variația ponderilor, convexitatea funcțiilor de influență și alte aspecte legate de eficiența și robustețea estimatorilor M corespunzători. Un exemplu pentru funcția L_2 este următorul:

```
function [rho,psi,w]=L2(x)
rho=x.^2/2;
psi=x;
w=ones(size(x));
subplot(1,3,1)
plot(x,rho)
axis([-3 3 0 4.5])
title('rho(x)')
```

```
subplot(1,3,2)
plot(x,psi)
axis([-3 3 -3 3])
title('psi(x)')
subplot(1,3,3)
plot(x,w)
axis([-3 3 0 3])
title('w(x)')
```

Se inițializează un vector de valori ale variabilei t

```
t=-3:0.02:3;
```

Se apelează (repetat)

```
L2(t);
```

- Se apelează *help estimatorm* pentru a observa condițiile în care *script*-ul *estimatorm* se poate apela și care sunt funcțiile lui.
- După selectarea unei funcții se apelează *script*-ul. Se observă graficele generate și se apreciază calitățile estimatorului după criteriile menționate în **Breviarul teoretic**. Figura ultimă din cele trei (Stabilitate) ilustrează diferențele modelelor obținute în situațiile când: a) datele au erori normale; b) datele sunt afectate de erori grave sistematice.
- Se cere implementarea software și a celorlalte tipuri de funcții din cele menționate în **Breviarul** teoretic, urmată de analiza și observațiile care se impun.
- Vor fi propuse și funcții la libera alegere a studenților, tot în condițiile menționate în **Breviarul** teoretic: convexitate, mărginire a influenței erorilor mari, garantarea soluției unice. Se cere, de asemenea, formularea unor concluzii consecutive analizei funcțiilor propuse.

LUCRAREA 7

INTERPOLAREA ȘI APROXIMAREA DATELOR

1. OBIECTIVELE LUCRĂRII

- Studiul metodelor de aproximare a datelor prin regresie liniară și polinomială;
- Studiul metodelor de interpolare liniară prin metoda transformatei Fourier.

2. BREVIAR TEORETIC

Se propune următoarea strategie de aproximare: mai întâi, aproximarea unui set de date printr-o linie dreaptă (*regresie liniară*), apoi prin aproximarea printr-un polinom (*regresie polinomială*).

Pentru ca aproximarea să fie considerată foarte bună, suma pătratelor distanțelor de la fiecare punct la curba aproximată (linie sau polinom) trebuie să fie minimă. Cu această condiție îndeplinită, este posibil ca nici un punct al setului de date să nu se găsească pe curba aproximantă, ceea ce reprezintă diferența față de interpolare, la care toate punctele sunt situate pe curbă.

2.1. Regresie liniară

Regresia liniară aproximează setul de date printr-o dependență liniară care minimizează suma pătratelor dintre dreapta de aproximare și punctele date.

Măsura calității unei aproximări liniare, dată de suma pătratelor distanțelor de la fiecare punct la estimația liniară, este exprimată prin

$$\text{sum } p = \text{sum} ((y - y_1).^2) \quad (7.1)$$

Determinarea parametrilor m și n ai dreptei de aproximare $y = mx + n$ se face folosind funcția **polyfit**.

Exemplul 1.

Să se aproximeze în sensul CMMP cu o regresie liniară setul de date:

$$\begin{aligned} x &= [0, 1, 2, 3, 4, 5] \\ y &= [0, 20, 60, 68, 77, 100]. \end{aligned}$$

Secvența MATLAB care realizează această aproximare este prezentată în continuare.

```
x=[0,1,2,3,4,5];
y=[0,20,60,68,77,100];
coef=polyfit(x,y,1);
m=coef(1);
n=coef(2);
y1=m*x+n;
sump=sum((y-y1).^2);
axis([-1,6,-20,120]);
plot(x,y1,x,y,'o');
grid on
```

Interpretați reprezentarea grafică obținută.

2.2. Regresie polinomială

Regresia polinomială realizează aproximarea setului de date printr-un polinom de forma

$$p(x) = \sum_{i=0}^N a_i x^{N-i} = a_0 x^N + a_1 x^{N-1} + \dots + a_{N-1} x + a_N \quad (7.2)$$

Coeficienții a_0, a_1, \dots, a_N ai polinomului de regresie sunt calculați cu ajutorul metodei CMMP, ceea ce presupune minimizarea funcției obiectiv

$$f_{ob}(A) = \sum_{i=1}^m [y_i - (a_0 x_i^N + a_1 x_i^{N-1} + \dots + a_N)]^2 \quad (7.3)$$

Algoritmul regresiei polinomiale cuprinde următoarele etape:

1. Calculul sumelor în x_i și y_i ;

$$Sx_1 = m;$$

$$Sx_j = \sum_{i=1}^m x_i^{j-1}, j = 2, \dots, 2n_{\max} + 1;$$

$$Sxy_1 = \sum_{i=1}^m y_i; \quad (7.4)$$

$$Sxy_j = \sum_{i=1}^m y_i x_i^{j-1}, j = 2, \dots, n_{\max} + 1.$$

2. Calculul polinomului de regresie de grad n .

3. Generarea matricii sistemului de ecuații, a termenului liber și rezolvarea sistemului de ecuații liniare

$$c_{ij} = Sx_{i+j-1}, j = 1, \dots, n+1, i = 1, \dots, n+1;$$

$$b_j = Sxy_j, j = 1, \dots, n+1;$$

$$CA = B \quad (7.5)$$

$$w_{ni} = a_j, j = 1, \dots, n+1$$

4. Calculul dispersiei și a abaterii standard

$$s^2 = \sum_{i=1}^m [y_i - (a_0 x_i^N + \dots + a_N)]^2;$$

$$\sigma = \sqrt{s^2}; \quad (7.6)$$

$$disp_n = s^2$$

5. Testarea gradului polinomului de regresie în vederea validării lui

$$n < n_{\max} \Rightarrow n = n + 1 \text{ și salt la 3};$$

$$n > n_{\max} \Rightarrow \text{salt la 6.}$$

6. Determinarea gradului optim j al polinomului de regresie

$$\min_j (\text{grad}_j, j=1, \dots, n_{\max})$$

Dacă setul de date are N elemente, toate datele se află pe curba de aproximare. Pentru un polinom având gradul mai mic decât numărul de date, aproximarea este cu atât mai bună cu cât gradul polinomului este mai apropiat de numărul de date. Utilizarea unui polinom de aproximare de grad mai mare decât setul de date poate conduce la erori de aproximare considerabile.

Determinarea celei mai bune aproximări a unui set de date (x,y) cu un polinom de ordinul n se face folosind funcția **polyfit**, cu sintaxa

$$p = \text{polyfit}(x, y, n)$$

care returnează coeficienții a_i ai polinomului $p(x)$ caracterizat de proprietatea că prezintă, în punctele precizate de vectorul x , valorile date de vectorul y (în sensul CMMP).

Exemplul 2

Fie polinomul $p(x) = x^3 - 6x^2 + 11x - 6$, peste care este suprapus un zgomot cu distribuție normală. Aproximați în sensul CMMP datele rezultate cu un polinom de grad 3. Reprezentați grafic datele cu zgomot și polinomul aproximant.

Secvența de program MATLAB este

```
p=[1,-6,11,-6];
x=0:.25:4;
y=polyval(p,x)+rand n(size(x));
c=polyfit(x,y,3);
poli3=polyval(c,x);
plot(x,poli3,x,y,'o');
grid on
```

Obs. Funcția **polyval(p,s)** evaluează polinomul definit de vectorul p , al coeficienților polinomiali, în punctul s .

2.3. Interpolarea funcțiilor de o singură variabilă

2.3.1. Interpolarea prin metoda transformatei Fourier

Funcția **interpft** interpolează datele cu o singură variabilă utilizând metoda FFT și se apelează cu sintaxa

$$y = \text{interpft}(x, n)$$

care returnează un vector y de lungime n obținut din vectorul x . Numărul n trebuie să fie mai mare decât numărul de elemente al vectorului x , iar rezultatul are o periodicitate circulară dată de utilizarea transformatei Fourier.

Exemplul 3

Fie datele obținute dintr-un sinus eșantionat cu 8 pași pe perioadă

$$y = \sin \frac{2\pi k}{8} \quad (7.7)$$

Interpolați datele cu un pas dublu și verificați valorile obținute cu secvența MATLAB.

```
k=0:7;  
x=sin(2*pi*k/8);  
yi=interpft(x,16);  
k1=0:15;  
yr=sin(2*pi*k1/16);  
d=max(yi-yr);
```

Rezultatul obținut este

$$d = 5.5511e^{-0,16}$$

Diferența maximă între valorile interpolate și cele reale este egală cu ordinul de mărime al celui mai mic număr reprezentabil în calculator (eroarea de trunchiere).

2.3.2. Interpolarea liniară

Dacă se presupune că funcția dintre două puncte de coordonate (x_1, y_1) , respectiv (x_2, y_2) , poate fi estimată printr-o linie dreaptă, atunci

valoarea funcției în orice punct x dintre cele două valori se deduce cu expresia

$$f(x) = y_1 + \frac{x - x_1}{x_2 - x_1} (y_2 - y_1) \quad (7.8)$$

Interpolarea liniară a funcțiilor de o singură variabilă se face cu funcția *tabel* care se apelează cu sintaxa

$$y = \text{tabel}(\text{nume_tabel}, x)$$

Primul argument al funcției este numele tabelului care conține datele ce se referă la coordonatele (x_i, y_i) . Dacă acesta este un fișier pe disc, atunci *nume_fișier* trebuie să fie mai întâi încărcat cu funcția *load*.

Al doilea argument se referă la valorile lui x pentru care se dorește determinarea valorilor interpolate y .

Datele din prima coloană a tabelului (valorile lui x) trebuie să fie în ordine crescătoare, iar valorile x trebuie să se găsească între prima și ultima valoare a primei coloane; în caz contrar, se afișează un mesaj de eroare.

Dacă tabelul din care se citesc datele conține mai mult de două coloane, funcția *tabel* returnează un vector linie cu $N-1$ elemente, unde N este numărul de coloane ale tabelului. Fiecare valoare returnată este interpolată din coloana corespunzătoare a datelor.

Exemplul 4.

Estimați valorile temperaturii la momentele de timp 2.5 sec și 4.9 sec, cu datele următoare:

0.0 °C	0.0 s
20.0 °C	1.0 s
60.0 °C	2.0 s
68.0 °C	3.0 s
77.0 °C	4.0 s
110.0 °C	5.0 s

Se introduc datele într-o matrice care are în prima coloană valorile timpului și în a doua coloană temperaturile corespunzătoare:

$$\text{temp1}(:,1)=[0.0,1.0,2.0,3.0,4.0,5.0]';$$

$$\text{temp1}(:,2)=[0.0,20.0,60.0,68.0,77.0,110.0]';$$

Cu instrucțiunea

$$y=\text{tabel}(\text{temp1},[2.5 \ 4.9])$$

se obțin rezultatele

$$y=[64.0 \ 107.0]$$

3. MODUL DE LUCRU. PROBLEME PROPUSE

- Dacă nu este deja creat, se creează un director/folder de lucru.
- Se activează platforma **MATLAB** și se introduc secvențele de program prezentate în exemplele din cuprinsul **Breviarului teoretic**, urmărindu-se îndeplinirea cerințelor enunțate la fiecare dintre ele.
- Se consideră un traductor de debit cu diafragmă. Setul de date experimentale obținute pentru trasarea caracteristicii statice, și anume mărimea de intrare - debitul volumic - și mărimea de ieșire - curentul generat de traductor - sunt următoarele:

10,14 m ³ /h.....	10 mA
8,64 m ³ /h	8 mA
7,20 m ³ /h.....	6 mA
4,5 m ³ /h.....	3,5 mA
2 m ³ /h.....	2,5 mA
1,5 m ³ /h.....	2,2 mA
0,1 m ³ /h.....	2 mA

Se cere aproximarea setului de date printr-un polinom de forma prezentată în relația (7.2), pe baza algoritmului de la paragraful 2.2.

LUCRAREA 8

IDENTIFICAREA SISTEMELOR FOLOSIND METODA CELOR MAI MICI PĂTRATE. ALGORITMI DE CALCUL

1. OBIECTIVELE LUCRĂRII

Estimarea parametrilor unui model matematic folosind metoda celor mai mici pătrate (MCMMP).

2. BREVIAR TEORETIC

În cadrul metodei celor mai mici pătrate (MCMMP), sistemul se consideră descris de următoarea ecuație cu diferențe

$$A(q^{-1})y(t)=B(q^{-1})u(t)+e(t) \quad (8.1)$$

unde :

$u(t)$ =mărimea de intrare ;

$y(t)$ =mărimea de ieșire ;

$e(t)$ =zgomot alb de medie zero și dispersie λ^2 ;

q^{-1} =operator de întârziere

Modelul se consideră descris de o ecuație cu diferențe, care are aceeași structură cu ecuația (8.1)

$$A_T(q^{-1})y(t)=B_T(q^{-1})u(t)+e(t) \quad (8.2)$$

unde :

$e(t)$ =reziduul modelului ;

$A_T(q^{-1})=1+a_{1T}q^{-1}+a_{2T}q^{-2}+\dots\dots\dots+a_{naT}q^{-na}$;

$B_T(q^{-1})=1+b_{1T}q^{-1}+b_{2T}q^{-2}+\dots\dots\dots+b_{nbT}q^{-nb}$.

Se fac următoarele notații:

$$\begin{aligned} \theta &= [a_{1T} \dots a_{naT}, b_{1T} \dots b_{nbT}]^T \\ \varphi(t) &= [-y(t-1) \dots -y(t-na) \ u(t-1) \dots u(t-nb)]^T; \end{aligned} \quad (8.3)$$

cu aceste notații mărimea de ieșire dată de model fiind

$$y_m(t) = \varphi^T(t)\theta + \varepsilon(t). \quad (8.4)$$

Având disponibilă structura modelului (na, nb) , se impune condiția ca media pătratică a erorii de predicție să fie minimă. Estimația celor mai mici pătrate a lui θ , bazată pe n date de definiție, este

$$\hat{\theta} = \arg \min_{\bar{\theta}} V(\bar{\theta}), \quad (8.5)$$

$$\text{unde } V(\bar{\theta}) = \sum_{i=1}^n [y(t) - \varphi^T(t)\bar{\theta}]^2 \quad (8.6)$$

Din condiția de mai sus rezultă

$$\hat{\theta} = \left(\sum_{i=1}^N \bar{\varphi}(t) \bar{\varphi}^T(t) \right)^{-1} \sum_{i=1}^N \bar{\varphi}(t) y(t). \quad (8.7)$$

Cu notațiile :

$\theta = [a_{1T} \dots a_{naT}, b_{1T} \dots b_{nbT}]^T$: parametrii modelului
 $\varphi(t) = [-y(t-1) \dots -y(t-na) \ u(t-1) \dots u(t-nb)]^T$: vectorul care conține istoria procesului (intrările și ieșirile anterioare),

ecuația (8.1) devine

$$y(t) = \varphi^T(t)\theta + \varepsilon(t). \quad (8.8)$$

Modelul va fi descris printr-o ecuație de aceeași formă

$$y_m(t) = \varphi^T(t)\theta + \varepsilon(t). \quad (8.9)$$

Estimarea parametrilor modelului (θ) presupune în primul rând stabilirea gradelor na și nb și apoi determinarea vectorului θ pe baza datelor experimentale de intrare-ieșire.

De fapt, esența metodei constă în a presupune faptul că modelul este determinist

$$y_m(t) = \varphi^T(t)\theta, \quad (8.10)$$

situație în care θ se calculează impunându-se următoarea condiție

$$\theta = \arg_{\theta} \min \frac{1}{N} \sum_{t=1}^N (y(t) - y_m(t))^2 = \arg_{\theta} \min \frac{1}{N} \sum_{t=1}^N (y(t) - \varphi^T(t)\theta)^2 \quad (8.11)$$

Expresia explicită a lui $\hat{\theta}$ se obține din condiția de anulare a gradientului funcției criteriu

$$V_{\hat{\theta}}(\hat{\theta}) = 0, \quad \frac{\partial V}{\partial \theta} \Big|_{\theta=\hat{\theta}} = -2 \frac{1}{N} \sum_{t=1}^N \bar{\varphi}(t) (y(t) - \bar{\varphi}^T(t)\hat{\theta})^2 = 0$$

$$\sum_{t=1}^N \bar{\varphi}(t)y(t) = \sum_{t=1}^N \bar{\varphi}(t)\bar{\varphi}^T(t)\hat{\theta} \Rightarrow \hat{\theta} = \left[\sum_{t=1}^N \bar{\varphi}(t)\bar{\varphi}^T(t) \right]^{-1} \sum_{t=1}^N \bar{\varphi}(t)y(t). \quad (8.12)$$

Dacă se notează

$$Y = [y(1) \dots y(N)]^T, \quad \Phi^T = [\bar{\varphi}(1) \dots \bar{\varphi}(N)], \quad (8.13)$$

atunci se obține

$$\Phi^T \Phi = \sum_{t=1}^N \bar{\varphi}(t)\bar{\varphi}^T(t) \quad (8.14)$$

$$\Phi^T Y = [\bar{\varphi}(1) \dots \bar{\varphi}(N)] \begin{bmatrix} y(1) \\ \vdots \\ y(N) \end{bmatrix} = \sum_{t=1}^N \bar{\varphi}(t)y(t) \quad (8.15)$$

$$Y = \Phi \theta + \varepsilon. \quad (8.16)$$

Cu aceste notații estimatorul se poate scrie sub forma

$$\hat{\theta} = [\Phi^T \Phi]^{-1} \Phi^T Y \quad (8.17)$$

Estimatorul dat prin relația de mai sus reprezintă estimatorul celor mai mici pătrate care s-a obținut pe baza datelor de intrare $u(1), \dots, u(N)$ și a celor de ieșire $y(1), \dots, y(N)$.

Proprietățile estimatorului celor mai mici pătrate

Estimatorul celor mai mici pătrate este un predictor al mărimii de ieșire la momentul t dedus pe baza datelor de ieșire până la momentul $(t-1)$ (*predictor de pas*).

$$\begin{aligned} y_m(t) &= \varphi^T(t)\theta, \\ \varphi(t) &= [-y(t-1) \dots \dots -y(t-na) \ u(t-1) \dots \dots u(t-nb)]^T \end{aligned} \quad (8.18)$$

deci $y_m(t) = y(t-1)$,

de unde rezultă că $y(t)$ este determinat pe baza datelor de intrare/ieșire până la momentul $(t-1)$.

O altă proprietate a estimatorului celor mai mici pătrate se referă la faptul că eroarea de predicție $\frac{1}{N} \sum_{t=1}^N q^2(t)$ este minimă.

Această afirmație se justifică având în vedere relațiile următoare

$$\frac{1}{N} \sum_{t=1}^N q^2(t) = \frac{1}{N} \sum_{t=1}^N (y(t) - y_m(t))^2 \quad (8.19)$$

$$\theta = \arg_{\theta} \min \frac{1}{N} \sum_{t=1}^N (y(t) - \varphi^T(t)\theta)^2 \quad (8.20)$$

3. MODUL DE LUCRU

- Dacă nu este creat, se creează directorul de lucru ;
- Se activează platforma de lucru **MATLAB** ;
- Se consideră modelul descris de următoarea ecuație cu diferențe

$$y(t) - 1.5y(t-1) + 0.7y(t-2) = u(t-1) + 0.5u(t-2) + e(t)$$

- Se va utiliza următoarea secvență de program :

```

a=[1 -1.5 0.7];
b=[0 1 0.5];
c=[1];
d=[1];
f=[1];
n1=200;
k=10;
ths=poly2th(a,b,c,d,f);
u=sign(randn(n1,1));
e=randn(n1,1)/k;
ys=idsim([u e],ths);
z=[ys u e]
idplot([ys u]);

```

unde k este factorul de ponderare al erorii, iar $z=[ys \ u \ e]$ reprezintă o matrice cu trei coloane ce conține ieșirea (ys), intrarea (u) și perturbația (e).

- După execuția secvenței de mai sus, intrarea și ieșirea sistemului vor arăta ca în figura 8.1., unde în graficul din partea superioară a fost reprezentată secvența datelor de ieșire, iar în graficul din partea inferioară secvența datelor de intrare.

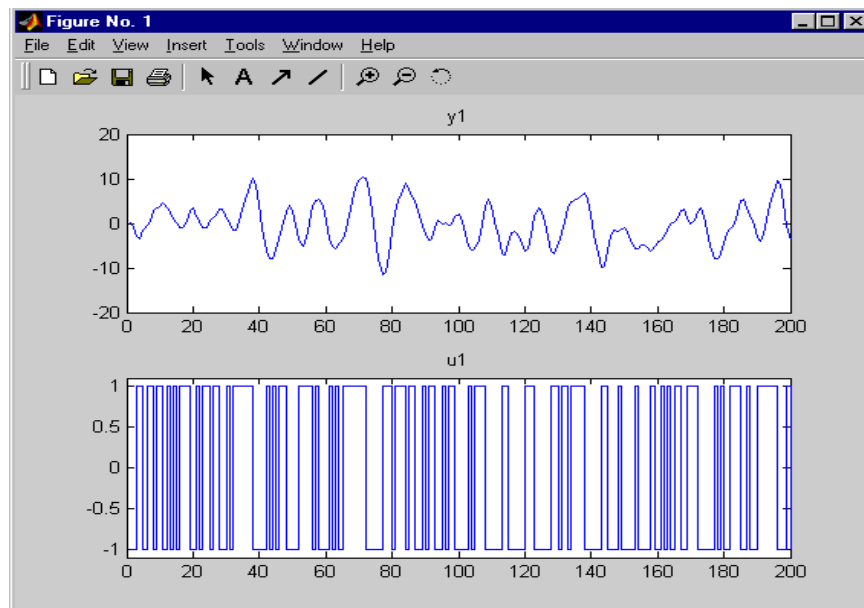


Figura 8.1. Reprezentările grafice ale intrării și ieșirii sistemului descris de modelul din relația 8.27.

- Se elaborează programul care implementează etapa de estimare și se verifică obținerea modelului (considerând $na=2$ și $nb=2$) de forma

$$y(t)-1.496y(t-1)+0.703y(t-2)=0.997u(t-1)+0.523u(t-2)+e(t)$$

și a unei erori medii de 0.0183.

- Se modifică structura propusă și se repetă operația de estimare de parametri și de determinare a erorii medii pătratice.
- Se verifică faptul că prin creșterea gradelor polinoamelor modelului, eroarea medie pătratică nu scade considerabil.

LUCRAREA 9

IDENTIFICAREA EXPERIMENTALĂ A SISTEMELOR DE ORDINUL I ȘI ORDINUL II

1. OBIECTIVELE LUCRĂRII

Identificarea unor sisteme de diverse ordine de mărime prin urmărirea evoluției în timp a ieșirii în condițiile aplicării la intrarea sistemelor a unor semnale tip: treaptă, rampă, sinusoidă;

2. BREVIAR TEORETIC

2.1. Sisteme de ordinul întâi

Modelul unui sistem de tip continuu, liniar, invariant, monovariabil și cu parametri concentrați este

$$y^{(n)} + a_{n-1}y^{(n-1)} + \dots + a_1 \dot{y} + a_0 y = b_r u^{(r)} + b_{(r-1)} u^{(r-1)} + \dots + b_1 \dot{u} + b_0 u, \quad (9.1)$$

unde: u = mărime de intrare; y = mărime de ieșire.

În regim staționar se obține modelul

$$a_0 y = b_0 u, \quad (9.2)$$

care conduce la obținerea unui răspuns de forma

$$y = (b_0 / a_0) u \quad (9.3)$$

În ceea ce privește ordinul maxim de derivare al intrării și al ieșirii, se deosebesc trei cazuri:

- dacă $r < n$, sistemul este strict propriu;
- dacă $r = n$, sistemul este simplu propriu;
- dacă $r > n$, sistemul este impropriu.

Sistemele de ordinul întâi sunt descrise de ecuația

$$a_1 \dot{y} + a_0 y = b_0 u, \quad (9.4)$$

Rezolvând această ecuație în domeniul timpului se obține următorul răspuns al sistemului

$$y(t) = b_0 u \left(1 - e^{-(a_0/a_1)t} \right) \quad (9.5)$$

Notând cu $1/T = a_0/a_1$ și cu $y_0 = (b_0/a_0)u$, se obține următoarea expresie a ieșirii:

$$y(t) = y_0 \left(1 - e^{-t/T} \right) \quad (9.6)$$

unde:

T = constanta de timp a sistemului;

y_0 = răspunsul sistemului în regim staționar;

Durata regimului tranzitoriu este $T_{tr} = 3T$ și exprimă timpul în care răspunsul sistemului ajunge la 95% din valoarea răspunsului în regim staționar.

Pentru sistemele de ordinul întâi fără anticipare (ordinul maxim de derivare al intrării este zero), se deosebesc următoarele cazuri:

a) $a_0 \neq 0, b_0 \neq 0$, modelul staționar este

$$y_0 = (b_0/a_0)u \quad (9.7)$$

și exprimă sistemul de tip *proporțional*;

b) $a_0 = 0, b_0 \neq 0$, sistemul este de tip *integrator* cu următorul model

$$a_1 \dot{y} = b_0 u, \quad (9.8)$$

având răspunsul

$$y(t) = (b_0/a_0) \int_0^t u dt \quad (9.9)$$

În cazul în care ordinul de derivare al intrării este 1 și este mai mare decât ordinul de derivare al ieșirii (sistemul este impropriu), se mai poate deosebi un al treilea caz care este clar idealizat deoarece toate sistemele fizice sunt sisteme proprii.

c) $a_0 \neq 0, b_0 = 0$, sistemul este de tip *derivator*, cu modelul

$$a_0 y = b_1 \dot{u}, \quad (9.10)$$

$$\text{care are răspunsul: } y = (b_1 / a_0) (du / dt) \quad (9.11)$$

Funcția de transfer a unui sistem de ordinul întâi fără anticipare este

$$H(s) = b_0 / (a_1 s + a_0) \quad (9.12)$$

Graficele răspunsului în timp ale sistemelor de ordinul întâi la diferite tipuri de intrări: treaptă, rampă și sinusoidă sunt reprezentate în figura 9.1.

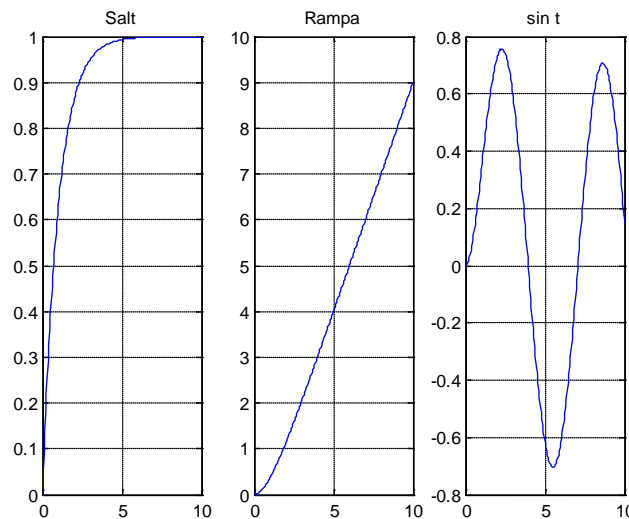


Fig.9.1. Răspunsuri în timp ale sistemului de ordinul întâi la diferite tipuri de mărimi de intrare: treaptă, rampă și sinusoidă

Practic, un sistem de ordinul întâi se poate obține cu un circuit RC, reprezentat în figura 9.2.

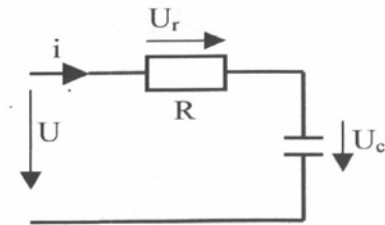


Fig. 4

Fig.9.2.. Circuit RC

Modelul matematic este prezentat în setul (9.13)

$$\begin{cases} U = U_r + U_c \\ U_r = Ri \\ U_c = (1/C) \int i dt \Rightarrow i = C \dot{U}_c \\ U_r = RC \dot{U}_c \end{cases} \quad (9.13)$$

Ecuția care descrie sistemul de ordinul întâi este

$$RC \dot{U}_c + U_c = U \quad (9.14)$$

unde: U_c = căderea de tensiune pe condensator;

U_r = căderea de tensiune pe rezistență;

U = tensiunea de alimentare a circuitului RC;

I = intensitatea curentului prin circuit;

R = rezistență, C = condensator.

Intrarea sistemului a fost considerată tensiunea de alimentare a circuitului RC, iar ieșirea sistemului a fost considerată tensiunea măsurată la bornele condensatorului C (U_c). Schema bloc a sistemului de ordinul întâi este prezentată în figura 9.3.



Fig. 5

Fig. 9.3.. Schema bloc a sistemului de ordinul întâi

2.2 Sisteme de ordinul doi

Sistemele continue de ordinul doi fără anticipare sunt descrise de ecuația

$$a_2 \ddot{y} + a_1 \dot{y} + a_0 y = b_0 u, \quad (9.15)$$

Rezolvând ecuația în domeniul timpului se obține răspunsul sistemului

$$y_l(t) = c_1 e^{-A/t} + c_2 e^{-B/t} + b_0 u, \quad (9.16)$$

cu c_1 și c_2 două constante determinate din condițiile inițiale, iar A , B soluții ale ecuației

$$a_2 r^2 + a_1 r + a_0 = 0 \quad (9.17)$$

Componenta $y_l(t) = c_1 e^{-A/t} + c_2 e^{-B/t}$ se numește *componentă liberă*, dependentă numai de structura sistemului, neinfluențată de forma de variație a intrării, iar componenta $y_f(t) = (b_0/a_0)u$, se numește *componentă forțată*, numită astfel deoarece este rezultatul “forțării” în forma răspunsului a unei componente de tipul intrării.

Funcția de transfer a unui sistem de ordinul doi fără anticipare este

$$H(s) = b_0 / (a_2 s^2 + a_1 s + a_0) \quad (9.18)$$

Graficele răspunsurilor în timp ale sistemelor de ordinul doi la diferite intrări tip: treaptă, rampă, sinusoidă sunt prezentate în figura 9.4.

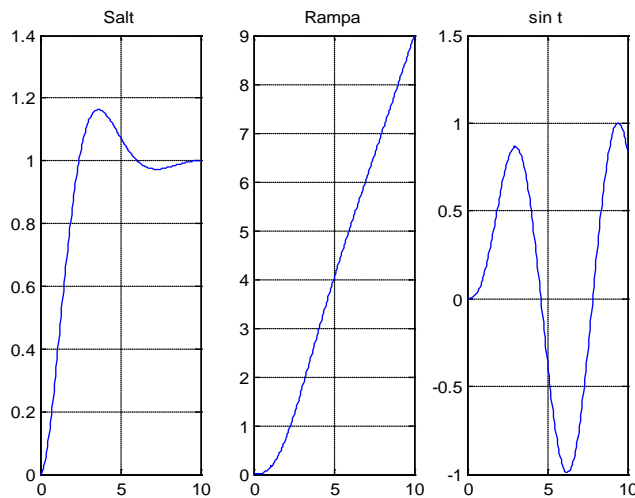


Fig.9.4. Graficele răspunsurilor în timp ale sistemelor de ordinul doi la diferite tipuri de mărimi de intrare: treaptă, rampă și sinusoidă

Practic, un sistem de ordinul doi se poate obține cu un circuit RLC de tipul celui din figura 9.5.

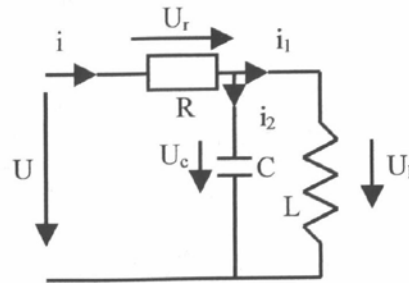


Fig. 9

Fig.9.5. Circuit RLC

Modelul matematic este

$$\begin{cases} U_r = Ri \\ U_c = (1/C) \int i_2 dt \Rightarrow i_2 = C \dot{U}_c \\ Ul = i_1 + i_2 \Rightarrow LC \ddot{U}_l + (L/R) \dot{U}_l = (L/R)U \end{cases} \quad (9.19)$$

Se obține astfel un model de forma

$$LC \ddot{U}_l + (L/R) \dot{U}_l + Ul = (L/R)U \quad (9.20)$$

unde:

U =tensiunea de alimentare a circuitului RLC;

U_r =căderea de tensiune pe rezistență;

U_c =căderea de tensiune pe condensator;

U_l =căderea de tensiune pe bobine;

i =intensitatea curentului prin rezistență;

I_1 =intensitatea curentului prin bobine;

I_2 =intensitatea curentului prin condensator;

R =rezistență;

C =condensator;

L =bobină.

Intrarea sistemului a fost considerată tensiunea de alimentare a circuitului RLC, U , în timp ce ieșirea a fost considerată căderea de tensiune pe bobina L, U_l .

Schema bloc a sistemului este reprezentată în figura 9.6.

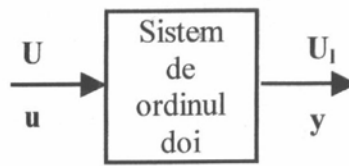


Fig. 10

Fig.9.6. Schema bloc a sistemului de ordinul doi.

3. MODUL DE LUCRU

Schema bloc a montajului utilizat pentru identificarea sistemelor de diverse ordine de mărime este reprezentată în figura 9.7.

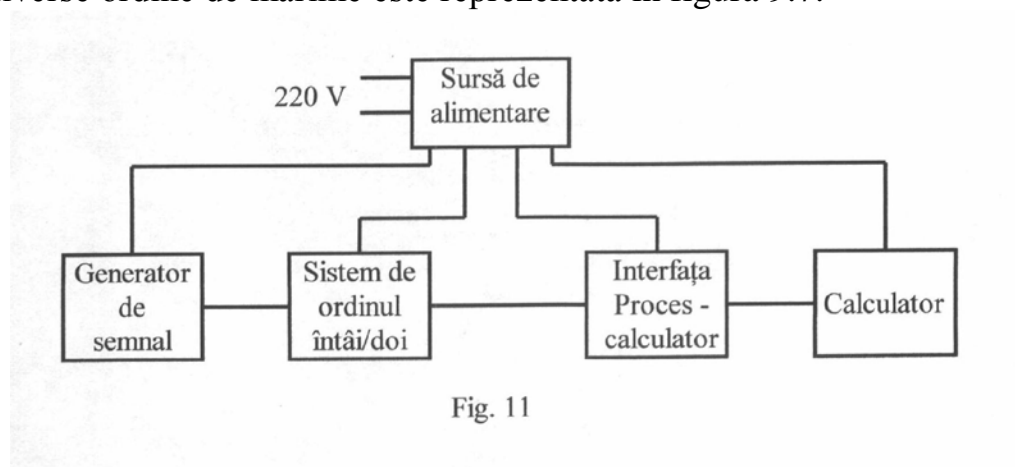


Fig. 11

Fig. 9.7. Schema bloc a montajului utilizat pentru identificarea experimentală a sistemelor.

1. Conform schemei din figura 9.7, se interconectează blocurile componente, cu următoarele observații:

- se vor respecta regulile de conectare a interfeței la alimentarea cu 5V (plusul, respectiv masa, de la sursa de alimentare, la firul de +5V, respectiv de masă, la interfață);
- se va conecta cablul paralel de la interfață la portul paralel al PC-ului;
- se va conecta la intrarea interfeței ieșirea de la cele două sisteme; acestea vor avea la intrare semnalele de tip treaptă sau sinusoidală date de versatester.

2. Se lansează în execuție programul aferent (IS.EXE, varianta de DOS, sau IDENT. EXE, varianta de Windows);

3. De la generatorul de semnal versatester tip E0502 se vor emite un semnal sinusoidal, respectiv dreptunghiular, cu frecvența de 1 Hz;

4. În urma vizualizării rezultatelor experimentului, se vor identifica sistemele analizate;
5. La sfârșitul lucrării se vor deconecta elementele componente.

Cu ajutorul generatorului de semnal, studenții vor aplica la intrarea circuitelor RC și RLC (descrise în partea teoretică), semnale de tip treaptă și sinusoidă.

Pentru obținerea unei bune discretizări a semnalului analogic y , s-a utilizat un convertor analogic-numeric pe 8 biți la ieșire. Deoarece portul paralel are doar 4 biți de intrare a fost necesară utilizarea unui buffer.

Interfața “proces” – calculator are la bază un convertor analog-numeric care face posibilă vizualizarea pe monitorul unui calculator a valorilor ieșirii y în timp și a graficelor ieșirii y pentru diversele intrări aplicate la intrarea sistemelor.

LUCRAREA 10

METODE DE SUBSPAȚIU ÎN IDENTIFICAREA SISTEMELOR

1. OBIECTIVELE LUCRĂRII

- Identificarea sistemelor prin metode de subspațiu;
- Obținerea directă din date experimentale a modelelor cu evidențierea spațiului stărilor, adică sub forma ecuație de stare – ecuație de observare.

2. BREVIAR TEORETIC

Metodele de subspațiu sunt în câmpul identificării sistemelor de relativ puțin timp (1994) și aparțin unor cercetători belgieni, Peter Van Overschee și Bart De Moore. Ele reprezintă o tratare a problemei identificării sistemelor concomitent deterministe și stochastice, etichetată drept revoluționară. Foarte repede, această problemă a fost implementată în pachetul de programe **MATLAB**, în subpachetul *Toolbox/Ident*, sub numele **n4sid**.

Algoritmice, pe baza unor proiecții ale ieșirilor "viitoare" ale sistemului pe intrările "trecute" și "viitoare" și pe ieșirile "trecute" ("trecutul" și "viitorul" sunt delimitate de indicii i și sunt, așadar, noțiuni convenționale), problema se tratează în maniera prezentată în continuare.

Pasul 1. Determinarea celor două proiecții Z_i și Z_{i+1}

$$Z_i = Y_{i/2i-1} \begin{pmatrix} U_{0/i-1} \\ U_{i/2i-1} \\ Y_{0/i-1} \end{pmatrix} = (L_i^1 \cdot L_i^2 \cdot L_i^3) \begin{pmatrix} U_{0/i-1} \\ U_{i/2i-1} \\ Y_{0/i-1} \end{pmatrix} \quad (10.1)$$

$$Z_{i+1} = Y_{i+1/2i-1} \begin{pmatrix} U_{0/i} \\ U_{i+1/2i-1} \\ Y_{0/i} \end{pmatrix} \quad (10.2)$$

cu U și Y matrici bloc de intrări și ieșiri observate experimental între momentele scrise ca indici.

Pasul 2. Determinarea descompunerii prin valori singulare

$$\begin{pmatrix} L_i^1 \cdot L_i^3 \\ Y_{0/i-1} \end{pmatrix} \begin{pmatrix} U_{0/i-1} \\ Y_{0/i-1} \end{pmatrix} = (U_1 \cdot U_2) \begin{pmatrix} \Sigma_1 & 0 \\ 0 & 0 \end{pmatrix} V^T \quad (10.3)$$

Ordinul sistemului este egal cu numărul de valori singulare nenule

$$\Gamma_i = U_1 \Sigma_1^{1/2} \text{ și } \Gamma_{i-1} = U_1 \Sigma_1^{1/2} \quad (10.4)$$

Pasul 3. Determinarea soluției prin metoda celor mai mici pătrate (cu ρ_1 și ρ_2 reziduale)

$$\begin{matrix} j & n & mi & j & j \\ n & \Gamma_{i-1}^p Z_{i+1} = n & K_{11} & K_{12} & n \cdot \Gamma_i^p Z_i & +n \cdot n & \rho_1 \\ l & Y_{i/i} & l & K_{21} & K_{22} & mi & U_{i/2i-1} & 1 & l & \rho_2 \end{matrix} \quad (10.5)$$

Pasul 4. Obținerea matricilor sistemului succesiv, astfel:

4.1. În prima etapă $A \leftarrow K_{11}$ și $C \leftarrow K_{12}$

4.2. Se obțin B și D care rezultă din A , C , K_{12} și K_{22} prin rezolvarea unui sistem de ecuații liniare.

$$4.3. \text{ analog, } \begin{pmatrix} Q^S & S^S \\ (S^S)^T & R^S \end{pmatrix} \leftarrow \frac{1}{j} \begin{pmatrix} \rho_1 \rho_1^T & \rho_1 \rho_2^T \\ \rho_2 \rho_1^T & \rho_2 \rho_2^T \end{pmatrix}$$

Subsistemul determinist este identificat exact pe măsură ce $j \rightarrow \infty$, independent de numărul i .

Aproximarea subsistemului stochastic depinde de i și converge pe măsură ce $i \rightarrow \infty$.

Tot acest algoritm aparent complicat este implementat în funcția **MATLAB** cu numele *n4sid*, sub forma simplă

$$TH=N4SID(Z)$$

sau mai complicată

$$[TH,AO]=N4SID(Z,ORDER,NY,AUXORD,DKX,MAXSIZE,TSMP)$$

În *TH* se returnează modelul cu evidențierea stării sistemului, în formatul *THETA*. Funcția nu furnizează un model al covariațiilor.

În matricea *Z* sunt plasate datele de ieșire și de intrare sub forma unor vectori coloană $[y \ u]$. Dacă sistemul are mai multe intrări (*n*) și mai multe ieșiri (*p*) atunci $Z=[y_1 \ y_2 \ \dots \ y_p \ u_1 \ u_2 \ \dots \ u_n]$.

Variabila *ORDER* specifică ordinul/ordinea posibil(e) al(e) modelului (dimensiunea vectorului de stare). Introdusă ca vector, de pildă 3:10, ea face ca funcția să genereze un grafic cu informații asupra tuturor ordinelor propuse. Prin *default* *ORDER*=1:10. Dacă variabila *ORDER* este introdusă ca 'best', se alege această valoare de *default*. *NY* este numărul de ieșiri din matricea de date; prin *default* *NY*=1.

AUXORD este un ordin auxiliar care este folosit la selectarea variabilelor de stare. Prin *default* ea este $1.2*ORDER+3$. Dacă *AUXORD* este introdus ca un vector linie atunci este reținută acea valoare care minimizează eroarea de predicție.

Variabila *DKX* este un vector care definește structura $DKX=[D,K,X]$. *D*=1 indică estimarea unui termen direct de la intrare la ieșire, *D*=0 indică postularea unei întârzieri de la intrare la ieșire. *K*=1 impune estimarea unei matrici *K*, iar *K*=0 obligă la o matrice *K* nulă. *X*=1 indică o estimare a stării inițiale a sistemului, *X*=0 indică inițierea la zero.

Pentru definirea unei structuri de întârziere a intrărilor NK , cu $NK(ku)$ întârzierea de la intrarea ku la oricare din ieșiri se pune $DKX = [D, K, X, NK]$ cu NK un vector linie de lungime egală cu numărul intrărilor. Dacă se specifică NK , atunci valoarea D este ignorată .

Prin *default*, $DKX = [0, 1, 1]$.

3. MODUL DE LUCRU

- Dacă nu este deja creat, se creează un director/folder de lucru.
- Se creează un sistem dinamic cu una sau mai multe intrări, cu una sau mai multe ieșiri. Secvența următoare, utilizată și în alte lucrări este tipică pentru generarea funcției de transfer pentru unul din canalele (1,1, de pildă) intrare-ieșire.

$$\begin{aligned} sisc11 &= tf([1 \ 2], [1 \ 2 \ 5]) \\ sisd11 &= c2d(sisc, 0.01, 'zoh') \end{aligned}$$

Ea poate fi utilizată, cu modificări de coeficienți potrivite, și la generarea altor funcții de transfer, pentru alte canale.

- Se aplică sistemului intrări, preferabil sub forma unor secvențe binare aleatoare

$$u1 = \text{sign}(\text{randn}(\text{size}(t)));$$

și se observă ieșirile. Ieșirile se "corup" cu secvențe de zgomot alb

$$\begin{aligned} sig &= 0.0001; \\ y1 &= y1 + sig * \text{randn}(\text{size}(t)); \end{aligned}$$

cu sig la alegere, cu t vectorul de momente echidistante la care se observează sistemul, sau cu secvențe de zgomot colorat. În acest din urmă caz, zgomotul alb este trecut mai întâi printr-un filtru $C(q^{-1})$.

Se constituie astfel matricea Z de date "experimentale".

- Se invocă funcția *n4sid* și se examinează rezultatele identificării pentru structuri ușor modificate și pentru erori în date (sig) de importanță mai mare sau mai mică.
- Prin utilizarea funcțiilor **MATLAB** de conversie a modelelor, când este posibil se revine la forma "funcție de transfer" și se compară cu modelul care a generat datele.
- Sunt recomandate reprezentările grafice în același spațiu ale datelor experimentale și ale răspunsurilor calculate cu modelul/modelele estimate.

LUCRAREA 11

TEHNICI DE IDENTIFICARE DINAMICĂ A PROCESELOR.

NOȚIUNI DE BAZĂ PRIVIND IDENTIFICAREA MODELELOR DINAMICE ALE PROCESELOR

1. OBIECTIVELE LUCRĂRII

Lucrarea prezintă principiile de bază ale identificării modelelor dinamice ale proceselor și principalele tipuri de algoritmi de adaptare parametrică ce intervin în metodele de identificare recursive.

2. BREVIAR TEORETIC

2.1. Metoda celor mai mici pătrate

În cadrul metodei celor mai mici pătrate (MCMMP), sistemul se consideră descris de următoarea ecuație cu diferențe

$$A(q^{-1})y(t) = B(q^{-1})u(t) + e(t) \quad (11.1)$$

unde:

$u(t)$ - mărimea de intrare;

$y(t)$ - mărimea de ieșire;

$e(t)$ - zgomotul alb de medie zero și dispersie λ^2 ;

q^{-1} - operator de întârziere.

Modelul se consideră descris de o ecuație cu diferențe care are aceeași structură cu ecuația de mai sus.

$$\bar{A}(q^{-1})y(t) = \bar{B}(q^{-1})u(t) + \varepsilon(t) \quad (11.2)$$

unde:

$u(t)$ - mărimea de intrare;

$y(t)$ - mărimea de ieșire;

$\varepsilon(t)$ - reziduul modelului;

q^{-1} - operator de întârziere;

$$\bar{A}(q^{-1}) = 1 + \bar{a}_1 q^{-1} + \dots + \bar{a}_{n\hat{a}} q^{-n\hat{a}} \quad (11.3)$$

$$\bar{B}(q^{-1}) = 1 + \bar{b}_1 q^{-1} + \dots + \bar{b}_{n\hat{b}} q^{-n\hat{b}} \quad (11.4)$$

Se fac următoarele notații:

$$\bar{\theta} = [\bar{a}_1 \dots \bar{a}_{n\hat{a}} \quad \bar{b}_1 \dots \bar{b}_{n\hat{b}}]^T \quad (11.5)$$

$$\bar{\varphi}(t) = [-y(t-1) \dots -y(t-n\hat{a}) \quad u(t-1) \dots u(t-n\hat{b})]^T \quad (11.6)$$

Cu aceste notații, mărimea de ieșire dată de model este

$$y_m(t) = \varphi^{-T}(t)\bar{\theta} + \varepsilon(t) \quad (11.7)$$

Având disponibilă structura modelului $(n\hat{a}, n\hat{b})$ se impune condiția ca media pătratică a erorii de predicție să fie minimă. Estimația celor mai mici pătrate a lui $\bar{\theta}$, bazată pe n date, este prin definiție

$$\hat{\theta} = \arg \min_{\bar{\theta}} V(\bar{\theta}), \quad (11.8)$$

unde

$$V(\bar{\theta}) = \sum_{i=1}^n [y(t) - \varphi^{-T}(t)\bar{\theta}]^2 \quad (11.9)$$

Din condiția de mai sus rezultă

$$\hat{\theta} = \left(\sum_{i=1}^N \bar{\varphi}(t) \bar{\varphi}^T(t) \right)^{-1} \sum_{i=1}^N \bar{\varphi}(t) y(t) \quad (11.10)$$

În continuare, vor fi enunțate câteva rezultate referitoare la existența inversei matricei

$$V_{\theta\theta} = \sum_{i=1}^N \bar{\varphi}(t) \bar{\varphi}^T(t), \quad (11.11)$$

și a consistenței estimatorului $\hat{\theta}$.

Problema consistenței estimatorului și a existenței inversei matricei de mai sus este strâns corelată cu persistența semnalului de intrare u . Dacă se notează

$$\theta = \left[\bar{a}_1 \dots \bar{a}_{n_a} \quad \bar{b}_1 \dots \bar{b}_{n_b} \right]^T - \text{parametrii modelului,}$$

iar cu

$$\varphi(t) = \left[-y(t-1) \dots -y(t-n_a) \quad u(t-1) \dots u(t-n_b) \right]^T - \text{vectorul care conține } \textit{istoria} \text{ procesului (intrările și ieșirile anterioare), atunci ecuația principală devine}$$

$$y(t) = \varphi^T(t) \theta + \varepsilon(t) \quad (11.12)$$

Modelul va fi descris printr-o ecuație de aceeași formă

$$y_m(t) = \bar{\varphi}^T(t) \bar{\theta} + \varepsilon(t), \quad (11.13)$$

unde

$\bar{\theta}$ - parametrii estimați, iar

$$\bar{\varphi}(t) = \left[-y(t-1) \dots -y(t-\bar{n}_a) \quad u(t-1) \dots u(t-\bar{n}_b) \right]^T \quad (11.14)$$

Estimarea parametrilor modelului ($\bar{\theta}$) presupune în primul rând stabilirea \bar{n}_a , \bar{n}_b și apoi determinare vectorului θ pe baza datelor de intrare și ieșire.

De fapt, esența metodei constă în a presupune faptul că modelul este determinist

$$y_m(t) = \bar{\varphi}^T(t) \bar{\theta}, \quad (11.15)$$

situație în care $\hat{\theta}$ se calculează impunându-se următoarea condiție

$$\hat{\theta} = \arg \min_{\bar{\theta}} \frac{1}{N} \sum_{t=1}^N (y(t) - y_m(t))^2 = \arg \min_{\bar{\theta}} \frac{1}{N} \sum_{t=1}^N \left(y(t) - \bar{\varphi}^T(t) \bar{\theta} \right)^2 \quad (11.16)$$

Expresia explicită a lui $\hat{\theta}$ se obține din condiția de anulare a gradientului funcției criteriu

$$\begin{aligned} V_{\bar{\theta}}(\hat{\theta}) = 0, \quad \frac{\partial V}{\partial \bar{\theta}} \Big|_{\bar{\theta}=\hat{\theta}} = -2 \frac{1}{N} \sum_{t=1}^N \bar{\varphi}(t) \left(y(t) - \bar{\varphi}^T(t) \hat{\theta} \right)^2 = 0 \Rightarrow \\ \sum_{t=1}^N \bar{\varphi}(t) y(t) = \sum_{t=1}^N \bar{\varphi}(t) \bar{\varphi}^T(t) \hat{\theta} \Rightarrow \\ \hat{\theta} = \left[\sum_{t=1}^N \bar{\varphi}(t) \bar{\varphi}^T(t) \right]^{-1} \sum_{t=1}^N \bar{\varphi}(t) y(t) \end{aligned} \quad (11.17)$$

Dacă se notează cu

$$Y = [y(1) \dots y(N)]^T, \quad \Phi^T = [\bar{\varphi}(1) \dots \bar{\varphi}(N)], \quad (11.18)$$

atunci se obține

$$\Phi^T \Phi = \sum_{t=1}^N \bar{\varphi}(t) \bar{\varphi}^T(t), \quad (11.19)$$

$$\Phi^T Y = [\bar{\varphi}(1) \dots \bar{\varphi}(N)] \begin{bmatrix} y(1) \\ \vdots \\ y(N) \end{bmatrix} = \sum_{t=1}^N \bar{\varphi}(t) y(t), \quad (11.20)$$

$$Y = \Phi \theta + \varepsilon. \quad (11.21)$$

Cu aceste notații estimatorul se poate scrie sub forma următoare

$$\hat{\theta} = [\Phi^T \Phi]^{-1} \Phi^T Y \quad (11.22)$$

Estimatorul dat prin relația de mai sus reprezintă *estimatorul celor mai mici pătrate* care s-a obținut pe baza datelor de intrare $u(1), \dots, u(N)$ și a celor de ieșire $y(1), \dots, y(N)$.

2.2. Metoda variabilei instrumentale

Metoda variabilei instrumentale poate fi privită ca o generalizare a metodei celor mai mici pătrate care furnizează numai partea deterministă a modelului.

Fie sistemul descris de următoarea ecuație cu diferențe

$$A(q^{-1})y(t) = B(q^{-1})u(t) + \varepsilon(t), \quad (11.23)$$

sau de ecuația

$$y(t) = \varphi^T(t) \cdot \theta + \varepsilon(t) \quad (11.24)$$

unde s-a notat cu

$$\varphi(t) = [-y(t-1) \dots -y(t-n_{na}) \quad u(t-1) \dots u(t-n_{nb})]^T$$

$$\theta = [a_1 \dots a_{na} \quad b_1 \dots b_{nb}]^T. \quad (11.25)$$

Estimația se poate obține și euristic înmulțindu-se relația (11.25) la stânga cu $\varphi(t)$

$$\varphi(t) \cdot y(t) = \varphi(t) \cdot \varphi^T(t) \cdot \theta + \varphi(t) \cdot \varepsilon(t)$$

$$\sum_{t=1}^N \varphi(t) \cdot y(t) = \sum_{t=1}^N \varphi(t) \cdot \varphi^T(t) \cdot \theta + \sum_{t=1}^N \varphi(t) \cdot \varepsilon(t) \quad (11.26)$$

$$\hat{\theta} = \left[\sum_{t=1}^N \varphi(t) \cdot \varphi^T(t) \right]^{-1} \cdot \sum_{t=1}^N \varphi(t) \cdot y(t)$$

În această relație s-a neglijat termenul

$$\left[\sum_{t=1}^N \varphi(t) \cdot \varphi^T(t) \right]^{-1} \cdot \sum_{t=1}^N \varphi(t) \cdot \varepsilon(t) \quad (11.27)$$

Dacă φ și ε sunt necorelate, atunci termenul de mai sus care s-a neglijat în relația respectivă este ne semnificativ, ceea ce înseamnă ca y și ε respectiv u și ε sunt necorelate.

Observație

În cazul acestei estimări s-a presupus structura modelului identică cu cea a sistemului. Aspectul care intervine în analiza care urmează se referă la faptul că u și ε sunt necorelate, dar y și ε sunt corelate deoarece $y = \varphi^T \cdot \theta + \varepsilon$, deci ε se adaugă la ieșire. Pornind de la această constatare se înmulțește relația care descrie sistemul (a doua din 11.26) cu $z(t)$ format numai din valori ale lui $u(t)$, situație în care $\sum_{t=1}^N z(t) \cdot \varepsilon(t)$ se poate neglija deoarece $u(t)$ și $\varepsilon(t)$ sunt necorelate.

Cu aceste observații relația devine

$$\sum_{t=1}^N z(t) \cdot \varepsilon(t) = \left(\sum_{t=1}^N z(t) \cdot \varphi^T(t) \right) \hat{\theta} \quad (11.28)$$

unde $\hat{\theta}$ se numește **estimație de variabilă instrumentală**, iar $z(t)$ este **vector de variabilă instrumentală** care nu are o semnificație fizică, constituind doar un instrument de lucru.

Dacă se consideră $\dim(z) = \dim(\theta) = n_a + n_b = n_\theta$, atunci

$$\hat{\theta} = \left(\sum_{t=1}^N z(t) \cdot \varphi^T(t) \right)^{-1} \sum_{t=1}^N z(t) \cdot y(t) \quad (11.29)$$

În relația anterioară s-a considerat faptul că există inversa matricei

$$\left(\sum_{t=1}^N z(t) \cdot \varphi^T(t) \right) \quad (11.30)$$

Un vector variabilă instrumentală frecvent utilizat în conjuncție cu relația precedentă este și vectorul următor

$$z(t) = F(q^{-1}) \cdot [u(t-1) \dots u(t-n_\theta)]^T \quad (11.31)$$

unde $F(q^{-1})$ este un filtru stabil.

Dacă nu există informații despre sistem, atunci se consideră $F(q^{-1})=1$. Dacă sunt disponibile informații (de exemplu se cunosc estimațiile inițiale \tilde{A} , \tilde{B} pentru polinoamele A și B), atunci se poate alege

$$F(q^{-1}) = 1/\tilde{A}(q^{-1}) \quad (11.32)$$

Introducerea lui $F(q^{-1})$ are o mare importanță în ceea ce privește precizia și stabilitatea numerică a algoritmului de identificare.

O transformare liniară a vectorului $z(t)$ nu afectează estimația. Pentru a demonstra această afirmație se consideră următoarea transformare liniară și nesingulară a lui $z(t)$

$$\tilde{z}(t) = S \cdot z(t) \quad (11.33)$$

unde S este o matrice de dimensiune $(n_\theta \times n_\theta)$.

Utilizându-se transformarea de mai sus, relația lui $\hat{\theta}$ devine

$$\begin{aligned}\tilde{\theta} &= \left(\sum_{t=1}^N \tilde{z}(t) \cdot \varphi^T(t) \right)^{-1} \sum_{t=1}^N \tilde{z}(t) \cdot y(t) = \left(S \cdot \sum_{t=1}^N z(t) \cdot \varphi^T(t) \right)^{-1} \left(S \cdot \sum_{t=1}^N z(t) \cdot y(t) \right) = \\ &= \left(\sum_{t=1}^N z(t) \cdot \varphi^T(t) \right)^{-1} \left(\sum_{t=1}^N z(t) \cdot y(t) \right) = \hat{\theta}\end{aligned}\quad (11.34)$$

ceea ce justifică faptul că transformarea respectivă nu afectează estimăția.

Pentru a pune în evidență anumite aspecte ale estimatorului de variabilă instrumentală se consideră transformarea următoare

$$\tilde{z}(t) = S \cdot z(t) = \begin{bmatrix} -\frac{\tilde{B}(q^{-1})}{\tilde{A}(q^{-1})}u(t-1) \\ \vdots \\ \vdots \\ -\frac{\tilde{B}(q^{-1})}{\tilde{A}(q^{-1})}u(t-n_a) \\ u(t-1) \\ \vdots \\ \vdots \\ u(t-n_b) \end{bmatrix} = \begin{bmatrix} -\tilde{y}(t-1) \\ \vdots \\ \vdots \\ -\tilde{y}(t-n_a) \\ u(t-1) \\ \vdots \\ \vdots \\ u(t-n_b) \end{bmatrix} = \begin{bmatrix} -\tilde{z}(t-1) \\ \vdots \\ \vdots \\ -\tilde{z}(t-n_b) \\ u(t-1) \\ \vdots \\ \vdots \\ u(t-n_b) \end{bmatrix}.$$

(11.35)

În relația de mai sus s-a considerat $\tilde{A}(q^{-1})\tilde{y}(t) = \tilde{B}(q^{-1})u(t) + \tilde{\varepsilon}(t)$, unde s-a neglijat reziduul aleator $\tilde{\varepsilon}(t)$, iar $\tilde{A}(q^{-1})$ și $\tilde{B}(q^{-1})$ reprezintă estimății inițiale (aproximative) ale părții deterministe a modelului.

Se poate arăta faptul că dacă $\tilde{A}(q^{-1})$ și $\tilde{B}(q^{-1})$ sunt prime, atunci mărimea S este nesingulară. Utilizându-se transformarea de mai sus se

poate afirma că pentru aproximații bune a părții deterministe ($\tilde{A}; \tilde{B} \cong A; B$) și pentru un N suficient de mare are loc următoarea relație

$$\sum_{t=1}^N \tilde{z}(t) \cdot \varphi^T(t) \cong \sum_{t=1}^N \tilde{z}(t) \cdot \tilde{z}^T(t) \quad (11.36)$$

deci matricea care se inversează tinde, pe măsură ce estimațiilor \tilde{A} , \tilde{B} se corectează, la o matrice simetrică, pozitiv definită și mai bine condiționată decât o matrice nesimetrică și indefinită. În acest caz estimatorul variabilă instrumentală obținut este mai precis, ceea ce justifică calculele efectuate cu transformarea $\tilde{z}(t) = S \cdot z(t)$.

O problemă care se analizează în cele ce urmează este și consistența estimatorului de variabilă instrumentală. Se consideră sistemul stochastic monovariabil (S) definit prin ecuația următoare

$$A(q^{-1})y(t) = B(q^{-1})u(t) + v(t) \quad (11.37)$$

iar modelul descris prin ecuația

$$\bar{A}(q^{-1})y(t) = \bar{B}(q^{-1})u(t) + \bar{v}(t) \quad (11.38)$$

unde

$$v(t) = H(q^{-1})e(t), \quad \bar{v}(t) = \bar{H}(q^{-1})\varepsilon(t),$$

$e(t)$ - zgomot alb,

$\varepsilon(t)$ - reziduurile modelului.

După cum se știe $H(q^{-1})$ și $\bar{H}(q^{-1})$ reprezintă modelul zgomotului, iar în cele ce urmează se consideră de forma următoare

$$H(q^{-1}) = 1 + c_1 q^{-1} + \dots + c_{nc} q^{-nc} \quad (11.39)$$

$$\bar{H}(q^{-1}) = 1 + \bar{c}_1 q^{-1} + \dots + \bar{c}_{nc} q^{-nc} \quad (11.40)$$

Se definește vectorul variabilă instrumentală de forma

$$z(t) = \left[-y(t-1-\hat{n}_c) \dots -y(t-n_c-\hat{n}_c) \quad u(t-1) \dots u(t-\hat{n}_b) \right]^T \quad (11.41)$$

În aceste condiții estimăția $\hat{\theta}$ este dată de relația următoare

$$\hat{\theta} = \theta + \left[\frac{1}{N} \sum_{t=1}^N z(t) \cdot \varphi^T(t) \right]^{-1} \cdot \left(\sum_{t=1}^N z(t) \cdot v(t) \right) \quad (11.42)$$

Termenul $\sum_{t=1}^N z(t) \cdot v(t) \rightarrow 0$ din relația anterioară tinde la zero dacă N tinde la infinit, deoarece $z(t)$ nu mai este corelat cu $v(t)$. Aceasta se justifică prin faptul că $v(t)$ conține eșantioane până la momentul $(t-\hat{n}_c)$, iar $z(t)$ conține eșantioanele $-y(t-1-\hat{n}_c) \dots -y(t-n_c-\hat{n}_c)$ care nu mai sunt corelate cu $\left\{ \varepsilon(t-i)_{i=1, n_c} \right\}$.

În cele ce urmează se face următoarea notație

$$\tilde{n} = \min(\hat{n}_a - n_a, \hat{n}_b - n_b, \hat{n}_c - n_c) \quad (11.43)$$

necesară estimării teoremei de mai jos.

În continuare este prezentat algoritmul metodei variabilei instrumentale pentru cazul când vectorul \tilde{z} este de forma

$$\begin{aligned} \tilde{z} &= \left[\tilde{z}(t-1) \dots \tilde{z}(t-\bar{n}_a) \quad \tilde{z}(t-\bar{n}_a-1) \dots \tilde{z}(t-\bar{n}_a-\bar{n}_b) \right]^T = \\ &= \left[\tilde{z}(t-1) \dots \tilde{z}(t-\bar{n}_a) \quad u(t-1) \dots u(t-\bar{n}_b) \right]^T \end{aligned} \quad (11.44)$$

unde

$$\tilde{z}(t-i) = \frac{\tilde{B}(q^{-1})}{\tilde{A}(q^{-1})} \cdot u(t-1) \quad i = \overline{1, \hat{n}_a} \quad (11.45)$$

Înregistrările obținute de la proces se presupun cunoscute și se notează cu $\{u(t), y(t)\}_{t=\overline{1, N}}$.

Algoritmul metodei de variabilă instrumentală

Pas 1: Se determină \hat{A}° și \tilde{B}° utilizând metoda celor mai mici pătrate.

Pas 2: Se inițializează contorul $i = 1$

Pas 3: Se determină estimăția de variabilă instrumentală

$$\hat{\theta}^i = \left(\sum_{t=1}^N \tilde{z}(t) \cdot \varphi^T(t) \right)^{-1} \cdot \sum_{t=1}^N \tilde{z}(t) \cdot y(t) \quad (11.46)$$

unde

$$\hat{\theta}^i = \left[\hat{a}_1^i \dots \hat{a}_{n_a}^i \quad \hat{b}_1^i \dots \hat{b}_{n_b}^i \right]^T \quad (11.47)$$

$$\tilde{z}^i = \left[-\frac{\hat{B}^{i-1}(q^{-1})}{\hat{A}^{i-1}(q^{-1})} \cdot u(t-1) \dots -\frac{\hat{B}^{i-1}(q^{-1})}{\hat{A}^{i-1}(q^{-1})} \cdot u(t-\hat{n}_a) \quad u(t-1) \dots u(t-\hat{n}_b) \right]^T \quad (11.48)$$

$$\varphi(t) = \left[-y(t-1) \dots -y(t-\hat{n}_a) \quad u(t-1) \dots u(t-\hat{n}_b) \right]^T \quad (11.49)$$

iar \hat{B}^{i-1} , \hat{A}^{i-1} reprezintă estimățiile obținute pentru valoarea contorului egală cu $(i-1)$.

Pas 4: Se incrementează contorul $i = i + 1$;

Pas 5: Dacă $M \left[z(t) \cdot v(t) \right] \leq \varepsilon_{impuls}$, atunci – STOP, altfel – continuă;

Pas 6: Dacă $i < M_{impuls}$ atunci – salt la Pas3, altfel STOP.

După cum se observă algoritmul se oprește dacă este îndeplinită una din următoarele condiții de STOP:

- $M \left[z(t) \cdot v(t) \right] \leq \varepsilon_{impuls}$, ceea ce înseamnă că vectorul estimatelor $\hat{\theta}$ s-a obținut cu o precizie bună;
- $i < M_{impuls}$ ceea ce înseamnă că după parcurgerea a unui număr M_{impuls} de iterații nu s-a îndeplinit criteriul anterior.

3. Modul de lucru

- Dacă nu este deja creat, se creează un director/folder de lucru.;
- Se activează platforma de lucru **MATLAB**;
- Se consideră modelul descris de următoarea ecuație cu diferențe

$$y(t) - 1.5y(t-1) + 0.7y(t-2) = u(t-1) + 0.5u(t-2) + e(t)$$

- Se elaborează programul care implementează etapa de estimare din cadrul algoritmului MCMMP;
- Se elaborează programul care implementează algoritmul metodei variabilei instrumentale;
- Se analizează comparativ rezultatele obținute în urma aplicării celor două metode de identificare.

LUCRAREA 12

IDENTIFICAREA EXPERIMENTALĂ A UNUI SISTEM ALCĂTUIT DIN DOUĂ VASE ÎN CASCADĂ

1. OBIECTIVELE LUCRĂRII

Determinarea unui model matematic pe baza unor date experimentale obținute de la un sistem dinamic. Se au în vedere următoarele metode de identificare: *metoda celor mai mici pătrate liniare și neliniare, metoda verosimilității maxime și metodele recursive.*

2. BREVIAR TEORETIC

Modelul matematic dinamic al procesului de acumulare într-un vas.

Pentru oricare din vasele din figura 12.1, în regim staționar este valabilă relația

$$Q_i = Q_e \quad (12.1)$$

unde Q_i și Q_e sunt debitele lichidului la intrarea, respectiv la ieșirea din vas. Este evident că în acest caz nivelul din vas este constant, H .

Pentru cazul în care $Q_i \neq Q_e$, are loc un proces de acumulare a lichidului în vas, iar zestia de lichid a acestuia variază în timp, astfel încât se poate scrie succesiv:

$$\text{Acumulare} = \text{Intrare} - \text{Iesire}$$

$$A \Delta H = Q_i \Delta t - Q_e \Delta t$$

$$A \frac{dH}{dt} = Q_i - Q_e$$

(12.2)

unde A este aria transversală a vasului.

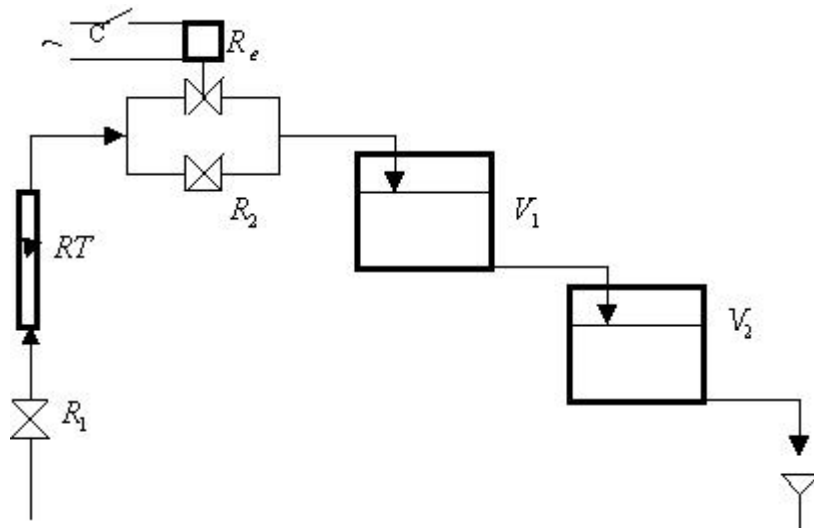


Fig.12.1. Schema instalației experimentale alcătuită din două vase în cascadă

R_1 - rotametrul, R_e - robinet cu servomotor electromagnetic, V_1, V_2 - vase de acumulare ; C - contact.

Deoarece scurgerea din vas este liberă, debitul Q_e se poate exprima cu ajutorul relației

$$Q_e = \alpha A_r \sqrt{2gH}$$

(12.3)

unde A_r este aria secțiunii minime de trecere prin robinetul instalat pe calea de evacuare a lichidului, α - un coeficient de debit, g - accelerația gravitației. Rezultă ecuația

$$A \frac{dH}{dt} = Q_i - \alpha A_r \sqrt{2gH}$$

(12.4)

care în regim staționar are partea stângă nulă și în care atât înălțimea H cât și debitul Q_i se înlocuiesc cu valorile staționare H_0 și Q_{i0} . Dezvoltând funcția \sqrt{H} în serie Taylor în jurul punctului $H = H_0$ și reținând numai primii doi termeni ai dezvoltării rezultă

$$\sqrt{H} \approx \sqrt{H_0} + \frac{1}{2\sqrt{H_0}}(H - H_0) = \sqrt{H_0} + \frac{1}{2\sqrt{H_0}}\Delta H \quad (12.5)$$

Prin înlocuire în ecuația diferențială de mai sus se obține

$$\frac{d\Delta H}{dt} = a\Delta H + b\Delta Q_i \quad (12.6)$$

În relațiile ultime s-au notat $\Delta H = H - H_0$, $\Delta Q_i = Q_i - Q_{i0}$ abaterile respectivelor mărimi de la valorile care corespund regimului staționar și

$$a = -\frac{\alpha A_r \sqrt{2g}}{2A\sqrt{H_0}}, \quad b = \frac{1}{A} \quad (12.7)$$

Ecuația diferențială în abateri de la regimul staționar este varianta liniarizată a ecuației diferențiale generale scrise mai devreme, care este neliniară. Varianta ultimă este valabilă numai în apropierea punctului staționar reprezentat de H_0 și Q_{i0} .

Modelul matematic dinamic pentru două vase în cascadă

Pentru vasul al doilea din figura 12.1 se poate scrie, de asemenea, ecuația diferențială generală

$$A \frac{dH}{dt} = Q_i - Q_e \quad (12.8)$$

și pentru individualizarea cazurilor mărimile pot primi un indice suplimentar, 1 sau 2, întocmai cum volumele celor două vase sunt notate în figură cu V_1 și V_2 .

Desigur, $Q_{e1} = Q_{i2}$.

Intrucât scurgerea din vasul al doilea este, de asemenea, liberă, ecuația pentru vasul al doilea este

$$A_2 \frac{dH_2}{dt} = \alpha_1 A_{r1} \sqrt{2gH_1} - \alpha_2 A_{r2} \sqrt{2gH_2} \quad (12.9)$$

și este o ecuație neliniară. Un procedeu similar de exprimare liniară a radicalilor în jurul unor valori de regim staționar H_{10} și H_{20} conduce la o ecuație diferențială liniară în ΔH_2 în care apare și ΔH_1

$$\frac{d\Delta H_2}{dt} = c\Delta H_1 + e\Delta H_2 \quad (12.10)$$

cu coeficienții c și e care se pot exprima în funcție de geometria vaselor V_1 și V_2 și de secțiunile de trecere minime ale căilor de evacuare a lichidului din fiecare vas

$$c = \frac{\alpha_1 A_{r1} \sqrt{2g}}{2A_2 \sqrt{H_{10}}}, \quad e = -\frac{\alpha_2 A_{r2} \sqrt{2g}}{2A_2 \sqrt{H_{20}}} \quad (12.11)$$

Modelul liniarizat al ansamblului celor două vase este, așadar,

$$\begin{aligned} \frac{d\Delta H_1}{dt} &= a\Delta H_1 + b\Delta Q_1 \\ \frac{d\Delta H_2}{dt} &= c\Delta H_1 + e\Delta H_2 \end{aligned} \quad (12.12)$$

cu coeficienții a și b adaptați corespunzător vasului V_1 .

În cazul în care evacuarea lichidului din oricare din vase se face prin conducte lungi, atunci modelul matematic al vaselor se modifică. Sistemul își modifică ordinul deoarece pentru fiecare vas se mai adaugă o ecuație

$$\frac{dQ_e}{dt} = \frac{\pi d^2}{4\rho l} \left(\rho g H - \frac{8f\rho l Q_e |Q_e|}{\pi^2 d^5} \right) \quad (12.13)$$

care exprimă faptul că masa de lichid din conductă are o dinamică proprie de mișcare sub combinația de forțe reprezentată de presiunile diferite de la capetele conductei și de frecarea vâscoasă a lichidului de el însuși. Factorul de frecare între straturi adiacente de lichid în mișcare f este adimensional. Conducta de evacuare are diametrul d și lungimea l . Ecuația este de luat în considerare ori de câte ori termenul al doilea din paranteză este important comparativ cu primul termen. O valoare a factorului de frecare pentru apă, care corespunde vâscozității ei la temperaturi ambiante uzuale, este $f = 2,509 \cdot 10^{-1}$.

Primul din cele două vase din instalația experimentală este un sistem dinamic de ordinul întâi. Modelul matematic în varianta lui liniarizată conduce prin integrarea ecuației diferențiale-model la următorul răspuns la saltul treaptă în debitul Q_{1i} care alimentează vasul

$$\Delta h_1(t) = A(1 - e^{-Bt}) \quad (12.14)$$

Sistemul de două vase considerat liniar este de ordinul al doilea. Variația cotei în vasul prim rămâne aceeași ca în expresia de mai sus. Variația cotei în vasul al doilea are expresia generală

$$\Delta h_2(t) = D[1 - E e^{-Bt} + (E - 1)e^{-Ct}] \quad (12.15)$$

cu E dependent de B și C , respectiv $E = -C/(B - C)$, ceea ce aduce expresia ultimă la forma

$$\Delta h_2(t) = D\left[1 + \frac{C}{B - C}e^{-Bt} - \frac{B}{B - C}e^{-Ct}\right] \quad (12.16)$$

Ambele expresii se referă la răspunsul sistemului la aplicarea unei modificări treaptă a debitului de lichid Q_{1i} care alimentează primul vas.

Metoda celor mai mici pătrate liniare este utilizată ca metodă de estimare a parametrilor atunci când modelul este liniar sau poate fi liniarizat în raport cu parametrii săi. Se disting două variante ale acestei metode: fără ponderi sau cu ponderi. În ambele variante se caută valorile parametrilor modelului când se cunosc rezultatele observării experimentale a uneia sau mai multor variabile dependente

(ieșiri), în condiții de bună stăpânire a variabilelor independente (intrări) ale sistemului modelat. Acest lucru semnifică faptul că variabilele independente sunt măsurate/modificate/menținute cu o precizie net mai bună decât cele dependente, astfel încât valorile primelor se pot considera cunoscute aproape exact, pe când valorile celor din urmă sunt afectate de erori care nu pot fi trecute cu vederea. În cazul în care erorile de observare a variabilei (variabilelor) dependente sunt aceleași pe tot domeniul lor de valori, se aplică metoda celor mai mici pătrate fără ponderi, ceea ce rezidă în rezolvarea sistemului de ecuații care rezultă din condițiile de minim al sumei de pătrate

$$S = \sum_{k=1}^N (y_{ok} - y_{ck})^2 = (y_o - y_c)^T (y_o - y_c) \quad (12.17)$$

exprimată și ca o sumă de termeni reprezentând diferențele experiment-model pentru fiecare $k = 1, 2, \dots, N$ din cele N observații/experiențe, dar și în funcție de vectorii observațiilor y_o și valorilor calculate din model y_c .

Dacă erorile care afectează ieșirile sunt diferite pe întinderea domeniului de valori, se aplică metoda celor mai mici pătrate ponderate, adică se rezolvă sistemul de ecuații care rezultă din condițiile de minim al sumei de pătrate

$$S = \sum_{k=1}^N q_k (y_{ok} - y_{ck})^2 = (y_o - y_c)^T Q (y_o - y_c) \quad (12.18)$$

cu ponderile q_k ($k = 1, 2, \dots, N$) conținute explicit în suma de pătrate sau în matricea diagonală Q . Ponderile sunt de obicei invers proporționale cu erorile medii pătratice sau cu dispersiile observațiilor în punctele de indice k . În ambele cazuri minimizarea sumei S dependentă pătratic de parametrii modelului se reduce la a rezolva un sistem normal de ecuații liniare cu necunoscutele tocmai parametrii de estimat.

Metoda celor mai mici pătrate neliniare este analogă celei liniare: aceleași sume de pătrate trebuie minimizate, de la caz la caz cu sau fără ponderi (cu ponderi egale). Suma pătratelor este însă o funcție mai complicată de parametrii de estimat și minimizarea ei necesită

utilizarea unor metode speciale, de pildă metodele de gradient sau alte metode încă mai rafinate.

Metoda verosimilității maxime se utilizează atunci când erorile de măsurare/menținere a variabilelor independente nu mai sunt nici ele atât de lipsite de importanță. Valorile parametrilor maximum verosimile sunt acelea care fac maximă o probabilitate combinată a diferențelor model-experiment.

Metodele recursive au la bază metodele de mai sus, dar și altele, caracteristic fiindu-le utilizarea datelor experimentale pe măsura observării lor. Așadar, ele pot fi utilizate “on-line” pentru estimarea parametrilor modelului asociat unui sistem dinamic dat. Aspectele teoretice ale estimării de parametri recursive au fost date, cel puțin pentru metoda celor mai mici pătrate recomandată a se aplica în lucrarea prezentă, la cursul de *Identificarea sistemelor*.

Prin utilizarea metodelor de estimare enumerate în secțiunea precedentă se vor realiza programe de calcul pentru estimarea din datele experimentale la dispoziție a parametrilor A , B , C și D .

Pentru **metoda verosimilității maxime** se presupune că eroarea medie pătratică de citire a timpului este de 1.5 secunde.

Metoda celor mai mici pătrate se aplică aici în varianta neliniară. Intr-adevăr, suma pătratelor abaterilor pentru sistemul de ordinul unu reprezentat de primul vas este

$$s_1(A, B) = \sum_{i=1}^N [\Delta h_{1oi}(t) - A(1 - e^{-Bt_i})]^2 \quad (12.19)$$

fiind o funcție neliniară de parametrii A și B . La fel, pentru nivelul observat și calculat la diferite momente în vasul al doilea suma pătratelor diferențelor

$$s_2(B, C, D) = \sum_{i=1}^N [\Delta h_{2oi}(t) - D(1 + \frac{C}{B-C}e^{-Bt_i} - \frac{B}{B-C}e^{-Ct_i})]^2 \quad (12.20)$$

este o funcție neliniară în parametri de estimat B , C și D . Cele două funcții sunt măsuri ale distanței model-experiment și trebuie minimizate prin stabilirea celor mai potrivite valori ale parametrilor A , B , C și D . Minimizarea funcțiilor obiectiv, cele de mai sus sau altele, se poate obține pe căi diverse.

Metodele de gradient au în vedere vectorul derivatelor parțiale ale funcției de minimizat numit și gradientul funcției. Evaluarea gradientului într-un punct permite stabilirea direcției în care funcția scade/crește cel mai rapid. O modificare a variabilelor, în cazul de față a parametrilor de estimat, proporțională cu valorile derivatelor parțiale, asigură deplasarea pe direcția gradientului. Variații de semn contrar pe fiecare direcție componentă a gradientului, nu foarte importante, fac ca funcția să scadă. Evaluări repetate ale gradientului și deplasarea în spațiul explorat pe direcția vectorului gradient conduc în cele din urmă la stabilirea coordonatelor unui extrem (minim). Acesta poate fi în cazul general al funcțiilor cu mai multe extreme un extrem local. Localizarea extremului “cel mai extrem” poate fi uneori problematică. Reluarea calculelor cu un alt punct de pornire oferă o șansă de a atinge un alt minim, care poate fi „cel mai minim” între minimele funcției. Sub aspectul rapidității cu care este localizat un extrem, metodele de gradient pot fi uneori lente. De aceea s-au pus la punct variante ale metodelor de gradient, care fac căutarea eficientă pe categorii de funcții.

Programul recomandat, *est.pas*, face estimarea de parametri în etape. Mai întâi produce valori pentru parametrii sistemului de ordinul unu constituit de primul din cele două vase în cascadă. Apoi face același lucru pentru sistemul în ansamblu, menținând valorile pentru primul vas constante, așa cum au fost stabilite în prima etapă. Aici se mizează pe relativa independență a vasului prim de cel de al doilea, ceea ce este în bună măsură corect. În general, estimarea de parametri trebuie făcută concomitent prin minimizarea sumei celor două funcții obiectiv tratate aici separat.

Programul propus utilizează metoda celor mai mici pătrate (neliniare) și metoda verosimilității maxime. În cazul din urmă pentru primul vas este obținută și o elipsă de încredere, echivalentă intervalului de încredere din cazul unidimensional, elipsă care conține

în interiorul ei toate perechile de valori ale parametrilor la fel de bune sub aspect statistic ca și valorile centrale, utilizabile așadar în egală măsură în modelul dinamic al sistemului. Nu s-a recurs la calculul similar pentru sistemul incluzând al doilea vas deoarece în etapa a doua a calculului sunt estimați concomitent trei parametri și reprezentările grafice sunt mai dificile. Este sugerată completarea programului cu reprezentarea tridimensională a elipsoidului de încredere pentru parametrii estimați. Când datele sunt recoltate în timp real, sunt preferate metodele recursive de estimare a parametrilor. Pe aceleași date experimentale, programul *rec.pas* execută operația de estimare a parametrilor în manieră recursivă. Se admite că sistemul de vase în cascadă este discret sau, mai corect, este descris de un model matematic de tip discret.

3. MODUL DE LUCRU

Determinarea modelului matematic se bazează pe datele experimentale referitoare la evoluția în timp a cotelor lichidului în cele două vase în cascadă .

Se studiază răspunsul sistemului din figura 12.1 pentru un semnal treaptă aplicat debitului de alimentare a primului vas Q_{i1} .

Desfășurarea experimentului se realizează după cum urmează:

1. Se aduce procesul într-un regim staționar caracterizat prin constanța funcțiilor de timp $Q_{i1}(t)$, $H_1(t)$, $H_2(t)$. Un punct staționar convenabil este $Q_{i1}(t)=50$ l/oră, $H_1(t)=75$ mm, $H_2(t)=80$ mm. Obținerea acestor valori se realizează prin manevrarea robinetelor instalației, cu robinetul de acționare electromagnetică R_e închis.

2. Prin intermediul robinetelor R_e sau R_2 se dă o variație treaptă debitului Q_{i1} . Se recomandă o treaptă pozitivă astfel încât Q_{i1} să ajungă la 70-80 l/oră. Se notează evoluția în timp a nivelurilor H_1 și H_2 pe indicatoarele de nivel atașate vaselor. Aceste date vor fi trecute într-un tabel – tabelul 12.1- urmând apoi a fi introduse într-un fișier de date, *expe.dat*.

Tabelul 12.1

$t (s)$	Δh_1	Δh_2

În tabel timpul este marcat cu t , iar cotele în cele două vase sunt notate cu $\Delta h_1, \Delta h_2$.

Este foarte important ca pe durata regimului tranzitoriu valoarea debitului Q_{i1} să nu se modifice. În acest scop, va fi observat permanent debitul indicat de rotometrul instalației. Micile variații se recomandă a fi eliminate prin acționarea robinetului R_1 .

3. Pentru determinarea constantelor de timp, se trasează graficele funcțiilor $H_1(t)$ și $H_2(t)$.

Identificarea sistemului propus prin determinarea modelului matematic se va realiza prin parcurgerea următoarelor etape:

- Estimarea pe baza datelor experimentale a constantelor de timp ale sistemului cu acumulare de lichid, folosind programul ***est.pas***;
- Estimarea în manieră recursivă, pe baza datelor experimentale, a constantelor de timp ale sistemului, folosind programul ***rec.pas***;
- Compararea valorilor obținute prin aplicarea diferitelor metode de identificare ;
- Estimarea modelului matematic utilizând alte metode de identificare: metoda erorii de predicție, metoda variabilei instrumentale, cu elaborarea programelor software de calcul corespunzătoare.

program est;

```
{ Program de estimare a parametrilor }
uses CRT,graph;

const
dt=15.0;
sir:array [1..18] of string=
('E C U A T I I diferentiale exacte:',
'dV1/dt=FO-al.uVI',
'dV2/dt=al.uVI-a2.uV2',
'Regimul initial (stationar): t=0 => F0=al.uV10=a2.uV20',
'Aproximare liniart:',
'uV=u(VO+eV)=~uVO.(1+«eV)',
'E C U A T I I liniarizate:',
'deV1/dt=eF-(a I/(2.UV10)).eVI',
'deV2/dt=(al/(2.UV10)).eVI-(a2/(2.uV20)).eV2',
'S o l u t i a sistemului liniarizat:',
'eVI=A.(1-exp(-al.t)) cu al=al/(2.uV10)',
'eV2=B+C.exp(-al.t)-(B+C).exp(-a2.t) cu a2=a2/(2.uV20)',
'Sunt de estimat cinci parametri: A, B, C, al si a2',
'Date experimentale (En fisierul EXPE.DAT',

'Metoda de estimare:',

'Initializati (En PARA. DAT pe o linie A, al pe o a doua linie B, al, C, a2! )
Opt:array [1..2] of string=('Cele mai mici patrate',
                          'Verosimilitate maxima' );

type
deri=array [1..3,1..60] of double;

var
f,g:text;
gdriver.gmode,i,j,k,m,n,nit,opty,x0,yO:integer;
eps, rol, ro2, t0,x1,x2, y1,y2, yd, yc2 ,u,we: array [1..60] of double;
sd:deri;
alf,alfa,alfa0,bet,beta,betaO,gama,gamaO,delta,deltaO,dl,d2,
pas,s,sO,samare,sarnica,ualfa:double;
tt,uu,xx,yy,zz:string;
car:char;
cov:array [1..3,1..3] of double;

label
unu;

procedure axe;
begin
for i:=0 to 1 do begin
line(30,400+i,610,400+i);
line(30-i,50,30-1,400) ;
line(30-i,50,25-1,55) ;
line(30-i,50,35-i,55) ;
line(610,400+1,605,395+i) ;
line(610,400+i,605,405+i)
end;

for i:=0 to 8 do begin
line(30+70*i,400,30+70*i,397) ;
str(100*i:3,xx) ;
outtextxy(30+70*i,410,xx)
end;
outtextxy(615,410,['s']) ;
```

```

    for i:=0 to 3 do begin
        line(30,400-100*1,33,400-100*i) ;
        str(20*i:2,xx) ;
        outtextxy(15,400-100*1,xx)
    end;
end;

procedure axel;
var
    Ix,Iy / xO /yO:integer;
begin
    settextjustfyd, 1) ;
    for i:=0 to 1 do begin
        line(30,400+1,610,400+1);
        line(30-1,50,30-1,400);
        line(30-i,50,25-i,55) ;
        line(30-i,50,35-i,55) ;
        line(610,400+i,605,395+i) ;
        line(610,400+i,605,405+i)
    end;
    for i:=0 to 6 do begin
        line(30+90*1,400,30+90*1,397);
        str(85+5*1:3,xx) ;
        outtextxy(30+90*i,410,xx)
    end;
    outtextxy(615,410,'A [nm]') ;
    for i:=0 to 3 do begin
        line(30,400-100*1,33,400-100*1) ;
        str(1.3+0.1*i:3:1,xx) ;
        outtextxy(15,400-100*i,xx)
    end;
    outtextxy(60,40,'1000.al [1/s]');
end;

procedure dubluvas;
var
    alfa1,alfa2,ca0,cal,ca2,f0,kl,k2,ro0,rol,ro2,v1,v2:double;
    k11,k12,k13,k14,k21,k22,k23, k2 4 , past, t, v11, v21: double;
    l:integer;
function dery(l:integer;v1,v2:double):double;
begin
    case i of 1: dery:=2.0*beta0*xl[1]*(1.6-sqrt(1.0+v1/xl[1]))
    2: dery:=2.0*beta0*xl[1]*sqrt(1.0+v1/xl[1])
    -2.0*delta0*x2[1]*sqrt(1.0+v2/x2[1]) ;
    end;
end;
begin
    past:=15;
    v11:=0.0;
    v21:=0.0;
    t:=0.0;
    i:=0;
    repeat
        t:=t+past;
        i:=i+1;
        xO:=30+round(4*t) ;

```

```

v1:=v11;v2:=v21;
k11 =past*dery(1,v1,v2) ;
k21 =past*dery(2,v1,v2);
k12 =past*dery(1,v1+k11/2.0,v2+k21/2.0) ;
k22 =past*dery(2,v1+k11/2.0,v2+k21/2.0) ;
k13 =past*dery(1,v1+k12/2.0,v2+k22/2.0) ;
k23 =past*dery(2,v1+k12/2.0,v2+k22/2.0) ;
k14 =past*dery(1,v1+k13,v2+k23) ;
k24 =past*dery(2,v1+k13,v2+k23) ;
v11 =v1+(k11+2.0*k12+2.0*k13+k14)/6.0;
v21 =v2+(k21+2.0*k22+2.0*k23+k24)/6.0 ;
ycl[i]:=v1;yc2[i]:=v21;
until t>780;
end;

procedure s1(var s:double;var sd:deri;m:integer) ;
var
a:double;
begin
  3:=0.0;
  for i:=1 to 2 do sd [i, 1] :=0 . 0;
  for i:=1 to n do begin
    a:=exp(-beta*(i-1)*dt) ;
    yl[i]:=alfa* (1.0-a) ;
    s:=s+sqr(yl[i]-xl[i]+xl[1]) ;
    if m>0 then begin
      sd[1,1]:=sd[1,1]+2.0*(yl[i]-xl[i]+xl[1])* (1.0-a) ;
      sd[2,1]:=sd[2,1]+2.0*(yl[i]-xl[i]+xl[1])*alfa*a*(i-1)*dt
    end
  end;
end;

procedure s2(var s:double;var sd:deri;m:integer);
var
  a,b:double;
begin
  s:=0.0;
  for i:=1 to 3 do sd[i,1]:=0.0;
  for i:=1 to n do begin
    a:=exp (-beta*(i-1)*dt) ;
    b:=exp(-delta*(i-1)*dt) ;
    y2 [i]:=alfa+gama*a-(alfa+gama)*b;
    s:=s+sqr(y2[i]-x2[i]+x2[1]);
    if m>0 then begin
      sd[1,1]:=sd[1,1]+2.0*(y2[i]-x2[i]+x2[1] )*(1.0-b) ;
      sd[2,1] :=sd[2,1]+2.0*(y2[i]-x2[i]+x2[1] )*( a-b) ;
      sd[3,1]:=sd[3,1]+2.0*(y2[i]-x2[i]+x2[1] )*(alfa+gama)*(i-1)*dt
    end
  end;
end;

procedure s3(var s:double;var sd:deri;m:integer) ;
var
  a:double;
jx:array [1..3] of double;
begin
  s:=0.0;

```

```

for i:=1 to n do begin
a:=exp(-beta*(i-1)*dt) ;
yl [i]:=alfa* (1.0-a) ;
eps[i]:=-yl[i]-xl[i]+xl[1];
jx[1]:=alfa*a*beta;
jx[2]:=-1.0;
we [i] :=cov[1,1]*sqr(jx[1]) +cov [2 , 2 ] *sqr ( jx [2] ) ;
rol [i] :=abs (eps [i] ) /sqrt ( we [i] ) ;
s : =s+sqr ( eps [i] ) /we [i] ;
if m>0 then begin
sd[1,i]:=1.0-a;
sd[2,i]:=alfa*a*(i-1)*dt
end
end;
end;

procedure s4(var s:double;var sd:deri;m:integer) ;
var
a,b:double;
jx:array [1..3] of double;
begin
s:=0.0;
for i:=1 to n do begin
a:=exp(-beta*(i-1)*dt) ;
b:=exp(-delta*(i-1)*dt) ;
y2 [i]:=alfa+gama*a-(alfa+gama)*b;
eps[i] :=y2[i]-x2[i]+x2[1] ;
jx[1]:=-gama*a*beta+(alfa+gama)*b*delta ;
jx[2] :=-1.0;
we [i] :=cov [1,1] *sqr (jx[1] ) +cov[3, 3] *sqr (jx[2]);
ro2 [i] :=abs(eps[i])/sqrt ( we [i] ) ;
s:=s+sqr ( eps [i] ) /we [i];
if m>0 then begin
sd[1,i]:=1.0-b;
sd[2,ij]:=a-b;
sd[3,i]:=(-gama*a+(alfa+gama)*b)*(i-1)*dt
end
end;
end;

procedure eli(m:integer);
var
btb,btbi,bteb,wa:array [1..3,1..3] of double;
c,f10,f20:double;
begin
{ restorecrtmode;}
for i:=1 to 3 do for j:=1 to 3 do
begin btb [i, j] :=0 . 0 ;btbi [i, j] :=0 . 0,-bteb [i, j] :=0 . 0 end;
for i:=1 to 3 do btbi [i, i] :=1 . 0;
for j:=1 to m do
for k:=j to m do begin
for i:=1 to n do btb [j,k]:=btb(j,k)+sd[j,i]*sd[k,i];
btb[k,j]:=btb[j,k]
end;
for j :=1 to m do
for k:=1 to m do
for i:=1 to n do bteb[j,k]:=bteb(j,k)+sd[j,i]*we [i]*sd[k,i];
for i:=1 to m do begin
c:=btb[i,i];
for j:=i to m do btb[i,j]:=btb[i,j]/c;
for j:=1 to m do btbi[i,j]:=btbi[i,j]/c;

```



```

for k:=1 to m do
if koi then begin
c:=btb [k,i];
for j:=i to m do btb[k,j]:=btb[k,j]-c*btb[i,j] ;
for j:=1 to m do btbi [k,j]:=btbi[k,j]-c*btbi[i,j]
end;
end;
for j:=1 to m do for k:=1 to m do btb [j,k]:=0.0;
for j:=1 to m do for k:=1 to m do
for i:=1 to m do btb [j,k]:=btb[j,k]+btbi[j,i]*bteb[i,k];
for j:=1 to m do for k:=1 to m do wa [j , k] :=0 . 0;
for j:=1 to m do for k:=1 to m do
for i:=1 to m do wa [j,k]:=wa [j,k]+btb[j,i]*btbi[i,k];
for j:=1 to m do for k:=1 to m do
begin bteb[j,k]:=0.0;if j=k then bteb[j,k]:=1.0 end;
for i:=1 to m do begin
c:=wa[i,i];
for j:=i to m do wa [ i / j ] :=wa [ i , j ] /c;
for j:=1 to m do bteb[i,j]:=bteb[i,j]/c;
for k:=1 to m do
if koi then begin
c:=wa[k, i] ;
for j:=i to m do wa [k,j]:=wa[k,j]-c*wa[i,j];
for j:=1 to m do bteb [k,j]:=bteb [k,j]-c*bteb [i,j]
end;
end;
writeln(wa[1,1],wa[1,2],wa[2,1],wa[2,2]);
samare:=bteb[1,1]+bteb[2,2];
samica:=bteb[1,1]*bteb[2,2]-bteb [1,2]*bteb[2, 1] ;
samica :=sqrt f sqr (samare) -4.0 ^4's arnica) ;
f10:=(samare-samica)/2.0;
f20:=(samare+samica)/2.0;
samare:=2.45/sqrt(f10) ;
samica:=2.45/sqrt(f20) ;
f20:=-bteb[2,1]/ (bteb [2,2]-f10) ;
ualfa:=57.297*arctan(f20) ;
writein(samare,samica,ualfa) ;
axel;
setcolor(12)
line(30+round(18*(alfa0-2*samare-85)),400-round(1000*(1000*beta0-1.3))
,30+round(18*(alfa0+2*samare-85)),400-round(1000*(1000*beta0-1.3)))
line(30+round(18*(alfa0-85)),400-round(1000*(1000*beta0-2000*samica-1.3))
,30+round(18*(alfa0-85)),400-round(1000*(1000*beta0+2000*samica-1.3))),
set color (15) ;
ellipse(30+round(18*(alfa0-85) )
,400-round(1000*(1000*beta0-1.3) ) , 0,360
,round (18*samare),round(1.e6*samica)) ;
outtextxy(300,450,'Pentru continuare apasati orice tasta!');
outtextxy (400,70,'Elipsa de (Encredere (95%) pentru vasul nr.1');
str(samare:6:2,xx) ;
str(1000*samica:6:3,yy);
str (ualfa:6:3,zz);
outtextxy(400,90,'Semi-axa mare: '+xx+' [mm]') ;
outtextxy (400,100,'1000xSemi-axa mica: '+yy+' [1/s]');
outtextxy(400,110,'Inclinarea axei mari: '+zz+'0 ');
car:=readkey;
res toreCRTmode;
setgraphmode(getgraphmode)
end;

function spl (alfa,beta:double):double;
var
suma:double;
i:integer;
begin

```

```

suma := 0 . 0;
for i:=1 to n do suma:=suma+sqr(x1[i]-alfa*(1.0-exp(beta*t0[i]))) ;
spl:=suma
end;

function sp2(alfa,beta,gama,delta:double):double;
var
  suma,co:double;
  i:integer;
begin
  co:=gama/(beta-gama);
  suma:=0.0;
  for i:=1 to n do
  suma:=suma+sqr (x2[i]-delta*(1.0-co*u[i]+(co-1.0) *exp(gama*t0 [i]) ) ) ;
  sp2:=suma
end;

begin
  assign (f,'expe.dat' ) ;
  reset (f) ;
  readin(f,n) ;
  for i:=1 to n do readin(f,t0[i],x1[i],x2[i]);
  close(f);
  for i:=2 to n do u[i]:=ln (1.0-(x1[i]-x1[1])/103.5) ;
  samare:=0.0;
  samica:=0.0;
  for i:=2 to n do begin
    samare:=samare+sqr(t0[i]) ;
    sarnica:=samica+t0[i]*u[i]
  end;
  samica:=samica/samare ;
  samare:=0.0;
  for i:=2 to n do samare:=samare+sqr(samica*t0[i]-u[i]);
  write(samica,samare);readin;
  assign(f,'cov.dat' ) ;
  reset(t) ;
  readin(f,nit);
  for i:=1 to 3 do for j:=1 to 3 do read(f,cov[i,j]);
  close(f) ;
  assign(g,'para.dat');
  reset(g) ;
  readin(g,alfa0,beta0);
  readin(g,alfa0,beta0,gama0,delta0) ;
  close(g) ;
  s0:=spl(alfa0,beta0) ;
  d1:= (s0-spl(1.001*alfa0,beta0))/ (0.001*alfa0) ;
  d2:= (s0-spl(alfa0,1.001*beta0))/(0.001*beta0) ;
  write(d1,d2) ;
  ( readin;
  exit;)
  detectgraph(gdriver,gmode) ;
  InitGraph(gdriver,gmode,"");
  dubluvas ;
  settxtjustify(1,1);
  outtextxy(500,50,'OPTIUNE ASUPRA METODEI');
  rectangle(400,60,600,105) ;
  k:=1;
  outtextxy(320,420,
  'Selectare:      tastele      cu      săgeti      '+#24+#25+';      Activare:      Enter.')
```

```

repeat
  for i:=1 to 2 do begin
    if i^k then setcolor(13) else setcolor(15);
    outtextxy(500,60+15*i,opt[i] ) ;
  end;
end;
```

```

car:=readkey;
if car=#0 then begin
car:=readkey;
if car=#80 then k:=k+1;
if car=#72 then k:=k-1;
if k<1 then k:=2;
if k>2 then k:=1;
end;
until car=#13;
opty:=k;
restorecrtmode ;
setgraphmode(getgraphmode) ;
setttextjustify(0, 1) ;
for i:=1 to 18 do outtextxy(30,40+15*i,sir[i]);
setcolor (13) ;
outtextxy(30,280,sir[16]+opt[opty]) ;
setcolor (15) ;
setttextjustify (1,1) ;
outtextxy(300,450,'Pentru continuare apasati orice tasta!');
car:=readkey;
restorecrtmode;
setgraphmode(getgraphmode) ;
setttextjustify (1,1) ;
assign(g,'para.dat');
reset(g);
readin(g,alfa0,beta0) ;
close(g) ;
randomize;
axe;
outtextxy(40,40,'ehl [mm]') ;
for i:=1 to n do begin
circle(30+round(0.7*t0[i]),400-round(5*(xl[i]-xl[1])),2) ;
setcolor (11);
circle(30+round(0.7*(t0[i]+15)),400-round(5*ycl[i]),2) ;
setcolor(15)
end;
x0:=30;y0:=400;
alfa:=alfa0;
beta:=beta0;
moveto(x0,y0) ;
case opty of 1: sl(s0,sd,0); 2: s3(s0,sd,0); end;
for i:=1 to n do begin
x0:=30+round(0.7*(i-1)*15) ;
y0:=400-round(5*yl[i]) ;
lineto(x0,y0) ;
end;
str(alfa0:8:3,xx);str(beta0:11:8,yy);str (s0:8:4,zz) ;
outtextxy(300,430,'A='+xx+' al='+yy+' S'+zz);
outtextxy(300,450,'Pentru continuare apasati orice tasta!');
car:=readkey;
setcolor(0) ;
for i:=1 to n do begin
circle(30+round(0.7*t0[i]),400-round(5*(xl[i]-xl[1])),2) ;
circle(30+round(0.7*(t0[i]+15)),400-round(5*ycl[i]),2)
end;
x0:=30;y0:=400;
alfa:=alfa0;
beta:=beta0;
moveto(x0,y0);
case opty of 1: sl (s0, sd, 0) ; 2: s3(s0,sd,0); end;
for i:=1 to n do begin
x0:=30+round(0.7*(i-1)*15) ;
y0:=400-round(5*yl[i]) ;

```

```

lineto(x0,y0);
end;
outtextxy(300,450,'Pentru continuare apasati orice tasta!');
setcolor(15);
k:=0;
repeat
x0:=30;y0:=400;
alfa:=alfa0+0.05*(1.0-2.0*random);
beta:=beta0+0.0001*(1.0-2.0*random);
moveto(x0,y0);
case opty of 1: sl(s,sd,0); 2: s3(s,sd,0); end;
  for i:=1 to n do begin
    x0:=30+round(0.7*(i-1)*15);
y0:=400-round(5*yl[i]);
lineto(x0,y0);
end;
  for i:=1 to n do
    circle(30+round(0.7*t0[i]),400-round(5*(xl[i]-xl [ 1])),2);
delay (100);
setcolor(0);
x0:=30;y0:=400;
moveto(x0,y0);
case opty of 1: sl(s,sd,0); 2: s3(s,sd,0); end;
  for i:=1 to n do begin
    x0:=30+round(0.7*(i-1)*15);
y0:=400-round(5*yl[i]);
lineto (x0,y0);
end;
setcolor(15);
if s0>s then begin alfa0:=alfa;beta0:=beta;s0:=s;k:=1 end else k:=k+1;
  if k=10*(k div 10) then begin
    if k>0 then
      begin setcolor(0);outtextxy(500,320,xx+yy);setcolor(15) end;
str(s:10:3,xx);str(k:5,yy);outtextxy(500,320,xx+yy)
end;
until k=nit;
x0:=30;y0:=400;
moveto(x0,y0);
alfa:=alfa0;beta:=beta0;
case opty of 1: sl(s,sd,0>); 2: s3(s,sd,0); end;
for i:=1 to n do begin
x0:=30+round(0.7*(i-1)*15);
y0:=400-round(5*yl[i]);
lineto(x0,y0);
end;
alf:=alfa0;bet:=beta0;
setcolor (0) ,-outtextxy (500, 320,xx+yy); setcolor (14);
sir (alfa0: 8: 3,xx); str (beta0 : 11: 8,yy); str (s0 : 8 : 4, zz);
outtextxy(300,440,'A='+xx+' al='+yy+' S='+zz);
setcolor(15);
case opty of 1: begin
str (s0/ (n-2):6:4,xx);
str(n-2:3,yy);
outtextxy(500,320,'sy='+xx);
outtextxy(500,335,'Grade de libertate: '+yy);
str(sqrt(s0/(n-2)):6:3,xx);
outtextxy(500,350,'Abatere medie patratica: '+xx);
end;
2: begin
str(s0/n:7:4,xx);
outtextxy(500,320,'Distanta normalizata medie:'+xx);

```

```

outtextxy(500,335,'Valoarea critica (95%): 2.45');
    end;
end;
outtextxy(300,450,'Pentru continuare apasati orice tasta!');
car:^readkey;
restorecrtmode;
setgraphmode(getgraphmode) ;
if opty=2 then begin s3(s,sd,1);eli (2) end;
setttextjustify(1,1) ;
assign(g,'para.dat');
reset(g) ;
readln(g,alfa0,beta0) ;
readln(g,alfa0,beta0,gama0,delta0) ;
beta0:=bet;
close(g) ;
axe;
outtextxy(40,40,'h2 [mm]');
for i:=1 to n do begin
    circle(30+round(0.1*t0[i]),400-round(5*(x2[i]-x2 [1])),2);
    setcolor (11) ;
    circle(30+round(0.7 *(t0[i]+15)),400-round(5*yc2[i] ) , 2) ;
    setcolor(15)
        end;
x0:=30;y0:=400;
alfa:=alfa0;beta:=beta0 ;
gama:=gama0;delta:=delta0;
moveto(x0,y0);
case opty of 1: s2(s0,sd,0); 2: s4(s0,sd,0); end;
for i:=1 to n do begin
    x0:-30+round(0.7*(i-1)*15) ;
    y0:-400-round(5*y2[i] ) ;
    lineto(x0,y0) ;
        end;
strfalfa0:8:3,xx);str(beta0:11:8,yy);
str(gama0:8:3,tt);str(delta0:11:8,uu);str(s0:8:4,zz);
outtextxy(320,430,'B='+xx+' al='+yy+' C='+tt+' a2='+uu+' S='+zz)
outtextxy (300,450,'Pentru continuare apasati orice tasta!');
car:=readkey;
setcolor (0);
for i:=1 to n do begin
    circle(30+round(0.7*10 [i]),400-round(5*(x2[i]-x2[1])),2);
    circle(30+round(0.7*(t0[i]+15)),400-round(5*yc2[i]),2)
        end;
x0:=30;y0:=400;
alfa:=alfa0;beta:=beta0;
gama:=gama0;delta:=delta0 ;
moveto (x0, y0) ;
case opty of 1: s2(s0,sd,0); 2: s4(s0,sd,0); end;
for i:=1 to n do begin
    x0:-30+round(0.7*(i-1)*15) ;
    y0:=400-round(5*y2[i]);
    lineto(x0,y0) ;
        end;
outtextxy(300,450,'Pentru continuare apasati orice tasta!');
setcolor(15);
k:=0;
repeat
    x0:=30;y0:=400;
    alfa:=alfa0+0.05*(1.0-2.0*random) ;
    beta:=beta0;
    gama:=gama0+0.05*(1.0-2.0*random) ;
    delta:=delta0+0.000005*(1.0-2.0*random) ;
    moveto(x0,y0) ;

```

```

case opty of 1: s2(s,sd,0); 2: s4(s,sd,0); end;
for i:=1 to n do begin
  x0:=30+round(0.7*(i-1)*15);
y0:=400-round(5*y2[i] );
lineto(x0,y0) ;
  end;
for i: =1 to n do
circle(30+round(0.7*t0[i]),400-round(5 *(x2[i]-x2[1])),2) ;
delay (20) ;
setcolor (0) ;
x0:=30;y0:=400;
moveto(xO,yO);
case opty of 1: s2(s,sd,0); 2: s4(s,sd,0); end;
  for i:=1 to n do begin
    x0:=30+round(0.7*(i-1)*15) ;
y0:=400-round(5*y2[i] ) ;
lineto (x0,y0) ;
end;
setcolor(15);
  if s0>s then begin
    alfa0:=alfa;beta0:=beta;
gamaO:=gama;delta 0:=delta;
s0:=s;k:=1
      end else k:=k+1;
  if k=10*(k div 10) then begin
    if k>0 then
      begin setcolor (0) ,-outtextxy (500, 320,xx+yy) ; setcolor (15) end;
str(s:10:3,xx);str(k:5,yy);outtextxy(500,320,xx+yy)
end;
  until k=nit;
for i:=1 to n do
  circle(30+round(0.7*t0[i]),400-round(5*(x2[i]-x2[1] ) ) ,2) ;
x0:=30;y0:=400;
alfa:=alta0;beta:=beta0;
gama:=gama0;delta:=delta0;
moveto(xO,yO);
case opty of 1: s2(s0,sd,0); 2: s4(s0,sd,0); end;
for i:=1 to n do begin
x0:=30+round(0.7*(i-1)*15) ;
y0:=400-round(5*y2[i] ) ;
lineto(x0,y0) ;
end;
setcolor(0);outtextxy(500,320,xx+yy);setcolor (14) ;
str(alfaO:8:3,xx);str (betaO:11:8,yy) ;
str(gamaO:8:3,tt);str(deltaO:11:8,uu);str(s0:8:4,zz);
outtextxy(320,440,'B='+xx+' al='+yy+' C='+tt+' a2='+uu+' S='+zz);
setcolor (15) ;
case opty of 1: begin
str (s0/ (n-3) : 6: 4,xx) ;
str(n-3:3,yy) ;
outtextxy(500,320,'sy='+xx) ;
outtextxy(500,335,'Grade de libertate: '+yy);
str(sqrt(s0/(n-3)):6:3,xx) ;
outtextxy(500,350,'Abatere medie patratice: '+xx);
end;
2: begin
str(sO/n:1:4,xx) ;
outtextxy(500,320,'Distanta normalizata medie:'+xx);
outtextxy (500,335,'Valoarea critict (95%): 2.45');
end;

```

```

end;
rewrite(g);
writeln(g,alf:10:3,' ',bet:12:8);
writeln(g,alfa0:10:3,' ',beta0:12:8,' ',gama0:10:3,' ',delta0:12:8);
close(g);
outtextxy(300,450,'Pentru continuare apasati orice tasta!');
car:=readkey;
closegraph;
assign (f,'est.dat');
rewrite(f);
case opty of 1: writelnff,' t   hi   hie   ehl   h2   h2c   eh2')
                2: writeln(f,' t           hi           hie           rol           h2           h2c           ro2')
end;
for i:=1 to n do
  case opty of 1:
    wnteln(f,t0[i] : 5 : 1,xl [i] : 8 : 1, yl [i]+xl[1] : 7 : 2 , yl [i]+xl [1]-xl [i] :6:2
            ,x2 [i] :8:1,y2 [i]+x2 [1] : 7 : 2 , y2 [i]+x2 [ 1]-x2 [i] :6:2);
    2:
      writeln(f,t0[i] :5:1,xl [i]:8:1,yl[i]+xl[1]:7:2,rol[i]:6:3
            ,x2[i]:8:1,y2[i]+x2[1]:7:2,ro2[i]:6:3);
      end;
    close(f)
  end.
program rec;
uses CRT,graph;
{ Fisierul EGAVGA.BGI trebuie sa fie prezent in directorul/folderul de lucru(
const
nf=32;
model:array [1..2] of string= ( ' y (t+1) =cl. y (t)+sl. u (t) ',
'y(t+1)=cl.y(t)+c2.y(t-1)+sl.u(t) ' );
para:array [1..2] of string= ( ' e '' = [cl aal ] ', ' e '' =[cl c2 sl ] ' );
fata:array [1..nf] of string=(
' PROGRAM PENTRU ESTIMAREA DE PARAMETRI',
'
          RECURSIVA',

' Programul prezent ilustreaza estimarea recursiva a parametrilor in doua',
'modele, unul de ordinul intai, altui de ordinul al doilea.',
' Datele experimentale din fisierul EXPE.DAT sunt recoltate efectiv de pe ',
'un sistem de doua vase cu scurgere libera, in cascada. Primui vas detasat',
'din context este (aproximativ) un sistem de ordinul unu, cu o intrare',
'(debitul de alimentare de la reseaua de apa curenta) si o iesire (nivelul',
'in vas). Ansamblul celor doua vase este (tot aproximativ) un sistem de',
'ordinul doi, de asemenea cu o intrare (aceeasi ca mai sus) si una sau doua',
'iesiri (nivelul in unul din vase sau ambele niveluri).',
'Sunt de estimat doi sau, respectiv trei parametri. Modelele discretizate',
'apar pe ecran la momentul potrivit. La fei vectorul parametrilor de esti-',
'mat e.',
'Relatia de recurenta este',
          e (t+1)=e (t)+K(t+1) .i(t+1) ',
' cu',
          K(t+1)=P(t) .z(t+1)/(a(t+1)+z' (t+1) .P(t) .z(t+1)) ',
'in care ',
          a(t+1)=a0.a(t)+(1-a0) ',
' si cu ',
          i (t+1)=y(t+1)-z" (t+1) .e(t) ',
'Matricea P se calculeaza recursiv cu relatia',
'P(t+1)=[P(t)-P(t) .z(t+1) . (a(t+1)+z' (t+1) .P(t) .z (t+1) ).z"(t+1).P(t)]/a(t+1)'
' In cazurile tratate',
          z (t+1)=[-y(t) u(t) ] ',
'respectiv',
          z (t+1)=[-y (t) -y(t-1) u(t)],
' Programul are in vedere o singura metoda, cea a celor mai mici patrate.',
',Pentru continuare apasati orice tasta!');
drl:array [1..4] of pointtype=((x:70;y:150),(x:180;y:150)

```

```

                                ,(x:180;y:210),(x:70;y:210)) ;
dr2 : array [1..4] of pointtype" ( (x: 460; y: 170) , (x: 570,-y: 170)
                                ,(x:570;y:230),(x:460;y:230)) ;
pur:fillpattern=( $FF,$FF,$FF,$FF,$FF,$FF,$FF,$FF,$FF) ;

var
  f:text;

gdriver,gmode,i,j,k,l,m,mx,my,n:integer;
t0:array [1..60] of double;
yl,yc,yest:array [1..60,1..2] of double;
a,psi,tetal,tetaO:array [1..5] of double;
b,pl,p0,pp:array [1..5,1..5] of double;
alfa,la,la0,y:double;
car:char;
xx:string;

function ing(a:real;nd:integer):string;
var
  xx,yy:string;
  i:integer;
begin
  str(10.0*a,xx) ;
  yy:"-";
  for i:=1 to nd+6 do yy:=yy+' ' ;
  yy[1]:=xx[1] ;
  yy[2]:='.';
  yy[3] :=xx[2];
  if nd>1 then for i:=2 to nd do yy[i+2]:=xx [i+2];
  yy[nd+3]:=xx[18] ;
  yy[nd+4]:=xx[19] ;
  yy[nd+5]:=xx[22];
  yy[nd+6]:-xx[23] ;
  ing:=' '+copy(yy,1/nd+6);
end;

procedure axe;
var
  xx:string;
begin
  for i:=0 to 1 do begin
    line(30,400+i,610,400+i) ;
line(30-i,50,30-1,400) ;
line(30-i,50,25-i,55) ;
line (30-i,50,35-i,55) ;
line(610,400+i,605,395+i);
line(610,400+i,605,405+i)
  end;
  for i:=0 to 8 do begin
line(30+70*i,400,30+70*i,397) ;
str(100*i:3,xx) ;
outtextxy(30+70*i,410,xx)
  end;
  outtextxy(615,410,['s']) ;
  for i:=0 to 3 do begin
line(30,400-100*i,33,400-100*i);
str(20*i:2,xx) ;
outtextxy (15,400-100*i,xx)
  end;
end;

procedure fatada;

```



```

begin
  settxtjustify(0,1) ;
  for i:=1 to nf-1 do outtxty(10,14*i,fata[i]);
  settxtjustify(1,1);
  setcolor (14) ;
  outtxty(320,14*nf,fata[nf]) ;
  setcolor(15)
end;

procedure recu(m:integer) ;
begin
  setfillpattern(pur,15) ;
  fillpoly(4,drl);
  fillpoly(4,dr2) ;
  settxtjustify(1,1) ;
  setcolor (0) ;
  line(75,150,75,210) ;
  line(465,170,465,230) ;
  line (75,180,175,180) ;
  line(465,200,565,200) ;
  case m of 2: outtxty(85,155,'d');
            3: outtxty(100,155,'cl,c2');
  end;
  outtxty(475,175,'sl') ;
  setcolor (15) ;
  axe;
  str (m-1: 1, xx) ;
  outtxty(40,40,'eh'+xx+' [mm]') ;
  outtxty(320,425,'MODEL: '+model[m-1]) ;
  outtxty(320,440,'VECTOROL PARAMETRILOR DE ESTIMAT: '+para[m-1]),
for i:=1 to n do
  circle(30+round(0.7*t0[i]),400-round(5*(yl[i,m-1]-yl[1,m-1])),2);
for i:=1 to 5 do total[i]:=0.0;
for i:=1 to 5 do
  for j:=1 to 5 do begin
    pi [i,j]:-0.0;if i=j then pl[i,j]:=1.0
    end;
  for i:=1 to m-1 do yest[i,m-1]:=0.0;
  la 0:=0.95;la:=0.95;
  settxtjustify (0,1) ;
  circle(60,80,2) ;
  outtxty(70,80, 'EXPERIMENTAL') ;
  setcolor(14);
  circle(60,95, 2) ;
  outtxty(70,95,'ESTIMAT PAS CU PAS ') ;
  outtxty(70,475,
  'Treceti de la un moment la urmatorul apasand o tasta oarecare!');
  setcolor(13);
  circle (60,110,2) ;
  outtxty(70,110,'CALCULAT CU MODELUL FINAL);
  setcolor(15) ;
  settxtjustify(1,1) ;
  outtxty(386+36*m,290,'MATRICEA P');
  line(390,300,390,310+10-m);
  line (390, 300, 3 93, 300) ;
  line(390,310+10*m,393,310+10*m) ;
  line(400+72*m,300,400+72*m,310+10*m);
  line(397+72*m,300,400+72*m,300);
  line(397+72*m,310+10*m,400+72*m,310+10*m) ;
  outtxty(336,55+5*m,'e =');
  outtxty(328,50+5*m,'');
  line(400-44,50,400-44,60+10*m);

```

```

line(400+54,50,400+54,60+10*m);
line(356,50,359,50) ;
line(356,60+10*m,359,60+10*m) ;
line(451,50,454,50);
line(451,60+10*m,454,60+10*m) ;
for k:=m to n do begin
  for i:=1 to m do for j:=1 to m do pO[i,j]:=pl[i,j] ;
for i:=1 to m do tetaO[i]:=tetal[i] ;
  for i:=1 to m do begin
    for j:=1 to m do outtextxy(350+72*i,300+10*j,ing(pO[i,j],3));
outtextxy(400,50+10*i,ing(tetaO[i],5)) ;
end;
  for i:=1 to m-1 do putpixel(75+2*(k-m),180-round(20*tetaO[i]),2*(i-1))
  putpixel(465+2*(k-m),200-round(300*tetaO[m]),0) ;
car:=readkey;
setcolor(0) ;
  for i:=1 to m do begin
    for j:=1 to m do outtextxy(350+72*i,300+10*j,ing(pO[i,j],3));
outtextxy(400,50+10*i,ing(tetaO[i],5));
end;
setcolor(15) ;
for i:=1 to m-1 do psi[i]:=-yl[k-i,m-1]+yl[l,m-1] ;
psi[m]:=30.0;
y:=yl[k,m-1]-yl[l,m-1] ;
for i:=1 to m do begin
  a[i]:=0.0;
  for j:=1 to m do a[i]:=a[i]+psi[i]*p0[j,i]
  end;
la:=la0*la+1.0-laO;
alfa:=la;
for i =1 to m do alfa:=alfa+a [i]*psi[i] ;
alfa:=1.0/alfa;
for i =1 to m do for j:=1 to m do pp[i,j]:=alfa*psi[i]*psi[j] ;
for i ^1 to m do for j :=1 to m do b[i,j]:=0.0;
for i =1 to m do for j:=1 to m do
  for l:=1 to m do b[i,j]:=b[i,j]+p0[i,l]*pp[l,j] ;
  for i =1 to m do for j :=1 to m do pp [i, j ] :=0.0;
for i =1 to m do for j:=1 to m do
  for l:=1 to m do pp [i, j ] :=pp [i, j ]+b [i, l] *p0 [l, j ] ;
  for i:=1 to m do for j:=1 to m do pi [i, j ] := (pO [i, j ]-pp [i, j ])/la;
yest[k,m-1]:=0.0;
for i:=1 to m do yest[k,m-1]:=yest[k,m-1]+psi[i]*tetaO[i];
setcolor(14) ;
circle(30+round(0.7*t0[k]),400-round(5*yest[k,m-1]),2);
setcolor(15) ;
for i:=1 to m do a[i]:=0.0;
for i:=1 to m do for l:=1 to m do a [i] :-a [i]+p0 [i, l] *psi [l] ;
for i:=1 to m do begin
  a[i]:=alfa*(y-yest[k,m-1])*a[i];
  tetal[i]:=tetaO[i]+a[i]
end;
end;
if m=2 then assign(f,'reel.dat') else assign(f,'rec2.dat');
rewrite(f) ;
for i:=1 to m-1 do yc[i,m-1]:=yl[i,m-1]-yl[l,m-1] ;
setcolor(13) ;
  for k:=m to n do begin
    yc[k,m-1]:=tetal[m]*30.0;
  for i:=1 to m-1 do
  yc[k,m-1]:=yc[k,m-1]-tetal[i]*yc [k-i,m-1] ;
  circle(30+round(0.7*t0[k]),400-round(5*yc[k,m-1]),2) ;
  wnteln(f,yl [k, m-1]-yl [ l, m-1] : 10 : 2 , yest [ k,m-1] : 12 : 3 , yc [k,m-1] : 12 :3)
end;
close(f) ;

```

```
    for i:=1 to m do begin
      for j:=1 to m do outtextxy(350+72*i,300+10*j,ing(pO[i,j],3));
outtextxy(400,50+10*i,ing(teta0 [i],5) );
      end;
car:=readkey;
clear viewport;
setcolor(15)
end;

begin
  assign (f,'expe.dat' ) ;
  reset (f) ;
  readin(f,n) ;
  for i:=1 to n do readin(f,tO[i],yl[i,1],yl[i,2]);
  close(f) ;
  detectgraph(gdriver,gmode) ;
  InitGraph(gdriver,gmode,") ;
  mx:=getmaxx;
  my:=getmaxy;
  fatada;
  car:=readkey;
  clear viewport;
  recu(2) ;
  recu(3) ;
  closegraph
end.
```

LUCRAREA 13

IDENTIFICARE DINAMICĂ PENTRU CONDUCEREA UNUI SISTEM DE REGLARE A PRESIUNII

1. OBIECTIVELE LUCRĂRII

- Aplicarea tehnicilor de identificare dinamică a proceselor în scopul proiectării unui regulator pentru conducerea unui sistem de reglare a presiunii.
- Elaborarea unui program software de achiziție de date și identificare pentru un sistem de reglare a presiunii.

2. BREVIAR TEORETIC

2.1. Descrierea SRA-P

Sistemul de reglare automată ce urmează a fi studiat este destinat reglării presiunii aerului într-un recipient și se află în laborator. Schema sistemului de reglare automată este prezentată în figura 13.1.

Traductorul de presiune PT sesizează continuu variația presiunii P_2 și transmite regulatorului PC un semnal electric proporțional cu valoarea curentă a acestuia. Regulatorul compară valoarea semnalului I_r cu valoarea I_i asociată prescrierii P_i și în cazul în care apare o abatere se emite o comandă I_c robinetului de reglare, după un algoritm de tip PI sau PID. Convertorul electro-pneumatic face posibilă compatibilitatea funcționării regulatorului PC – electronic - cu robinetul de reglare RR-pneumatic.

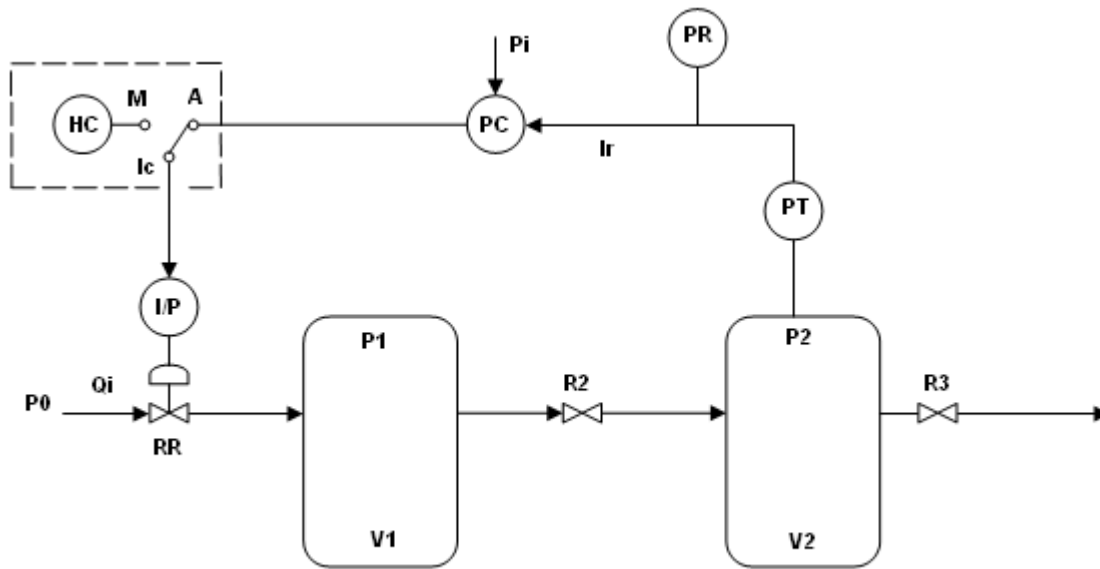


Fig. 13.1. Schema sistemului de reglare automată a presiunii.

Sistemul de reglare este dublat de un element de comandă manuală HC (conturul punctat). Comutatorul ce selectează cuplarea/decuplarea sistemului de reglare este amplasat pe elementul de comandă manuală HC.

2.2. Modelul matematic al procesului

În regim dinamic cele două vase sunt descrise de ecuațiile:

$$V_1 \cdot \frac{d\rho_1}{dt} = Q_{1i} - Q_{1e}; \quad (13.1)$$

$$V_2 \cdot \frac{d\rho_2}{dt} = Q_{2i} - Q_{2e} \equiv Q_{1e} - Q_{2e}. \quad (13.2)$$

Curgerea prin robinetele R_2 și R_3 fiind turbulentă, poate fi scrisă relația

$$Q_{1e} = K_V \cdot \sqrt{\rho_2 (P_1 - P_2)} \quad (13.3)$$

De asemenea, se cunoaște

$$\rho = \frac{M}{RT} \cdot P, \quad (13.4)$$

Înlocuind relațiile (13.3) și (13.4) în (13.2), rezultă:

$$\frac{V_1 M}{RT} \cdot \frac{dP_1}{dt} = Q_{li} - K_{V_2} \cdot \sqrt{\frac{M}{RT} \cdot P_1 (P_1 - P_2)}; \quad (13.5)$$

$$\frac{V_2 M}{RT} \cdot \frac{dP_2}{dt} = K_{V_2} \cdot \sqrt{\frac{M}{RT} \cdot P_1 (P_1 - P_2)} - Q_{2e}. \quad (13.6)$$

care, liniarizate în jurul punctului $(P_{10}; P_{20}; Q_{li0}; Q_{2e0})$, conduc la:

$$\begin{aligned} \frac{V_1 M}{RT} \Delta \dot{P}_1 + K_{V_2} \sqrt{\frac{M}{RT} \frac{2P_{10} - P_{20}}{2\sqrt{P_{10}^2 - P_{10}P_{20}}}} \Delta P_1 &= \Delta Q_{li} + K_{V_2} \sqrt{\frac{M}{RT} \frac{P_{10}}{2\sqrt{P_{10}^2 - P_{10}P_{20}}}} \Delta P_2 \\ \frac{V_2 M}{RT} \Delta \dot{P}_2 + K_{V_2} \sqrt{\frac{M}{RT} \frac{P_{10}}{2\sqrt{P_{10}^2 - P_{10}P_{20}}}} \Delta P_2 &= K_{V_2} \sqrt{\frac{M}{RT} \frac{2P_{10} - P_{20}}{2\sqrt{P_{10}^2 - P_{10}P_{20}}}} \Delta P_1 - \Delta Q_{2e}; \end{aligned} \quad (13.7)$$

respectiv:

$$\begin{aligned} a_1 \Delta \dot{P}_1 + \Delta P_1 &= b_{11} \Delta Q_{li} + b_{12} \Delta P_2 \\ a_2 \Delta \dot{P}_2 + \Delta P_2 &= b_{21} \Delta P_1 + b_{22} \Delta Q_{2e} \end{aligned} \quad (13.8)$$

unde:

$$\begin{aligned} a_1 &= \frac{V_1 M}{RT} \sqrt{\frac{RT}{M} \frac{2\sqrt{P_{10}^2 - P_{10}P_{20}}}{K_{V_2} (2P_{10} - P_{20})}} \\ a_2 &= \frac{V_2 M}{RT} \sqrt{\frac{RT}{M} \frac{2\sqrt{P_{10}^2 - P_{10}P_{20}}}{K_{V_2} P_{10}}} \\ b_{11} &= \sqrt{\frac{RT}{M} \frac{2\sqrt{P_{10}^2 - P_{10}P_{20}}}{K_{V_2} (2P_{10} - P_{20})}} \\ b_{22} &= \sqrt{\frac{M}{RT} \frac{2\sqrt{P_{10}^2 - P_{10}P_{20}}}{K_{V_2} P_{10}}} \\ b_{12} &= \frac{P_{10}}{2P_{10} - P_{20}}; \\ b_{21} &= \frac{2P_{10} - P_{20}}{P_{10}}; \end{aligned} \quad (13.9)$$

Valori practice pentru constantele de timp și coeficienții de amplificare asociate instalației din laborator sunt considerate a fi următoarele:

$$V_1 = V_2 = V = \frac{\pi D^2}{4} \cdot H = \frac{\pi \cdot 0,3^2}{4} \cdot 0,5 = 0,035 \text{ m}^3;$$

$$P_1 = 2 \text{ bar} = 2 \times 10^5 \text{ N/m}^2; P_2 = 1 \text{ bar} = 10^5 \text{ N/m}^2;$$

$$\rho_1 = \frac{M}{RT} P_1 = \frac{29 \times 2 \times 10^5}{8315 \times 293} = 2,38 \text{ Kg/m}^3;$$

$$Q = \frac{\pi d^2}{4} \times \rho_1 = \frac{\pi \times 0,006^2}{4} \times 15 \times 2,38 = 0,001 \text{ Kg/s};$$

$$K_{V_2} = \frac{Q}{\sqrt{\rho_1(P_1 - P_2)}} = \frac{0,001}{\sqrt{2,38(2-1) \times 10^5}} = 2 \times 10^{-6} \text{ m}^2;$$

$$a_1 = \frac{0,035 \times 29}{8315 \times 293} \sqrt{\frac{8315 \times 293}{29}} \times \frac{2\sqrt{2 \times 10^5(2-1) \times 10^5}}{2 \times 10^6 \cdot (4 \times 10^5 - 10^5)} \approx 60 \text{ s};$$

$$a_2 = \frac{0,035 \times 29}{8315 \times 293} \sqrt{\frac{8315 \times 293}{29}} \times \frac{2\sqrt{2 \times 10^5(2-1) \times 10^5}}{2 \times 10^6 \cdot 2 \times 10^5} \approx 85 \text{ s};$$

$$b_{11} = \sqrt{\frac{8315 \times 293}{29}} \frac{2\sqrt{2 \times 10^5(2-1) \times 10^5}}{2 \times 10^6 \cdot (4-1) \cdot 10^5} = 1,36 \times 10^8 \frac{1}{\text{ms}};$$

$$b_{12} = \frac{P_{10}}{2P_{10} - P_{20}} = \frac{2}{2 \times 2 - 1} = 0,67;$$

$$b_{21} = \frac{2P_{10} - P_{20}P_{10}}{P_{10}} = \frac{2 \times 2 - 1}{2} = 1,5;$$

$$b_{22} = \sqrt{\frac{8315 \times 293}{29}} \frac{2\sqrt{2 \times 10^5(2-1) \times 10^5}}{2 \times 10^6 \cdot 2 \times 10^5} = 2,05 \times 10^8 \frac{1}{\text{ms}}.$$

Este evident că valorile constantelor $a_1, a_2, b_{11}, b_{12}, b_{21}, b_{22}$ pot fi modificate, printre altele, cu ajutorul robinetului R_2 .

Având în vedere că cele două vase sunt în interacțiune, fapt evidențiat și de modelul matematic, schema bloc a procesului, figura 13.2, conține un element cu reacție.

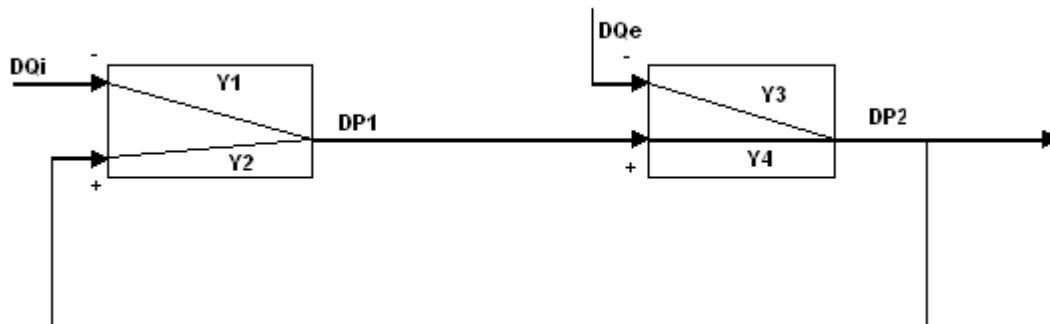


Fig. 13.2. Schema bloc a procesului de acumulare a gazului în cele două vase cu interacțiune

Sistemul de ecuații diferențiale care reprezintă modelul și schema bloc din figura 13.2 permit evidențierea următoarelor funcții de transfer:

$$\begin{aligned}
 Y_1(s) &= \frac{\Delta P_1(s)}{\Delta Q_1(s)} = \frac{b_{11}}{a_1s+1}, \\
 Y_2(s) &= \frac{\Delta P_1(s)}{\Delta P_2(s)} = \frac{b_{12}}{a_1s+1}, \\
 Y_3(s) &= \frac{\Delta P_2(s)}{\Delta Q_e(s)} = -\frac{b_{22}}{a_2s+1}, \\
 Y_4(s) &= \frac{\Delta P_2(s)}{\Delta P_1(1)} = \frac{b_{21}}{a_2s+1}.
 \end{aligned} \tag{13.10}$$

În ansamblu, procesul reprezintă un sistem caracterizat prin funcții de transfer ce fac legătura între mărimea de execuție, mărimea perturbatoare și mărimea de ieșire.

Pentru procesul de acumulare a gazului din cadrul SRA-P schema bloc este adusă la forma din figura 13.3. Aplicând algebra funcțiilor de transfer pentru sisteme cu reacție se poate scrie:

$$\Delta P_2(s) = Y_1 Y_4 \cdot \Delta Q_1(s) + Y_2 Y_4 \cdot \Delta P_2(s) - Y_3 \cdot \Delta Q_e(s) \tag{13.11}$$

ceea ce conduce la

$$\Delta P_2(s) = \frac{Y_1 Y_4}{1 - Y_2 Y_4} \Delta Q_1(s) - \frac{Y_3}{1 - Y_2 Y_4} \Delta Q_e(s) \tag{13.12}$$

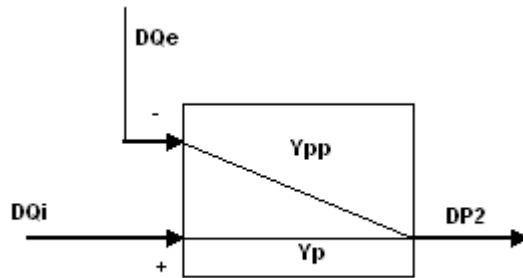


Fig. 13.3. Schema bloc simplificată a procesului

Din relația de mai sus se deduc funcțiile de transfer asociate procesului, de forma:

$$Y_p(s) = \frac{\Delta P_2(s)}{\Delta Q_1(s)} = \frac{Y_1 Y_4}{1 - Y_2 Y_4}$$

$$Y_{pp}(s) = \frac{\Delta P_2(s)}{\Delta Q_e(s)} = -\frac{Y_3}{1 - Y_2 Y_4} \quad (13.13)$$

2.3. Identificarea dinamică în contextul proiectării unui sistem de reglare

Identificarea este operația de determinare a caracteristicilor dinamice ale procesului (sistemului), a cărei cunoaștere este necesară pentru proiectarea și implementarea unui sistem performant de reglare.

Figura 13.4 rezumă principiile generale de proiectare și calcul ale unui regulator.

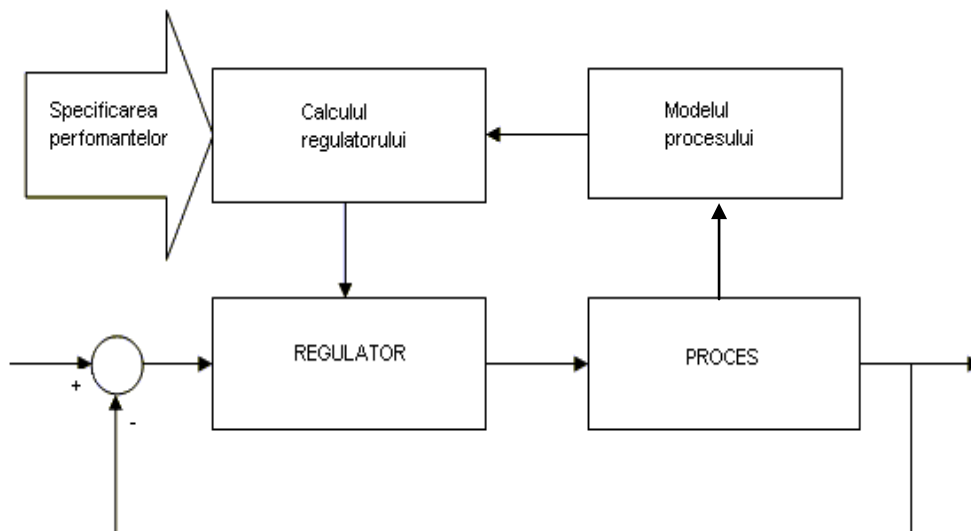


Fig. 13.4. Principiul proiectării și calculului unui regulator.

Pentru a proiecta corect un regulator sunt necesare:

- specificarea performanțelor dorite pentru bucla de comandă/reglare;

- cunoașterea modelului dinamic al procesului (numit model de comandă) ce descrie relația între variațiile comenzii și variațiile ieșirii;
- disponibilitatea unei metode adecvate de calcul al regulatorului compatibil cu performanțele specificate și caracteristicile modelului procesului.

Noțiunea de *model matematic* al unui sistem sau fenomen este un concept fundamental. În general, există diferite tipuri de modele, fiecare model fiind destinat unei aplicații specifice.

De exemplu, modelele de cunoaștere (bazate pe legile fizice, chimice, etc.) permit o descriere destul de completă a sistemelor și sunt utilizate pentru simularea și modelarea proceselor. Aceste modele sunt, în general, extrem de complexe și rareori direct utilizabile în automatică. Modelele dinamice de comandă, ce dau relația între variațiile intrărilor unui sistem și variațiile ieșirii, sunt tipuri de modele necesare pentru proiectarea și ajustarea sistemelor de comandă/reglare. Deși indicații asupra structurii acestor modele de comandă se pot obține pornind de la structura modelului de cunoaștere, în general, este foarte dificil să se determine valorile parametrilor semnificativi pornind de la aceste modele.

De aceea, în marea majoritate a situațiilor practice, este pusă în aplicare o metodologie de identificare directă a acestor metode dinamice (de comandă). De notat că modelele de comandă sunt de două tipuri:

- modele neparametrice (răspuns în frecvență, răspuns la treaptă).
- modele parametrice (funcție de transfer, ecuație diferențială sau cu diferențe).

Metoda de identificare clasică utilizată pentru obținerea modelelor parametrice pornind de la modele neparametrice de tip “răspuns la treaptă” este prezentată în figura 13.5.

Această metodă a fost utilizată inițial pentru a obține modele parametrice continue, apoi a fost extinsă pentru identificarea modelelor discrete. Pornind de la forma răspunsului procesului la

treaptă, se alege un tip de model și se determină grafic parametrii modelului. Cunoscând frecvența de eșantionare, se poate obține cu ajutorul tabelor modelul discret corespunzător.

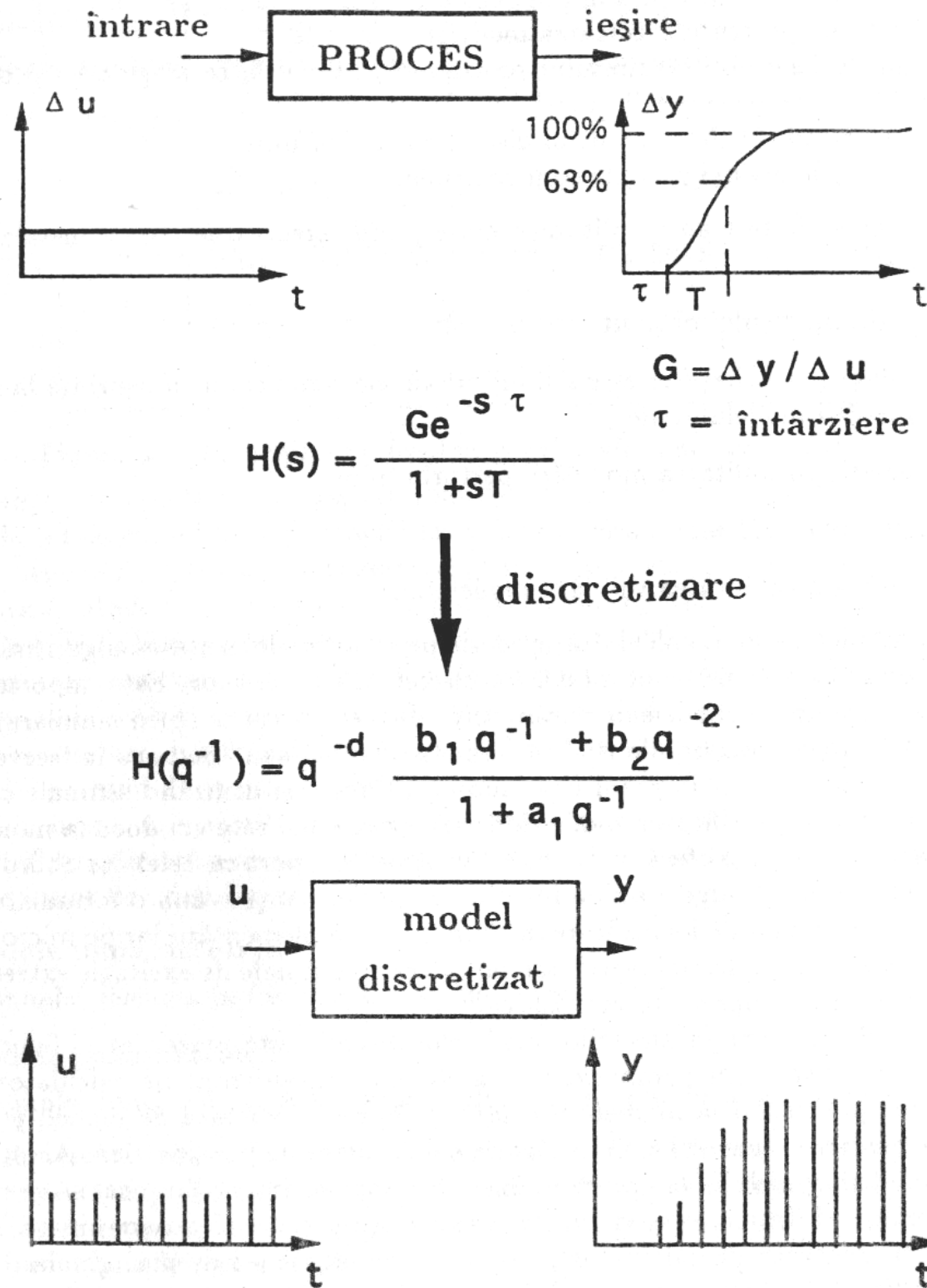


Fig. 13.5. Metoda clasică de identificare.

Principiul estimării parametrilor modelelor discrete este prezentat în figura 13.6.

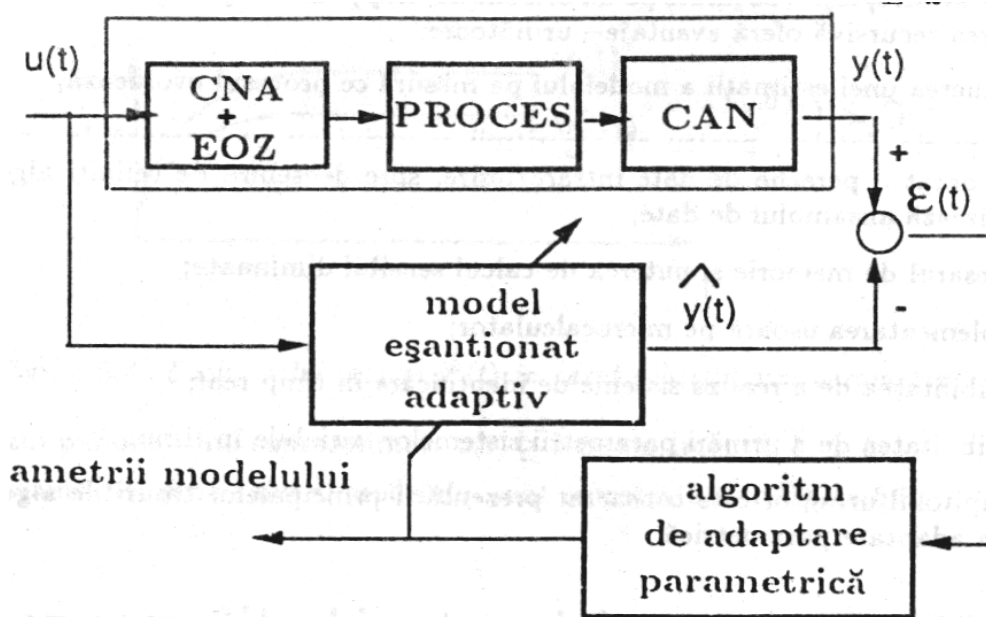


Fig. 13.6. Principiul estimării parametrilor unui model

Un model discret cu parametri ajustabili este implementat pe calculator. Eroarea între ieșirea procesului la momentul t , $y(t)$, și ieșirea predictată de model, $\hat{y}(t)$, numită *eroare de predicție*, este utilizată de algoritmul de așteptare parametrică. Acesta va modifica parametrii modelului la fiecare moment de eșantionare, astfel încât să se minimizeze această eroare. Intrarea este, în general, o secvență pseudo – aleatoare binară de un nivel foarte slab, generată de calculator (succesiune de impulsuri dreptunghiulare cu durată aleator variabilă). Odată modelul obținut, o validare obiectivă poate fi făcută prin teste statistice asupra erorii de predicție $\epsilon(t)$ și ieșirii predictate $\hat{y}(t)$. Testul de validare permite pentru un proces dat să se aleagă cel mai bun model, respectiv cea mai bună structură și cel mai bun algoritm pentru estimarea parametrilor.

Calculând și reprezentând grafic răspunsul la o treaptă și răspunsul în frecvență al modelului identificat, se poate determina modelul continuu (răspuns la o treaptă sau răspuns în frecvență).

3. MODUL DE LUCRU

- Echipamentul de conducere este compus din calculator și interfață AX5411.
- Se utilizează interfața AX5411 multifuncțională, cu următoarele caracteristici:

Subsistemul intrărilor analogice

Număr de intrări	16 simple (AI0 – AI15)
Rezoluție	12 bit
Frecvența de achiziție	60 kHz max.
Timpu de conversie	A/D 15 μ s max
Timpu de achiziție	5 μ s max/canal
Domenii de intrare	± 10 V, ± 5 V, $\pm 2,5$ V, ± 1.25 V $\pm 0,625$ V, $\pm 0,3125$ V selectabile software
Impedanța de ieșire	> 10 M Ω , 50 pF
Neliniaritate	± 1 LSB
Eroare inerentă	± 1 LSB

Subsistemul ieșirilor analogice

Număr de ieșiri	2 (DA0, DA1)
Rezoluție	12 bit
Frecvența	33 kHz max.
Domenii de ieșire	0-5V, 0-10V selectabile hard
Curent de ieșire	5 mA max

Subsistemul ieșirilor/intrărilor numerice

Intrări numerice	24 (disponibile 8 DI0-DI7)
Ieșiri numerice	24 (disponibile 8 DO0-DO7)
Nivele intrare/iesire	compatibile TTL
Conector intrare/ieșire	50 pini

Caracteristici de interfață

Magistrala	compatibilă IBM PC AT
Biți adresă utilizați	A9- A0
Adresă de bază (port)	300 hexa
Locații necesare	16 (octeți)
Nivele de întrerupere	2,3,4,5,6,7 (controlabile soft)
Sursa de întreruperi	FINISH bit conversie A/D
Opțiuni DMA	DMA1 sau DMA3 selectabile hard

În figura 13.7 este prezentată asignarea pinilor în conectorul interfeței AX5411. Adresa portului de bază pentru interfață este 0x300. Față de aceasta, interfața utilizează 16 adrese consecutive care constituie spațiul de I/O (R=read, W=write) conform figurii 13.8.

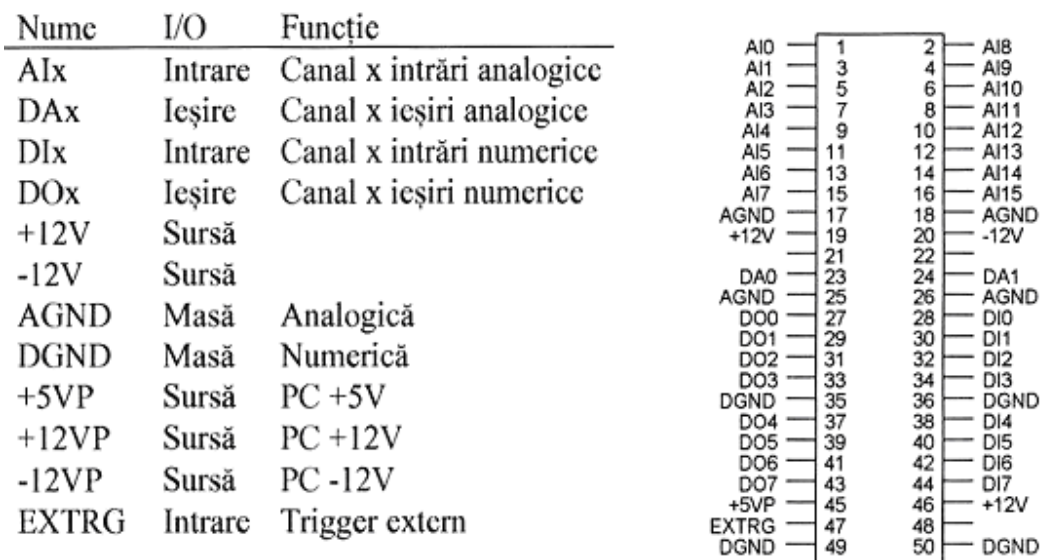


Fig. 13.7. Asignarea pinilor conectorului interfeței AX5411

Locație	Funcție	Tip
Adr. baza	A/D Low byte	R – stop conversie
+ 0	Start A/D	W – citește partea cea mai puțin semnificativă
+ 1	A/S High byte	R – 8 biți cei mai semnificativi citați în cuante
	Gain Control	W – depind de temp. pe care îl folosesc
+ 2	Mux. scan control	R/W – canalul fixat
+ 3	Digital In	R – intrări
	Digital Out	W – valoarea de la ieșire
+ 4	D/A 0 Output Low byte	W – real în cuante a
+ 5	D/A Output High byte	W – sens pe care o generează
+ 6	D/A 1 Output Low byte	W
+ 7	D/A 1 Output High byte	W
+ 8	AX5411 Status	R
	Clear interrup	W
+ 9	AX5411 Control	R/W
+ 10	Digital Input Low byte	R
	Digital Output High byte	W
+ 11	Digital Input High byte	R
	Digital Output High byte	W
+ 12	8253 Counter 0	R/W
+ 13	8253 Counter 1	R/W
+ 14	8253 Counter 2	R/W
+ 15	8253 Counter Control	W

Fig.13.8. Spațiul I/O al interfeței AX5411

- Se studiază aplicația de achiziție și identificare a parametrilor modelului matematic, care este formată din trei secțiuni principale, descrise în continuare.

Programul de achiziție permite generarea unor tensiuni către robinet și achiziționarea informației primite de la traductorul de presiune (fig.13.9).

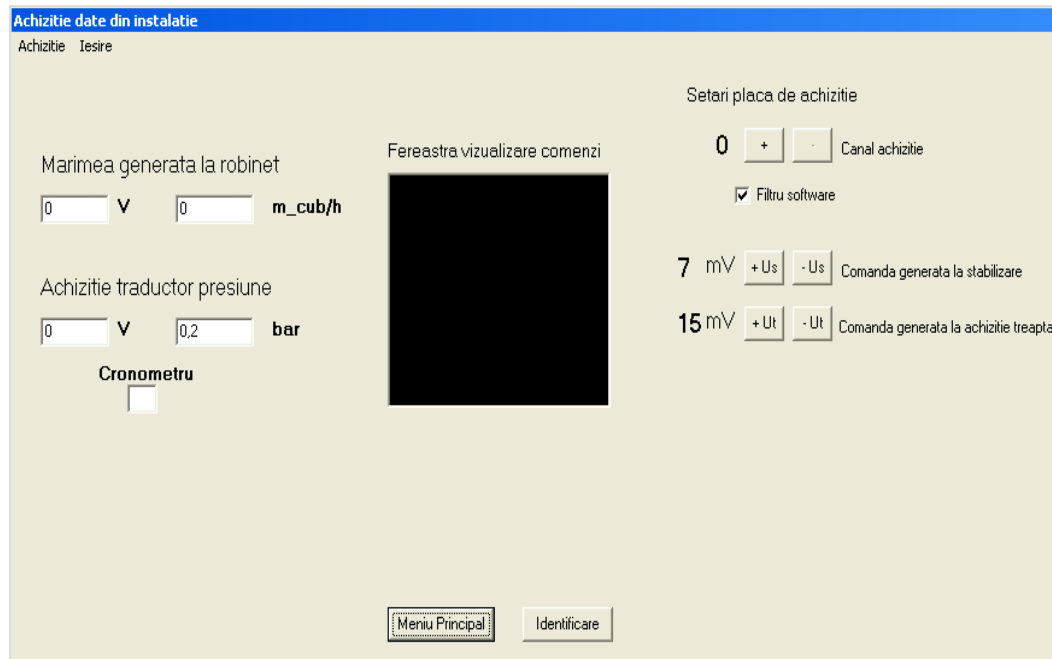


Fig. 13.9. Partea de achiziție a aplicației

Programul permite vizualizarea continuă a parametrilor instalației și a comenzii date către robinet prin indicatoarele aflate pe formă (fig.13.10).

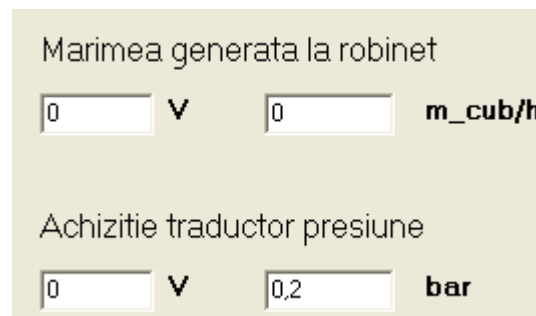


Fig. 13.10. Fereastra vizualizare date din proces

În modul de bază se face achiziția de pe canalul 0, comanda de stabilizare este de 7 mA, comanda pentru treapta aplicată procesului este de 15 mA și filtrul software este activ. Acești parametri pot fi schimbați utilizând butoanele din partea stângă a ferestrei, prezentate în figura 13.11.

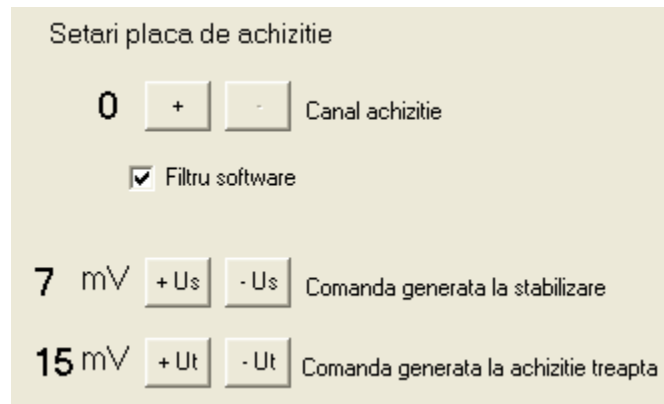


Fig. 13.11. Setări placa de achiziție

Fiecare modificare este adusă la cunoștința utilizatorului prin intermediul ferestrei de vizualizare comenzi. În cazul când fereastra este plină, pentru a evita pierderea unei informații, se realizează întâi o ștergere a comenzilor anterioare și apoi se afișează ultima comandă executată de către utilizator.

În figura 13.12 sunt prezentate unele comenzi executate urmând procedura descrisă anterior.

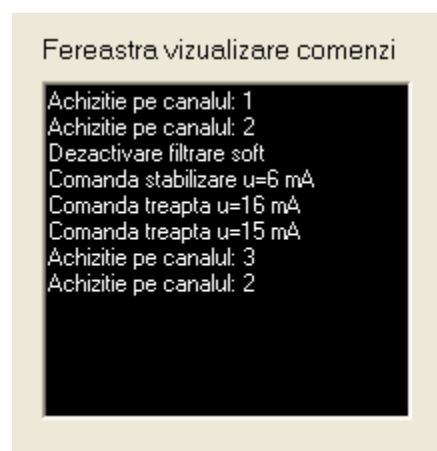


Fig.13.12. Fereastră vizualizare comenzi

Tabelul din figură va prelua datele achiziționate din proces după apăsarea butonului „Incărcare date”. Un exemplu, utilizat la aplicarea procedurii de identificare pentru estimarea parametrilor modelului, este prezentat în figura 13.15. Butonul de identificare rămâne inactiv până când sunt preluate datele din fișierul text realizat în partea de achiziție.

Timp	Presiune	Comanda	Timp	Presiune	Comanda
0	1.689	7.20	375	2.259	13.6
15	1.693	13.6	390	2.274	13.6
30	1.761	13.6	405	2.293	13.6
45	1.788	13.6	420	2.312	13.6
60	1.811	13.6	435	2.331	13.6
75	1.838	13.6	450	2.350	13.6
90	1.861	13.6	465	2.366	13.6
105	1.884	13.6	480	2.385	13.6
120	1.907	13.6	495	2.404	13.6
135	1.930	13.6	510	2.419	13.6
150	1.953	13.6	525	2.438	13.6
165	1.972	13.6	540	2.457	13.6
180	1.995	13.6	555	2.477	13.6
195	2.018	13.6	570	2.496	13.6
210	2.037	13.6	585	2.515	13.6
225	2.060	13.6	600	2.534	13.6
240	2.079	13.6	615	2.553	13.6
255	2.102	13.6	630	2.572	13.6
270	2.121	13.6	645	2.591	13.6
285	2.140	13.6	660	2.610	13.6
300	2.159	13.6	675	2.630	13.6
315	2.178	13.6	690	2.649	13.6
330	2.201	13.6	705	2.664	13.6
345	2.220	13.6	720	2.683	13.6
360	2.239	13.6	735	2.698	13.6

Fig.13.15. Tabelul cu datele achiziționate

În urma derulării procedurii de identificare, pe ecran apare un indicator de tip ProgressBar care arată procentul realizat din identificare (fig.13.16), fereastra care prezintă modelul matematic actualizat în urma identificării (fig. 13.17) și o așa-numită fereastră de utilizator, care specifică separat valoarea parametrilor estimați în urma aplicării procedurii de identificare (fig.13.18).

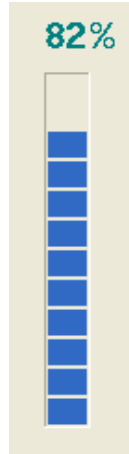


Fig. 13.16. Indicator proces identificare

Model matematic

$$y(t) + \boxed{-1.0259} y(t-1) + \boxed{0.0433} y(t-2) = \boxed{0.0099} u(t-1) + \boxed{} u(t-2)$$

Fig. 13.17. Fereastra model matematic

Model matematic teoretic:

$$y(t) + a_1 y(t-1) + a_2 y(t-2) = b_1 u(t-1) + b_2 u(t-2)$$

Parametrul a1= -1.025
 Parametrul a2= 0.043
 Parametrul b1= 0.009

Fig. 13.18. Fereastra informare utilizator

După încheierea procedurii de identificare se poate trece la ultima parte a aplicației: reglarea predictivă a sistemului, acționând butonul „Reglare”.